

Archeo-rapport 135

Het archeologisch onderzoek aan het Molenveld te Elewijt



Maarten Smeets & Gerben Bervoets (red.)

Kessel-Lo, 2012
Studiebureau Archeologie bvba

Archeo-rapport 135

Het archeologisch onderzoek aan het Molenveld te Elewijt

Maarten Smeets & Gerben Bervoets (red.)

**Kessel-Lo, 2012
Studiebureau Archeologie bvba**



Colofon

Archeo-rapport 135 Het archeologisch onderzoek aan het Molenveld te Elewijt

Opdrachtgever:	Gemeente Zemst
Projectleiding:	Maarten Smeets
Leidinggevend archeoloog:	Gerben Bervoets
Redactie:	Maarten Smeets Gerben Bervoets
Foto's en tekeningen:	Studiebureau Archeologie bvba (behalve figuren 1 t.e.m. 13 en 41-42)

Op alle teksten, foto's en tekeningen geldt een auteursrecht. Zonder voorafgaandelijke schriftelijke toestemming van Studiebureau Archeologie bvba mag niets uit deze uitgave worden vermenigvuldigd, bewerkt en/of openbaar gemaakt, hetzij door middel van webpublicatie, druk, fotokopie, microfilm of op welke andere wijze ook.

D/2012/12.825/48

Studiebureau Archeologie bvba
Jozef Wautersstraat 6
3010 Kessel-Lo
www.studiebureau-archeologie.be
info@studiebureau-archeologie.be
tel: 0474/58.77.85
fax: 016/77.05.41

©2012, Studiebureau Archeologie bvba

Inhoudstafel

Inhoudstafel	p. 1
Hoofdstuk 1 Inleiding <i>Marjolijn De Puydt & Maarten Smeets</i>	p. 3
Hoofdstuk 2 Bodemkundige aspecten <i>Ludo Fockede</i>	p. 7
2.1 Fysiografie	p. 7
2.1.1 Lokale topografie en hydrografie	p. 7
2.1.2 Algemene geologische opbouw	p. 8
2.1.2.1 Tertiair geologische opbouw	p. 8
2.1.2.2 Quartair geologische opbouw	p. 10
2.2 Bodemeenheden rond de site en hun eigenschappen	p. 10
2.3 Bodemgenese en terreinwaarnemingen	p. 12
2.3.1 Bodemgenese	p. 12
2.3.2 Terreinwaarnemingen	p. 13
Hoofdstuk 3 Werkmethode <i>Maarten Smeets & Marjolijn De Puydt</i>	p. 17
Hoofdstuk 4 Beschrijving van de sporen <i>Gerben Bervoets & Maarten Smeets</i>	p. 19
4.1 Uiterlijke kenmerken, gaafheid en conservering van de grondsporen	p. 19
4.2 Hoofdgebouwen en grote bijgebouwen	p. 20
4.2.1 Structuur 1	p. 20
4.2.2 Structuur 2	p. 22
4.2.3 Structuur 3	p. 22
4.2.4 Structuur 4	p. 23
4.2.5 Structuur 5	p. 24
4.2.6 Structuur 6	p. 25
4.3 Vier- en zespalige structuren	p. 26
4.4 Waterput en overige kuilen	p. 28
4.5 Kuilen	p. 29
4.6 Greppels	p. 30
4.7 Interpretatie	p. 31
Hoofdstuk 5 De vondsten <i>Marjolijn De Puydt, Yvonne de Rue & Maarten Smeets</i>	p. 37
5.1 Ceramiek	p. 37
5.1.1 Technische kenmerken	p. 37
5.1.2 Typologische aspecten	p. 38
5.1.3 Datering van het aardewerk	p. 45
5.1.4 Een archeologisch volledige pot uit de bronstijd	p. 46
5.2 Natuursteen	p. 50
5.3 Metaal	p. 52

5.4 Bouwmateriaal	p. 52
Hoofdstuk 6 Besluit <i>Maarten Smeets & Gerben Bervoets</i>	p. 54
Bibliografie	p. 56
Bijlagen	p. 59
Bijlage 1: Sporeninventaris	p. 61
Bijlage 2: Vondsteninventaris	p. 89
Bijlage 3: Fotoinventaris	p. 93
Bijlage 4: Coupetekeningen	p. 107
Bijlage 5: Profielbeschrijving	p. 125
Bijlage 6: Resultaten ¹⁴ C-datering	p. 131
Bijlage 7: Opgravingsplan	p. 133

Hoofdstuk 1 Inleiding

Marjolijn De Puydt & Maarten Smeets

Naar aanleiding van de uitbreiding van school 'De Regenboog' te Elewijt (Zemst) legde Onroerend Erfgoed een archeologisch vooronderzoek op. Dit vooronderzoek werd uitgevoerd door All-Archeo bvba¹. De resultaten van dit onderzoek leidden er toe dat er diende overgegaan te worden tot een vlakdekkende opgraving. Het archeologisch onderzoek werd toevertrouwd aan Studiebureau Archeologie bvba en werd uitgevoerd van 21 mei tot en met 25 juni 2012.

Het projectgebied beslaat ca. 0,9 ha en is omsloten ten noorden door de school 'De Regenboog' en door de Molenbeekvoetweg, ten oosten door de Molenbeekvoetweg, ten zuiden door een landweg en ten westen door grasland (fig. 1).



Fig. 1: Luchtfoto met situering van het plangebied.

Op de Centrale Archeologische Inventaris (CAI) bevinden zich verscheidene vindplaatsen in de omgeving van het projectgebied (fig. 2).

In de buurt van het opgravingsterrein is er 1 prehistorische vondst gedaan, namelijk een kleine bronzen nierdolk uit de midden Bronstijd (CAI 717). Verder is er door luchtfotografie ook nog een vermoedelijke grafheuvel ontdekt aan het Hofveld (CAI 959).

Een groot deel van de vindplaatsen in de omgeving van het projectgebied houden verband met de Romeinse *vicus* die zich ten noorden van de opgraving bevond (CAI 328, CAI 329, CAI 4768, CAI 150601, CAI 150883, CAI 158746). Deze *vicus* was in oorsprong een marskamp (tussen de Waversebaan en de Tervuursesteenweg) dat uitgroeide tot een nederzetting van enige omvang, onder andere omwille van zijn gunstige ligging aan een belangrijk wegenknooppunt.

¹ Reyns & Van Celst 2012.

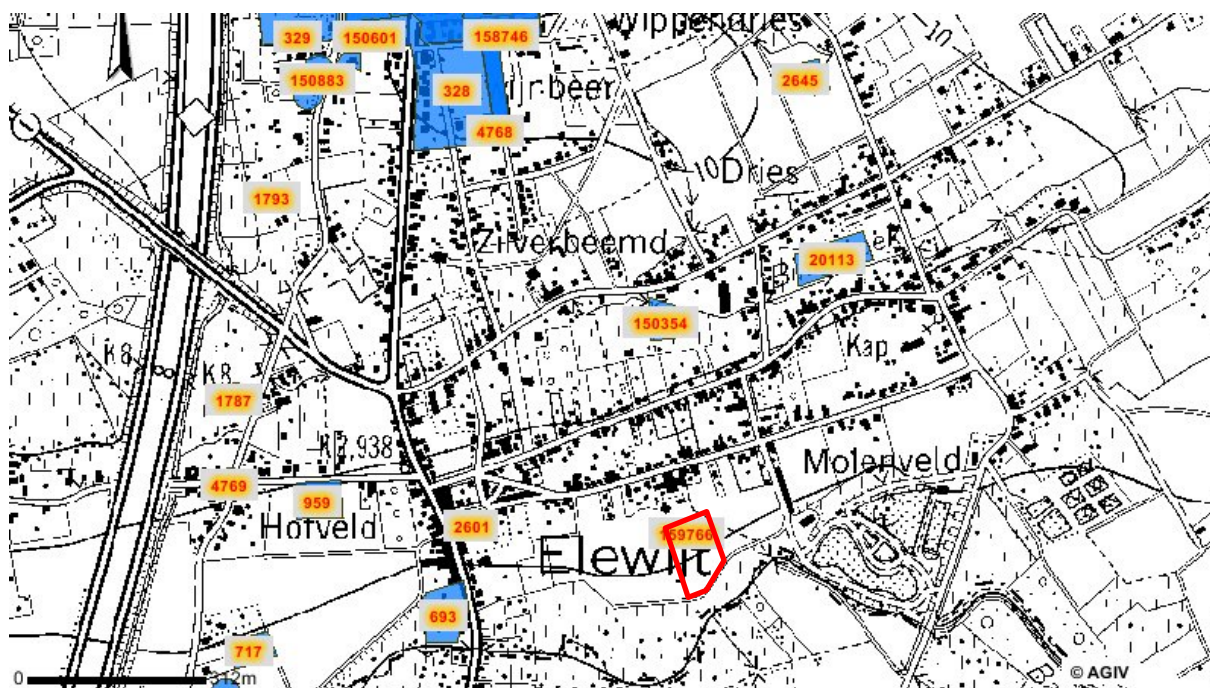


Fig. 2: Uittreksel uit de CAI met situering van het projectgebied.



Fig. 3: Uittreksel uit de Ferriskaart met situering van het projectgebied.

Er zijn in de buurt van het projectgebied ook verscheidene Romeinse munten gevonden (CAI 1793, CAI 1787, CAI 4769). Op de hoek van de Bonekruidstraat en de Rozemarijnstraat is in 1996 tijdens een controle van werken een mogelijke Romeinse grafkuil ontdekt (CAI 2645).

Er zijn twee middeleeuwse vindplaatsen in de buurt van het projectgebied. De Sint-Hubertuskerk (CAI 2061) werd gesticht in de volle middeleeuwen en het Slotje (CAI 693), een site met walgracht, dateert uit de late middeleeuwen.

Verder zijn er nog twee archeologische vooronderzoeken geweest in de buurt van het opgravingsterrein waar archeologische sporen uit de nieuwe tijd zijn aangetroffen. Het eerste proefsleufonderzoek vond plaats in 2008 aan de Vekestraat-Van Innestraat (CAI 20113). Hier is een weg gevonden uit de 18^{de} eeuw. In de Witloofstraat (CAI 150354) zijn in 2009 tijdens een proefsleufonderzoek percelingsgreppels en een gebouwtje uit de 18^{de} eeuw aangetroffen.

Op de Ferrariskaart (1771-1778) (fig. 3) staat het projectgebied ingekleurd als landbouwgebied. Ook op de Atlas der Buurtwegen (fig. 4) staat het projectgebied ingekleurd als landbouwgebied. Wel is er een landweg zichtbaar in de noord-oostelijke hoek van het onderzoeksgebied.

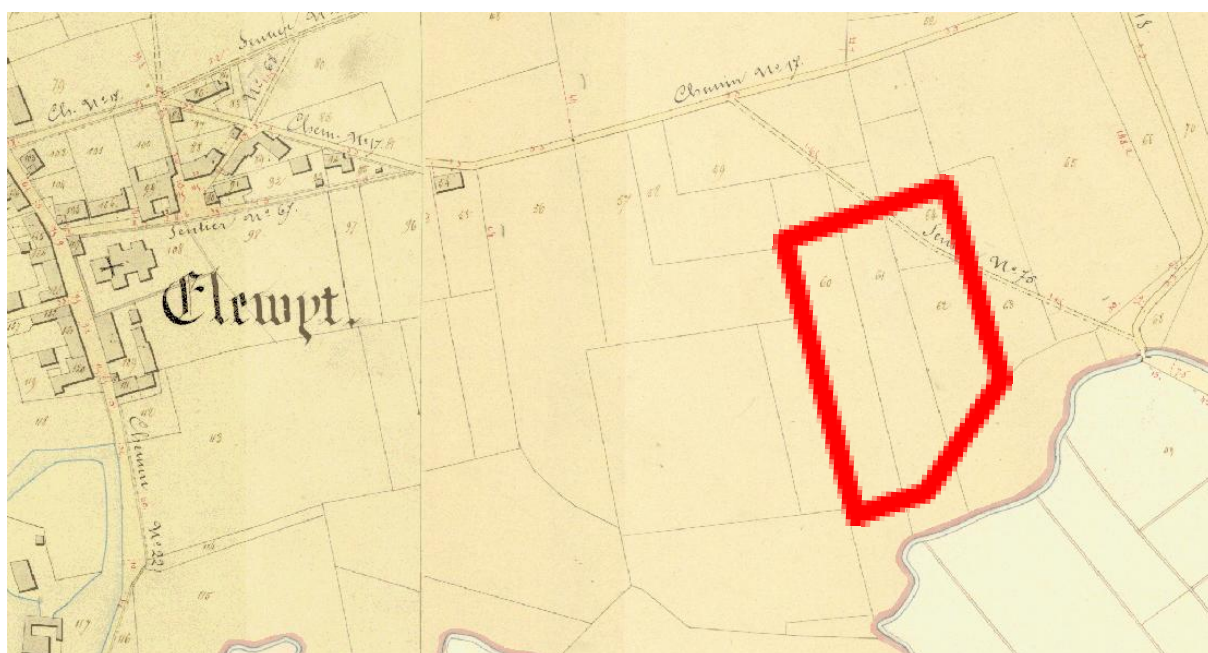


Fig. 4: Uittreksel uit de Atlas der Buurtwegen met situering van het projectgebied.

Hoofdstuk 2 Bodemkundige aspecten

Ludo Fockedey

2.1 Fysiografie

2.1.1 Lokale topografie en hydrografie

Het onderzoeksgebied ligt op een hoogte tussen 8 en 9 m TAW. Het oppervlak helt er af naar het zuiden om over te gaan in een vlak naar de Barebeek toe (fig. 5). De afwatering gebeurt door de zuidelijk gelegen Barebeek (fig. 6). Deze behoort tot het Dijlebekken².



Fig. 5: Noord - zuid lengteprofiel van het oppervlak en de helling in het projectgebied.

² <http://geo-vlaanderen.agiv.be/geo-vlaanderen/vha>



Fig. 6: Topografie en hydrografie rond het aangeduide onderzoeksgebied.

2.1.2 Algemene geologische opbouw

2.1.2.1 Tertiair geologische opbouw

Onder het projectgebied bevinden zich sedimenten die behoren tot de Formatie van Lede (Ld). In de onmiddellijke nabijheid liggen de Formatie van Brussel (Br) en de formatie van Malgedem, met name het Zand van Wemmel (MaWe) (fig. 7). Deze formaties dateren uit het Midden- en Laat-Eoceen (fig. 8).

De Formatie van Brussel bestaat er uit bleekgrijze, kalkhoudende zanden. Er komen ook grind en fossiellaagjes in voor. Wanneer *Nummulites laevigatus* voorkomt, is het typerend voor deze formatie. In de zanden komen kiezelversteningen en banken met kalksteenconcreties voor. Onderaan wordt het zand grofkorrelig.

De Formatie van Lede bestaat uit kalk- en glauconiethoudend fijn zand. Er komen enkele banken zandige kalksteen of kalkzandsteen in voor. Aan de basis wordt een grindlaagje aangetroffen met herwerkte fossielen en gesteentefragmenten. In de zanden treft men een drietal rijstkorrelgrind laagjes aan, die vaak fossielrijk zijn.

Het Zand van Wemmel vangt onderaan aan met een meestal goed ontwikkelde grovere basislaag, waarin naast *Nummulites wemmelensis*, talrijke gerolde *N. laevigatus* en afgeronde fossielhoudende kalkzandsteenbrokken aangetroffen worden. Het Zand van Wemmel bestaat uit een grijs glauconiethoudend fijn zand met een toename van het kleigehalte naar de top toe. Door deze lithologie is het zand geen aquifer^{3 4}.

³ Een aquifer, van het Latijn voor water en dragen, is een watervoerende laag in de ondergrond (vb. zand). Vanuit een aquifer kan water worden gewonnen via een bron.

⁴ Buffel e.a. 2009: 33-34.

Het archeologisch onderzoek aan het Molenveld te Elewijt

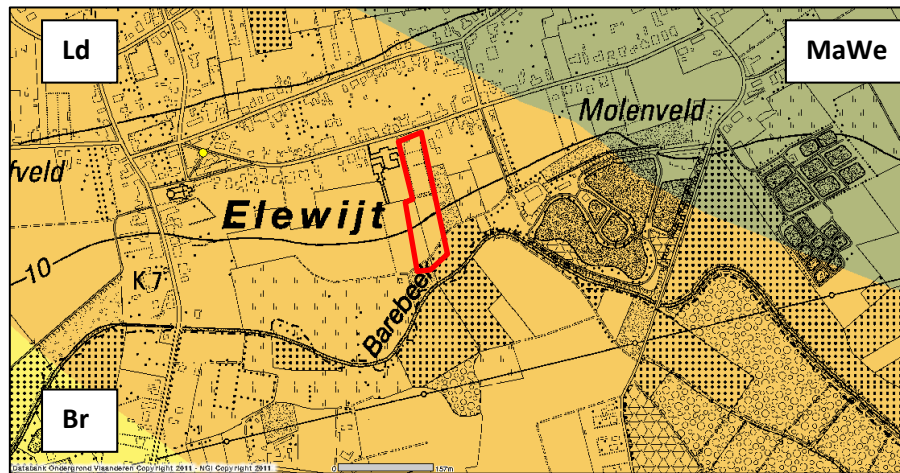


Fig. 7: Tertiair geologische kaart met aanduiding van het projectgebied.

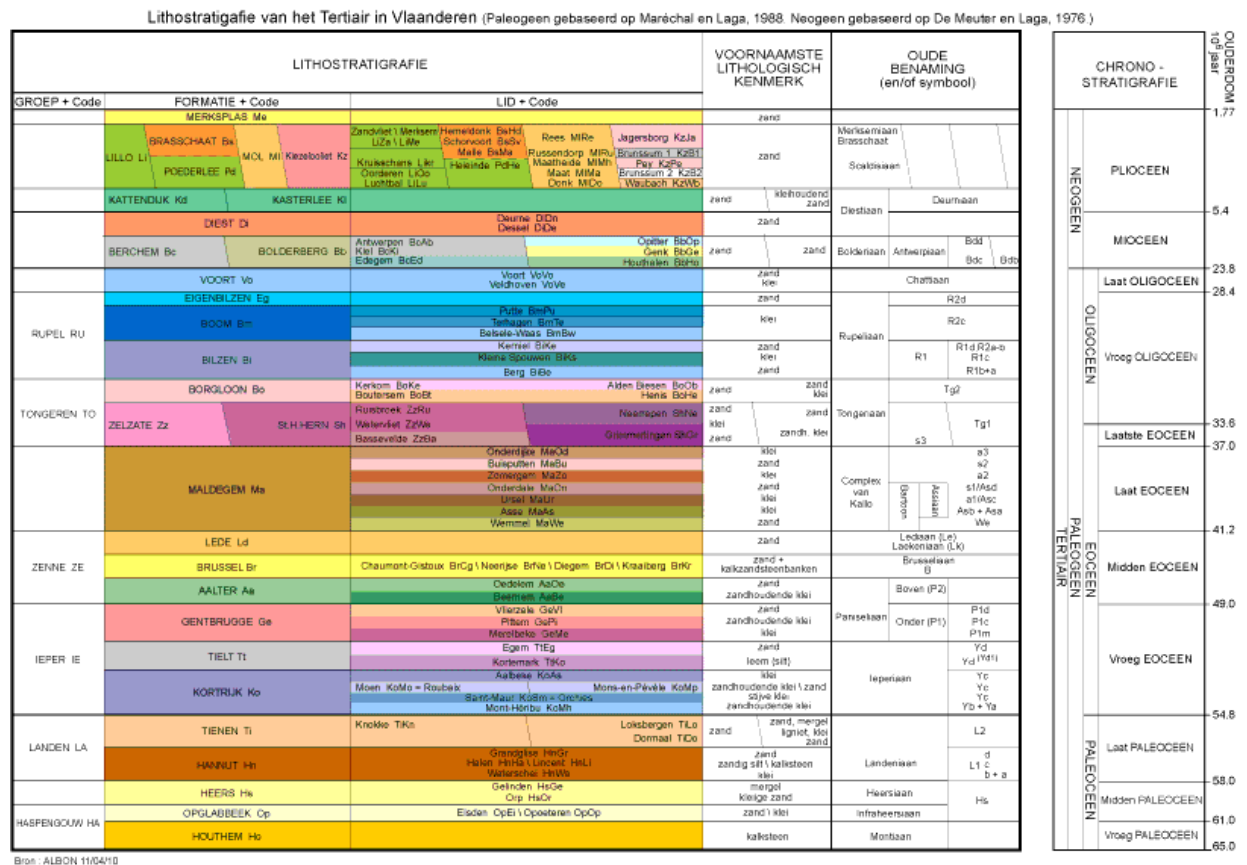


Fig. 8: Litho- en chronostratigrafie van het Tertiair in Vlaanderen.

2.1.2.2 Quartair geologische opbouw

Het quartair dek is volgens de beschrijving van het meest dichtbijgelegen boorpunt ter plaatse een 4-tal meter dik⁵. In de recente alluviale vlaktes en valleien zijn Holocene en tardiglaciale fluviatiele afzettingen terug te vinden. Deze afzettingen zijn opgebouwd uit klei, leem of zand met veenlagen⁶. De licht-zandleemgronden liggen in het gebied van de zandleemgronden, een overgangsgebied van de noordelijk gelegen zandgronden (dekzanden) naar de zuidelijk gelegen leemgronden. Ze worden veel aangetroffen in de nabijheid van de belangrijke valleien, zodat hun ontstaan het gevolg kan zijn van recentere opstuivingen⁷. Het is markant dat de fluviatiele Midden-Pleistocene en de fluviatiele Laat-pleistocene afzettingen duidelijk onderscheiden worden op de quartair geologische kaart (fig. 9) maar dat dit onderscheid op de bodemkaart niet te maken is (fig. 10). Beide kaarten hebben natuurlijk een ander doel.

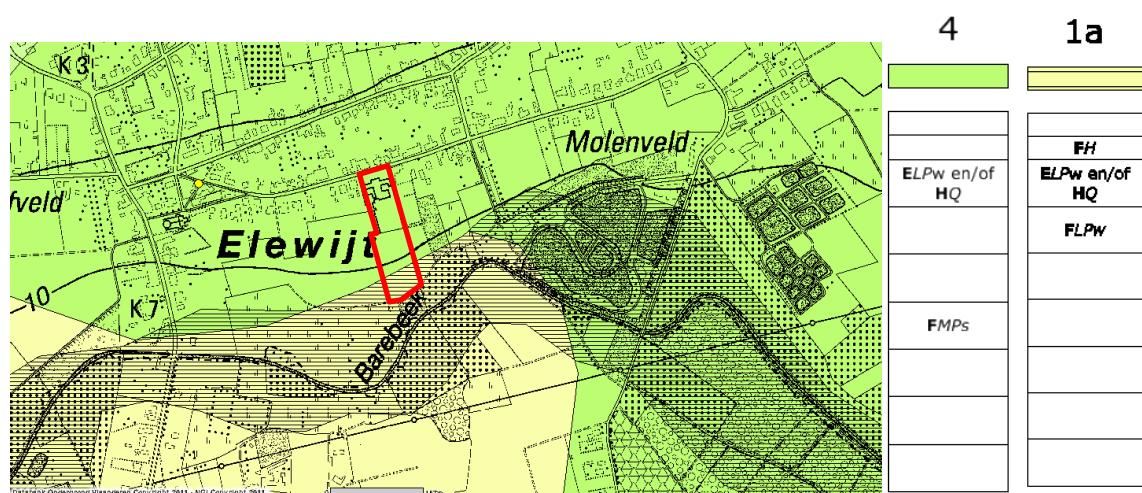


Fig. 9: Quartair geologische kaart met aanduiding van het projectgebied.

Legende

FH: fluviatiele afzettingen (inclusief organo-chemische en primairne afzettingen van het Holoceen).

ELPw: eolische afzettingen (zand tot silt) van het Weichseliaan (Laat-Pleistoceen), mogelijke Vroeg-Holoceen. Zand tot zandleem in het noordelijke en centrale gedeelte van Vlaanderen. Silt (loess) in het zuidelijke gedeelte van Vlaanderen.

FLPw: fluviatiele afzettingen van het Weichseliaan (Laat-Pleistoceen).

FMPs: fluviatiele afzettingen van het Saaliaan (Midden-Pleistoceen).

2.2 Bodemeenheden rond de site en hun eigenschappen

Het projectgebied ligt op licht-zandleemgronden (P..) (fig. 10). Ze bestaan gemiddeld uit 5,5 % klei (<2μ), 34,5% leem (2-50μ) en 60% zand (50μ-2mm) (fig. 11 en 12).

⁵ Databank Ondergrond Vlaanderen, Boorrapport code kb23d73e-B5, 1 blz.

⁶ Buffel 2009: 20-21.

⁷ Baeyens 1973: 53.

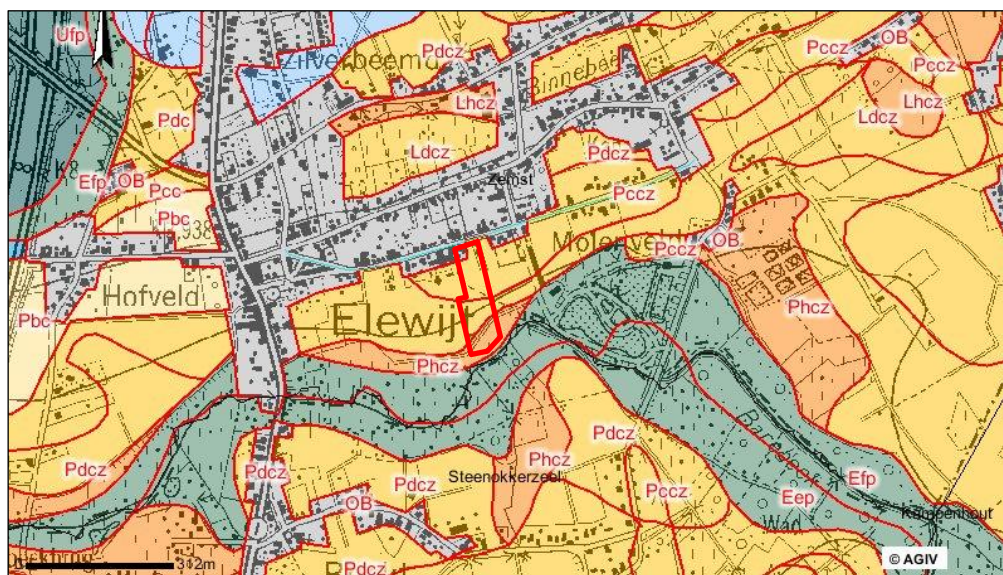


Figure 1 is a ternary diagram titled "Textuur driehoek: Belgium (BE)". The diagram is an equilateral triangle with a grid of lines. The top vertex is labeled "100" and "0". The bottom-left vertex is labeled "100" and "0". The bottom-right vertex is labeled "100" and "0". The left axis is labeled "Zand 0-2000 µm" and ranges from 0 to 100. The right axis is labeled "Klei 0-2 µm" and ranges from 0 to 100. The bottom axis is labeled "Leem 2-50 µm" and ranges from 0 to 100. The diagram is divided into regions labeled U, E, S, L, and Z. Region U is the largest, occupying the top half. Region E is below U. Region S is on the left, below E. Region L is on the right, below E. Region Z is at the bottom, below L. The regions are separated by lines that are not parallel to the axes.

The diagram illustrates a soil profile with three horizons, each containing three soil texture components: clay (klei), silt (leem), and sand (zand). The percentages for each component are as follows:

Horizon	klei (%)	leem (%)	zand (%)
Top Horizon	0	5	5
Middle Horizon	100	34	6
Bottom Horizon	0	0	0

Pccz zijn matig droge licht-zandleemgronden met verbrokkelde textuur B horizont. Ze worden grover in de diepte (...z).

In profiel zijn het sterk gedegradeerde grijsbruine podzolachtige bodems, met kenmerken van humus-ijzer B vorming aan de top. De bovenlaag (meestal Ap horizont) is bruingrijs en iets donkerder dan die van Pbc. De E, met de podzol B horizont indien deze nog zichtbaar is onder de Ap, heeft ongeveer dezelfde kenmerken als die van Pbc, alhoewel de tinten bleker zijn. De Bt is eveneens sterk gevlekt en heterogeen. Daarenboven komen tussen 60 en 90 cm roestvlekken voor die het geheel een zeer heterogeen uitzicht geven. De Cg horizont is sterk roestig. Dikwijls is deze horizont zandiger (C-IIC) of rust de Bt (of BC) horizont rechtstreeks op een zandsubstraat (IIC horizont).

Pdcz zijn matig natte licht-zandleemgronden met verbrokkelde textuur B horizont. Ze worden grover in de diepte (...z).

In profiel zijn het hydromorfe gedegradeerde grijsbruine podzolachtige bodems. De A₁ (Ap) horizont is bruingrijs tot donkergrijs, al naar gelang de podzolisatie min of meer doorgedreven is. In de meeste gevallen ontwikkelde zich in het bovendeel van de E horizont een bruine podzolachtige bodem met vele, verspreide, afgeloogde kwartskorrels. De Bt horizont is sterk gevlekt en bestaat uit Bt resten, witgrijs gebleekte vlekken en duidelijke roestverschijnselen onder vorm van okerkleurige tot roodachtige vlekken, vlammen en slierten. De Cg of eventueel de IICg horizont is eveneens sterk roestig, maar is minder heterogeen⁸.

2.3 Bodemgenese en terreinwaarnemingen

2.3.1 Bodemgenese

De *gedegradeerde grijsbruine podzolachtige bodem* volgt op het stadium van de *grijsbruine podzolachtige bodem*. De textuur B horizont wordt aangetast en afgebroken onder invloed van humuszuren. In de top van het uitgeloogde materiaal ontstaat een weinig duidelijke humus of/ en ijzer B horizont of een mikropodzol. Deze degradatie grijpt bij voorkeur plaats in zandleemgronden met hoog zandgehalte.

Ze vertonen in principe de volgende horizonten:

- O** ruwe-humushorizont, voortkomend van de strooisellaag,
- A₁** humushoudende bovengrond, ca. 10 cm dik,
- E** aan klei verarmde, geelbruine horizont, ca. 30 cm dik,
- B_{2t}** met klei aangerijkte, bruinachtige horizont, gekenmerkt door continue dikke banden met grijsachtige vlekken in zware materialen (licht zandleem en zandleem) of door geïsoleerde brokstukken in lichte materialen (lemig zand en zand),
- C** ontkalkt moedermateriaal.

In veel gevallen ontbreken O, A₁ en B₃; C₁ en C₂ komen zelden of niet voor. De horizontenopeenvolging is dus meestal als volgt:

- Ap** bouwvoor, verwerkt O+A₁+E (gedeeltelijk), gemiddeld 30 cm dik,
- B-IIB** overgangshorizont met sporen van solifluctie, vermengd met materiaal van het substraat,
- IIC** substraat; overwegend Tertiair, dat in veel gevallen autochtoon is.

Deze bodems komen voor op (licht)zandleem (P.. en L..) en lemig zand (S..). In het eerste geval vertonen ze een continue B_{2t} horizont, in het laatste een discontinue. De licht-zandleemgronden (P..)

⁸ Baeyens 1973: 54-56.

vertonen in de B_{2t} grijsachtige en okerkleurige vlekken die het gevolg zijn van de afbraak van kleimineralen (degradatie). In de zandige sedimenten zijn de oorspronkelijke B_{2t} banden verbroken en blijven er slechts geïsoleerde brokstukken over. Ze worden respectievelijk beschreven als gronden met sterk gevlekte textuur B horizont en als gronden met verbrokkelde textuur B horizont⁹.



Fig. 13: De ligging van de referentieprofielen.

4.2 Terreinwaarnemingen (fig. 13)

Het eerste referentieprofiel vertoont een typische ploeglaag of Ap [fig. 14(1)]. Daaronder bevindt zich een sterk gebioturbeerde horizont waarin de bioturbaties afnemen van boven naar onder. Mogelijk gaat het hier om een sterk gemengde horizont bestaande uit de restanten van een oudere ploeglaag (Ap) (2) en de originele uitlogingshorizont of E (3). De Bt horizont is prominent aanwezig en vertoont zowel horizontale als verticale reductiesporen. In het horizontale vlak komen deze tot uiting als polygonale barsten (fig. 15).

⁹ Baeyens 1973: 24-25.

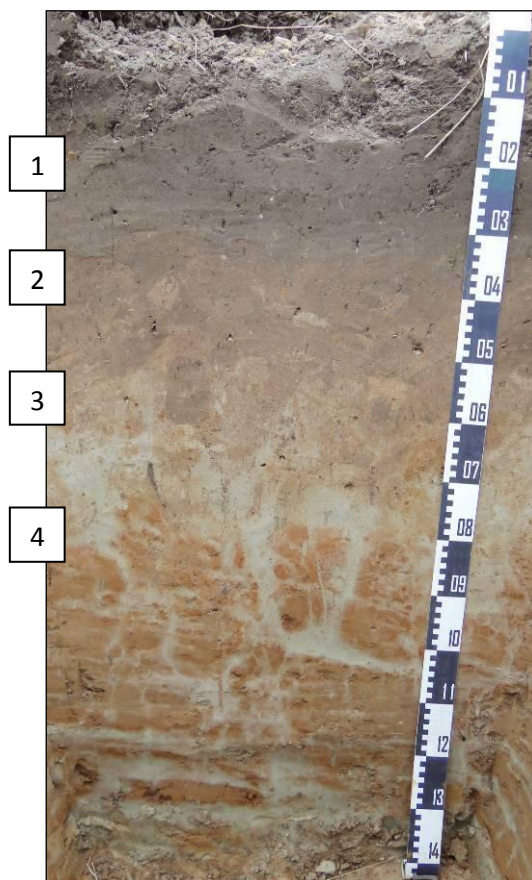


Fig. 14: Referentieprofiel met duidelijke Bt horizont.



Fig. 15: Polygonale barsten aan top van de Bt horizont.

Het tweede referentieprofiel vertoont een antropogene humus A horizont die ook wel als plaggenbodem wordt aangeduid [fig. 16 (1)]. Ze kan onderverdeeld worden in drie subhorizonten. De eerste subhorizont is de laatst gevormde bouwvoor (1a). Daaronder bevindt zich een veel bruinere horizont (1b) die overgaat op 50 tot 60 cm diepte in een bleekgrijze horizont (1c). Deze bevat op één enkele plaats mogelijk de sporen van fosfaten onder vorm van een groene vlek.

De witgrijze horizont (2) is een mogelijke E horizont, maar kan ook te maken hebben met reducerende omstandigheden. Daaronder verandert de textuur en is er mogelijk tertiair materiaal in verwerkt. Deze verwerking van het glauconiethoudend materiaal doet het ijzer vrijkomen, wat de aanwezigheid van een sterk ijzerhoudende horizont verklaart (4).



Fig. 16: Het tweede referentieprofiel met een antropogene humus A horizont.

Hoofdstuk 3 Werkmethode

Maarten Smeets & Marjolijn De Puydt

Conform de opgelegde voorschriften werd het vlak aangelegd met een graafmachine op rupsbanden, met een platte graafbak. Het onderzoek bestond uit de aanleg van 7 werkputten die samen een opgravingsvlak van ca. 0,9 hectare vormde. Bij de aanleg van werkput 1, 2 en 3 werd de afgegraven aarde naast de pas aangelegd werkput gedeponeerd. Op vraag van de aannemer werd de teelaarde vanaf werkput 4 afgevoerd. Nadat de teelaarde van een werkput was afgegraven werd het vlak machinaal afgegraven tot op archeologisch niveau. Deze aarde werd eveneens afgevoerd. Het gehele vlak werd manueel opgeschaafd om de sporen optimaal te kunnen registreren (fig. 17). Het gehele vlak werd onderzocht met een metaaldetector.



Fig. 17: Aanleg van het vlak.

De aanwezige sporen werden meteen na het schaven gefotografeerd en beschreven. Alle sporen werden net als alle sleuven en losse vondsten digitaal topografisch ingemeten. Wegens hevige regenval in juni is het zuidelijke deel van het opgravingsterrein gedeeltelijk onder water gelopen. Nadat het terrein terug droog was, konden 6 sporen (S239, S240, S373, S374, S375 en S413) niet teruggevonden worden, waardoor ze ook niet verder onderzocht zijn, maar vermoedelijk natuurlijk of zeer ondiep waren aangezien ze niet meer opnieuw werden teruggevonden.

Alle andere sporen werden gecoupeerd om de diepte, aard en de bewaringstoestand van de sporen te achterhalen. Bij de paalkuilen werd de nodige aandacht besteed aan het vinden van de paalkernen, maar al gauw kon vastgesteld worden dat deze in het vlak niet konden worden herkend. Daarom werd bij het couperen van de paalsporen extra aandacht besteed aan de kern. Ongeveer een

vierde van een paalspoor werd uitgegraven¹⁰, daarna werd de coupe achteruitgezet tot de maximale diepte en breedte van de kern was blootgesteld. Alle coupes werden gefotografeerd. Van de gecoupeerde sporen werden, indien antropogeen, digitale coupetekeningen gemaakt. Na de registratie van de coupe werd de tweede helft van de antropogene sporen uitgehaald.

Vondsten werden per spoor en waar mogelijk per laag ingezameld. Met het oog op een ¹⁴C datering werden uit de meeste structuren houtskoolmonsters verzameld. Van de meeste grote structuren werden paalsporen geselecteerd voor bemonstering. De 10 liter monsters bleken na het zeven nauwelijks organisch materiaal te bevatten en enkel de zeefstalen van de waterput S160 zijn weerhouden. Tenslotte werden van de nazak van de waterput en de greppelstructuur pollenmonsters genomen.

¹⁰ Het gaat hierbij niet om de kwadrantenmethode waarbij één kwadrant wordt uitgehaald. Het plaatsnemen van de coupe gebeurde in twee bewegingen, waarbij na de tweede beweging de helft van het spoor uitgehaald is.

Hoofdstuk 4 Beschrijving van de sporen

Gerben Bervoets & Maarten Smeets

In het veld werden 441 sporen opgetekend, waarvan in totaal 226 paalkuilen, 28 kuilen, 1 greppel en 1 waterput. Het grootste aantal van deze antropogene sporen kan in de ijzertijd gedateerd worden en een klein aantal in de late bronstijd. In totaal werden 15 gebouwplattegronden, waaronder 2 tot 3 'hoofdgebouwen', 3 tot 4 grotere 'bijgebouwen', 1 zespalige structuur en 9 vierpalige structuren, herkend.

Een 3-tal grote rechthoekige kuilen en een reeks ploegsporen dateren uit de middeleeuwen of later. Achteraf bleken 161 sporen (waaronder boomvallen) natuurlijk. Een 16-tal sporen zijn als recente verstoringen opgetekend. Deze omvatten enkele coupes van het proefsleuvenonderzoek¹¹ en de restanten van enkele speeltuigen, die op het schoolterrein opgesteld stonden.

In de volgende paragrafen volgt de bespreking van de aangetroffen structuren en grondsporen uit de late-bronstijd of ijzertijd. In de paragraaf vergelijking en synthese worden ze vervolgens in een ruimer perspectief behandeld en vergeleken met gelijkaardige constructies.

Voor de chronologische indeling wordt het Nederlandse systeem gebruikt. De late bronstijd loopt van 1100-800 v.C. en de ijzertijd wordt opgesplitst in een vroege (800-500 v.C.), midden (500-250 v.C.) en late (250-50 v.C.) fase.

4.1 Uiterlijke kenmerken, gaafheid en conservering van de grondsporen

De sporen tekenden zich in eerste instantie af als grijze tot grijsbruine verkleuringen in de onverstoorde bodem (centraal). De grondsporen in de lager gelegen zones van het terrein (ZO) kenden een eerder blauwgrijs gereduceerde kleur, terwijl sommige sporen in het N en NW minder goed zichtbaar waren en een grijswit gekleurde en vaak gelaagde vulling bezaten.

Na het couperen van enkele paalsporen in WP1 werd duidelijk dat vaak enkel de paalkern of de nazak/uitgraafkuil boven de paalkern in het vlak zichtbaar was. De insteek van het spoor zelf, met dezelfde kleur als de moederbodem, bleef in vele gevallen onherkenbaar tot op het moment van couperen (fig. 18 en 19). Een eerste oorzaak hiervoor is de aanzienlijke hoeveelheid bioturbatie. Een tweede oorzaak komt voort uit de aard van het moedermateriaal zelf: het vlak werd namelijk grotendeels aangelegd op een sterk gevlekte textuur B-horizont van de matig natte zandleembodem. In de NW-hoek van het opgravingsterrein zorgde de E-horizont of uitlogingslaag dan weer voor een beperkte zichtbaarheid van de sporen. Ten derde vormt de ouderdom van de grondsporen een belangrijke factor waarbij oudere sporen gemiddeld genomen een meer uitgeloopte en minder scherp afgelijnde vulling bezitten dan degene uit jongere periodes.

De bewaarde diepte van de antropogene grondsporen varieerde eveneens in hoge mate naargelang de situering binnen het plangebied. Sporen in de NO-hoek zijn zeer slecht bewaard in coupe en een groot deel van de sporen is opgenomen in de middeleeuwse akkerlaag en/of bioturbatielaag. Sporen meer naar het westen van het plangebied zijn goed geconserveerd. Het voorgaande wordt duidelijk geïllustreerd door een WZW-ONO georiënteerde greppel, die nagenoeg het hele plangebied

¹¹ Aangezien hierdoor in het vervolgonderzoek slechts de helft van de gecoupeerde sporen bewaard was, kregen deze zeer recente verstoringen een apart spoornummer.

doorkruist. Dit grondspoor was in het vlak van WP3 nauwelijks zichtbaar terwijl in WP6 de diepte ervan 35 cm bedroeg.



Fig. 18 en 19: S254 van *Bijgebouw 3* in het vlak en in coupe.

De variatie aan kleuren, textuur en uitlogingsgraad van de grondsporen en de variabele conservatiegraad zorgden er tevens voor dat het onderscheid tussen natuurlijke en antropogene sporen niet evident was.

4.2 'Hoofdgebouwen' en 'grote bijgebouwen'

4.2.1 Structuur 1

Structuur 1 (fig. 20) is gelegen in de NO-hoek van het plangebied. Aangezien slechts een klein deel van de constructie bewaard is, is ze niet onmiddellijk in het veld herkend.

De restanten van dit tweebeukige gebouw, met een WZW-ONO oriëntatie, bestaan uit 2 middenstaanders (S65, S66) en een 10-tal wandpalen die de twee ingangspartijen in beide lange zijdes van de constructie vormen.

De minimale breedte van het gebouw meet 7,5 m. De afstand tussen de 2 middenstaanders bedraagt 3 m en de breedte van de ingangspartijen 2 m (gemeten van kern tot kern). De middenstaanders zijn het diepst ingegraven, namelijk 20 cm; binnenstaanders van de ingangspartijen (S71, S52 en S54) een 10 tot 15 cm terwijl de overige sporen slechts een 5-tal cm in coupe bewaard zijn.

De paalkuilen hadden in het vlak een ronde tot ovale doorsnede met een gemiddelde diameter van 25 tot 30 cm. De kleur van de vulling was grijsbruin tot bruingrijs gevlekt

Paalkuilen S39, S40, S41, S42, S47 behoren mogelijk tot de zuidelijke lange wand. Aangezien het ook hier slechts onderkanten met een diepte in coupe van enkele centimeters betreft, die bovendien tussen een groot aantal natuurlijke kuilen gesitueerd zijn, is de interpretatie slechts hypothetisch.

De enkele scherven die uit de paalkuilen verzameld zijn (handgevormd en met chamotte gemagerd) laten slechts een algemene datering in de ijzertijd toe. In de paalkuilen was eveneens geen houtskool aanwezig.

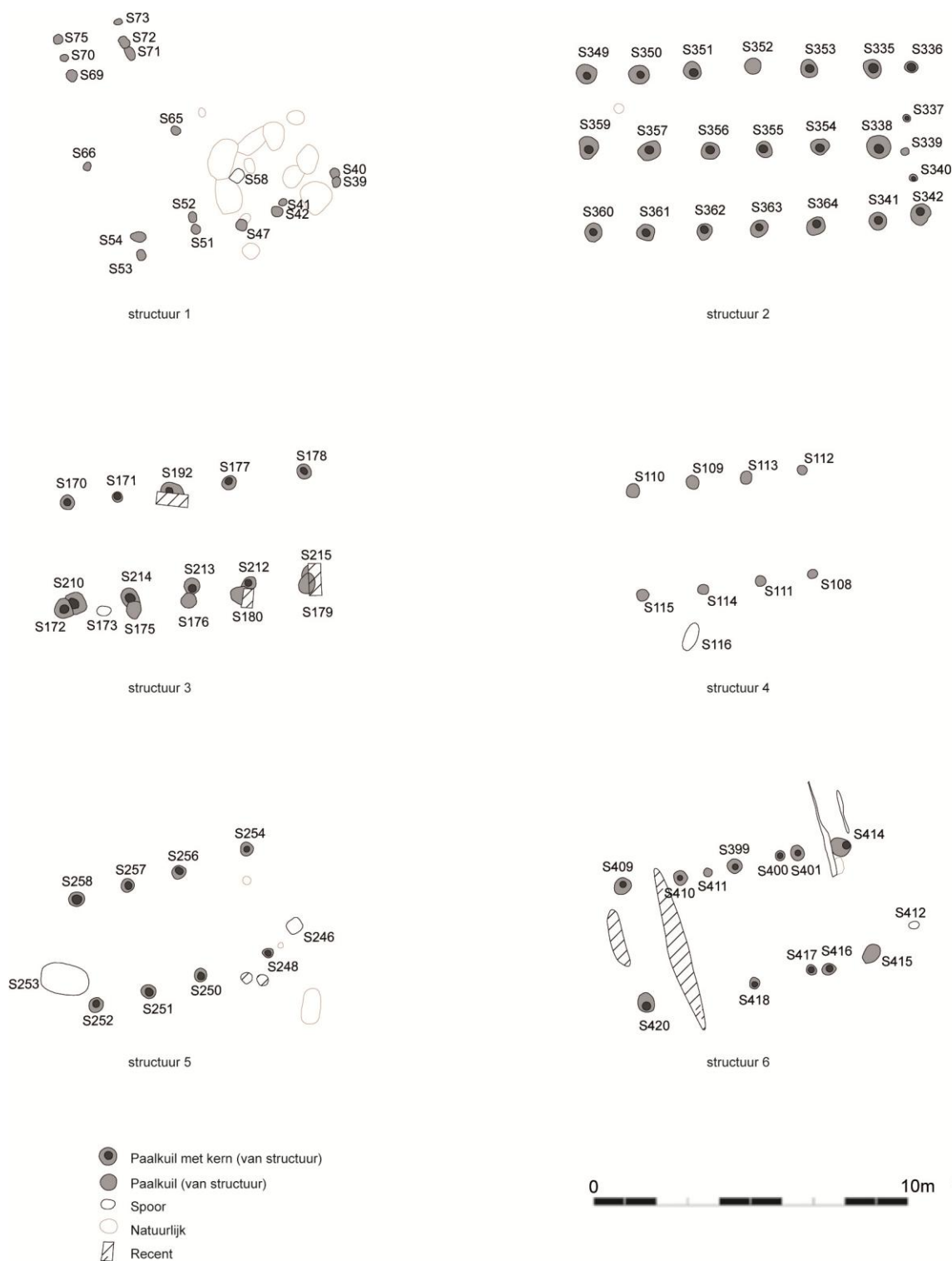


Fig. 20: Overzicht van 'hoofdgebouwen' en grote 'bijgebouwen'.

4.2.2 Structuur 2

De structuur (fig. 20 en 21) ligt centraal in het westen van het plangebied. De O-W georiënteerde constructie meet ongeveer 11 op 5 m en is opgebouwd uit 3 parallelle rijen van 6 zware palen die op regelmatige afstand van elkaar zijn geplaatst. De oostelijke kopse zijde wijkt echter af van dit patroon. Een zware paalkuil in de centrale palenrij ontbreekt en in de plaats hiervan zijn 3 kleinere paalsporen (S337, S339, S340) geregistreerd. In de NO en ZO hoek zijn wel 2 zware paalkuilen aanwezig (S342, S336).

De breedte van beide beuken bedraagt 2,5 m en de afstand tussen de verschillende traveeën schommelt tussen de 1,7 en 1,9 m met uitzondering van de meest oostelijke, die 1,2 m meet. De paalkuilen zelf zijn zeer zwaar uitgevoerd met een insteek die vaak meer dan 50 cm in de breedte bedraagt en een diepte die rond de 40 cm schommelt. De 3 kleinere paalkuilen in de oostelijke kopse zijde waren een ongeveer 10 cm diep. In de meeste paalkuilen werden tijdens het couperen de restanten van een ronde paalkern waargenomen met een doorsnede van gemiddeld 25 cm (fig. 22). De goed bewaarde kernen bezaten een homogeen grijs gekleurde vulling met een redelijke hoeveelheid houtskoolbrokjes. De insteek was nauwelijks zichtbaar en bestond uit de verrommelde moederbodem. In een aantal gevallen werd ook een uitgraafkuil geregistreerd¹² hetgeen mogelijk een bewijs is voor het hergebruik van de houten palen.

In vergelijking met andere structuren binnen het plangebied werd er in de paalkuilen een zeer grote hoeveelheid aardewerk aangetroffen. Het grootste deel hiervan was afkomstig uit de 2 kuilen boven paalsporen S341 en S342 (fig. 23). Hierin waren 2 archeologisch bijna complete individuen gedeponeerd, samen met een heel aantal scherven die secundaire verbrandingssporen vertoonden. In S342 werden ook enkele spikkels verbrand bot waargenomen. Mogelijk betreft het een verlatingsoffer of -ritueel.

Op basis van ¹⁴C-datering (bijlage 6) van houtskool uit spoor 355 kan een datering tussen 750 en 390 BC worden vooropgesteld.

4.2.3 Structuur 3

Deze structuur (fig. 20 en 24) ligt in het NO van het plangebied. Het éénbeukige gebouw, bestaande uit 2 rijen van 5 paalkuilen (S170, S171, S177, S178, S192, S210, S212, S213, S214, S215), is nagenoeg O-W georiënteerd.

De buitenafmetingen bedragen 8 op 3,75 m. De afstand tussen de paalkuilen meet in de lengterichting 1,7 tot 2 m. De afmeting van de oostelijke travee is opvallend groter, namelijk 2,4 m. De ovale tot ronde paalsporen meten 40 tot 70 cm in het vlak en zijn 40 tot 45 cm in coupe bewaard. De vorm in coupe was overwegend afgerond rechthoekig. In nagenoeg alle paalkuilen werd een ronde grijs gekleurde paalkern geregistreerd met een doorsnede van ca. 25 cm. In verscheidene kernen is een matige hoeveelheid houtskoolspikkels aangetroffen.

Tijdens het couperen van de paalkuilen werd duidelijk dat de oorspronkelijke zuidelijke palenrij volledig vervangen werd. De palen uit de 2^{de} fase (S172, S175, S176, S179, S180) zijn echter opvallend minder diep ingegraven, namelijk 20 tot 30 cm. Houtskool uit spoor 172 kon door middel van ¹⁴C-datering tussen 530 en 380 BC gedateerd worden (bijlage 6).

Uit de plattegrond zijn een 12-tal kleine wandscherven handgevormd aardewerk verzameld, waarvan minstens de helft secundaire verbrandingssporen vertonen.

¹² Om het overzicht van de sporen te bewaren zijn de uitgraafkuilen, in tegenstelling tot de paalkernen, niet op de vlaktekening geregistreerd.

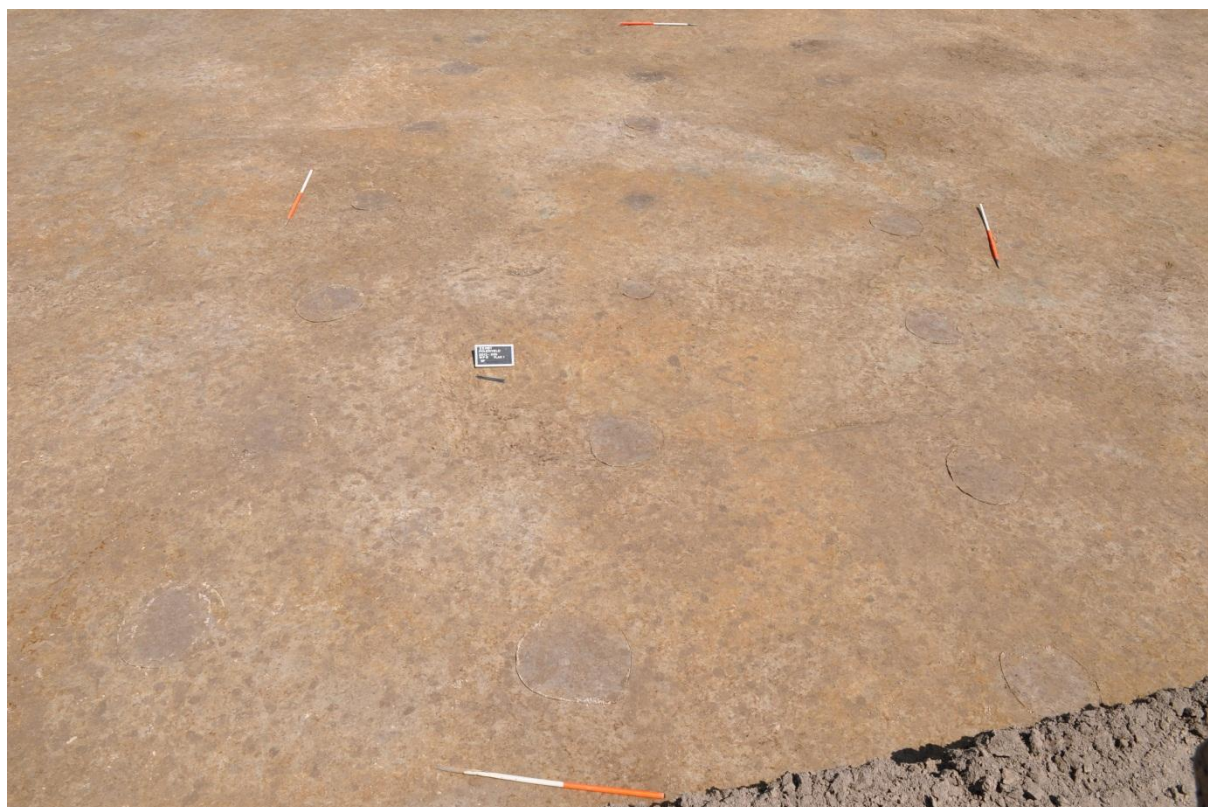


Fig. 21: Structuur 2 in het vlak.



Fig. 22 en 23: S355 en S342 in coupe.

4.2.4 Structuur 4

Structuur 4 (fig. 20 en 25) is in de NO-hoek van het plangebied gesitueerd. Deze éénbeukige constructie is grosso modo O-W georiënteerd en bestaat uit 2 rijen van 4 paalkuilen (S108, S109, S110, S111, S112, S113, S114, S115). De buitenafmetingen bedragen 5,8 op 3,8 m. Aanvankelijk werden slechts 4 van de 8 paalsporen in het vlak herkend. De overige paalsporen werden gevonden nadat het vlak een 2^{de} maal werd opgeschaafd.

De afstand (van kern tot kern) tussen de palen in lengterichting meet 1,7 tot 1,9 m. De paalsporen zijn in het vlak rond tot ovaal met een doorsnede van 35 tot 45 cm. In coupe was de vorm afgerond

rechthoekig en de diepte ten opzichte van het vlak bedraagt 20 tot 30 cm. De vulling bestond uit lichtgrijs lemig zand met bruingrijze vlekken. Er zijn geen kernen in coupe herkend of opgetekend. Er was nauwelijks houtskool in de sporen aanwezig en slechts 3 kleine aardewerkfragmenten zijn verzameld. Toch kon op basis van houtskool uit spoor 114 een datering tussen 410 en 230 BC bekomen worden (bijlage 6).



Fig. 24: Structuur 3 in coupe.

4.2.5 Structuur 5

Deze WZW-ONO georiënteerde constructie is 20 m ten ZO van structuur 4 gesitueerd (fig. 20 en 26). De opbouw is nagenoeg identiek aan voorgaande structuur, namelijk een éénbeukige constructie bestaande uit 2 rijen van 4 palen (S248, S250, S251, S252, S254, S256, S257, S258). De buitenafmetingen bedragen 6 op 3,8 m.

Alle traveeën zijn 1,7 m breed behalve de meest oostelijke waar de afstand tussen de palen 2,2 m bedraagt. De paalkuilen zijn in het vlak rond tot licht ovaal en in coupe afgerond rechthoekig van vorm. De doorsnede meet 45 cm en de diepte 30 tot 40 cm. In al de paalkuilen is een lichtgrijze tot grijze kern geregistreerd met ronde doorsnede en een diameter van rond de 20 cm. Houtskool werd slechts sporadisch waargenomen en slechts 1 enkele scherf is uit de paalkuilen verzameld.



Fig. 25: Structuur 4 in coupe.

4.2.6 Structuur 6

Deze structuur (fig. 20) is gesitueerd in een lager gelegen zone in de ZW-hoek van het plangebied. De éénbeukige constructie, opgebouwd uit 2 palenrijen, volgt een WZW-ONO oriëntatie. De buitenafmetingen bedragen een kleine 8 op 4,5 m.

De palenzetting vormt een iets onregelmatiger patroon dan bovenstaande structuren. De kern van het gebouw lijkt te bestaan uit de 6 paalsporen (S399, S409, S414, S418, S420) die het zwaarst uitgevoerd zijn (tussen 30 en 40 cm in coupe) en op regelmatige afstand (3,65 m.) van elkaar staan. Tussen deze kern zijn S401, S410 en S416 geplaatst die eveneens zwaar uitgevoerd zijn (30-40 cm. diep in coupe). Tussen deze laatste staan dan weer kleinere paalsporen (S400, S411 en S417) die slechts 15 cm diep in coupe meten. De doorsnede van de kernen, indien aanwezig, bedraagt ca. 20 cm.

Hoewel het vlak na de aanleg een tweede maal onderzocht is geweest op paalsporen, ontbreken mogelijke tegenhangers van S410 en S411.

De ligging van het gebouw in de lager gelegen zone en dus vochtigere grond verklaren mogelijk de extra paalkuilen en onregelmatige palenzetting.

In de structuur werd geen aardewerk en slechts enkele spikkels houtskool aangetroffen. Op basis van houtskool uit spoor 399 werd door middel van de ¹⁴C-methode een datering tussen 1520 en 1425 BC bekomen (bijlage 6). Van alle uitgevoerde dateringen is dit de enige afwijkende datering die niet in de ijzertijd, maar de midden-bronstijd, geplaatst moet worden.

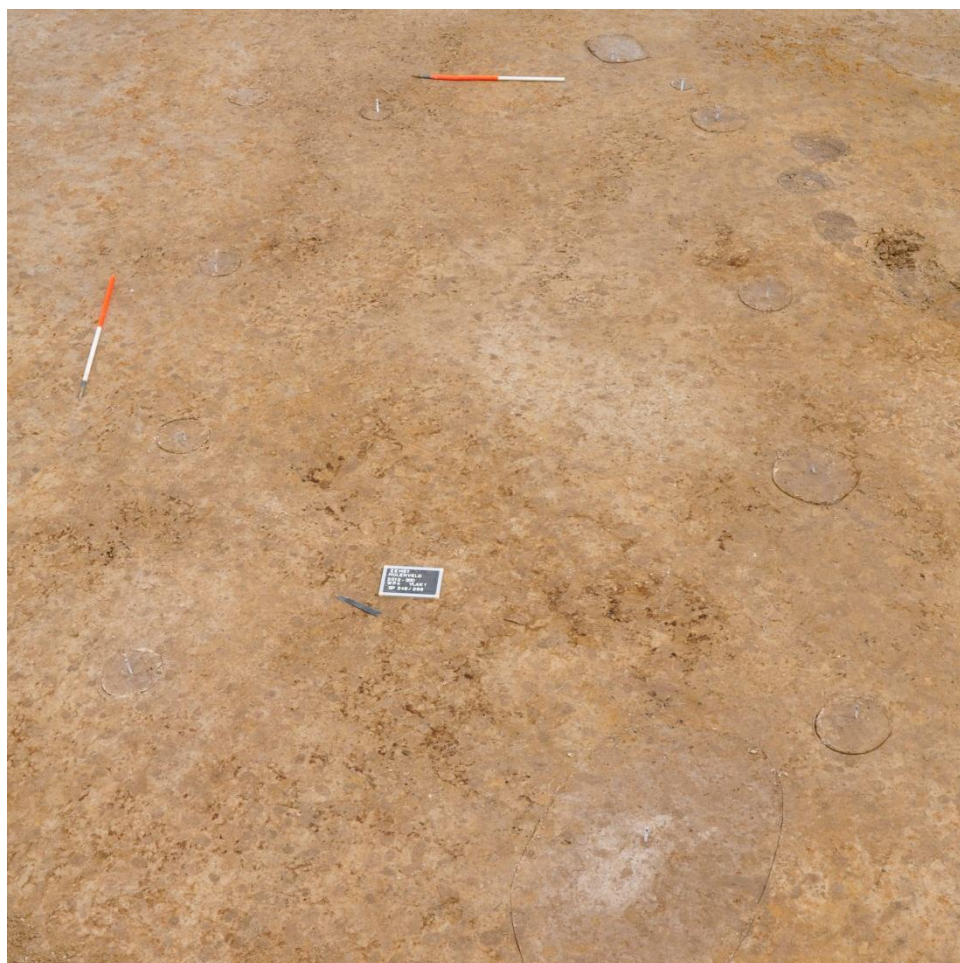


Fig. 26: Structuur 5 in het vlak.

4.3 Vier- en zespalige structuren

In totaal zijn 10 kleine structuren geïdentificeerd die opgebouwd zijn uit 4 of 6 palen (fig 27 en 28, structuur 7 tot en met structuur 16). Structuur 7, 10 m ten zuiden van structuur 3, is echter de enige constructie met 6 palen. De afmetingen van dit WZW-ONO georiënteerde gebouw bedragen 4 op 2,7 m. De afmetingen van de 4-palige vierkante structuren schommelen tussen 3 m (structuur 13) voor de grootste en ongeveer 1,7 m (structuur 12) voor de kleinste. Het is op zijn minst opvallend dat net deze 2 structuren vlak naast elkaar liggen.

De diepst gefundeerde 4-palige structuren zijn structuur 8 (S121, S122, S130, S132) en structuur 16 (S380, S403, S404, S405). De paalkuilen hiervan waren respectievelijk gemiddeld 40 en 35 cm diep in coupe. De paalkernen van beide structuren waren rond van vorm en tussen de 15 en 20 cm dik.

Opvallend is ook de zeer regelmatige spreiding, op een NNO-ZZW gerichte as, van structuur 10 tot en met structuur 15 (fig. 23). Deze 4-palige structuren zijn, uitgezonderd structuur 13 (S284, S285, S286, S308), ook eerder rechthoekig van vorm. De afstand tussen de palen in O-W richting bedraagt circa 25 cm meer dan de afstand in N-Z richting waardoor ze bijgevolg WNW-ZZO georiënteerd zijn.

In de paalkuilen van deze kleine bijgebouwtjes was nauwelijks aardewerk aanwezig. Door middel van de ¹⁴C-methode konden sporen 194 (structuur 7) en 288 (structuur 14) gedateerd worden tussen respectievelijk 760 en 410 BC en 740 en 390 BC (bijlage 6).

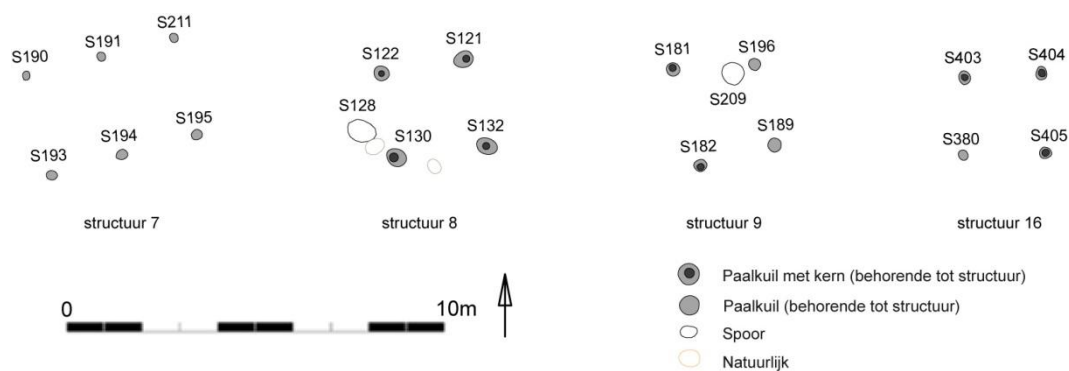


Fig. 27: Structuur 7, 8, 9 en 16 in het vlak.



Fig 28: Structuren 10 tot en met 15 in het vlak.

4.4 Waterput

In het uiterste zuidoosten, de laagst gelegen zone van het plangebied, is een waterput aangetroffen (S8/S160) (fig. 29 en 30). In eerste instantie werd in WP1 een kuil (S8) aangetroffen tegen de zuidelijke putwand. De aard van het spoor bleef evenwel onduidelijk tot in WP2 een kleine meter onder het maaiveld een cirkelvormige structuur blootgelegd werd met een doorsnede van 3,3 m.

Deze is, aangezien de zuidelijke helft onder een cervitide lag, in 2 delen gecoupeerd. De noordelijke zijde is manueel verdiept met de schop tot een diepte van 1,8 m onder het maaiveld. Nadat de gemeente Zemst toestemming verleend had om de veldweg tijdelijk te onderbreken, is de zuidelijk helft onderzocht waarna het spoor tot op volledige diepte gecoupeerd is. Dit gebeurde met de graafmachine omwille van de hoge grondwaterstand en het hiermee gepaard gaande instortingsgevaar van de putwanden.

De waterput zelf bestaat uit een taps-toelopende kuil of insteek met een diepte van 3 m ten opzichte van het maaiveld. Hierin werd een kegelvormige vlechtwerkconstructie of mand geplaatst (fig. 31 en 32). Deze was vanaf 1,8 m onder het maaiveld bewaard, waar de diameter 1,4 m bedroeg. De mand was opgebouwd uit verticale staken met doorsnede van 2 tot 3 cm waartussen fijnere twijgen in horizontaal verband gevlochten waren. In de vulling, die uit tertiair zand bestond, stak een houten paal uit berkenhout met een doorsnede van 7 cm en een bewaarde lengte van 1,2 m die mogelijk dienst deed als welpaal.



Fig. 29 en 30: Opvullingslagen in coupe en rechts een detail van de houten balk.



Fig. 31 en 32: De vlechtwerkconstructie in het vlak en in coupe.



Fig. 33 en 34: Houten balk met een detail van kasporen.

In de noordelijke helft, vermoedelijk net tegen de rand van de vlechtwerkmand, lag in de insteek (overgang L5/L8) een houten balk met een totale lengte van 1,3 m (fig. 30, 33 en 34). Het centrale deel (middelste 60 cm) was driehoekig in doorsnede. De uiteindes waren rechthoekig bekapt waarna ze op een punt uitliepen. Mogelijk betreft het constructiehout van een trapconstructie of houten platform.

De lagen boven de houten constructie-elementen (L1 tot L5) zijn komvormig en gevormd nadat de put in onbruik raakte (fig. 29 en 30). Hierin werden verschillende fragmenten aardewerk aangetroffen.

De waterput is door middel van pollenbakken bemonsterd en uit de zwarte humusrijke laag zijn 2 stalen van 10 l verzameld voor paleo-botanisch onderzoek, maar dit leverde geen resultaten op. Dendrochronologisch onderzoek van de houten balk bleek evenmin mogelijk omdat er te weinig jaarringen bewaard waren, maar een ¹⁴C-datering leverde een datering tussen 370 en 190 BC op (bijlage 6).

4.5. Kuilen

Ronde tot licht ovale kuilen (o.a. S93, S95, S98, S127) zijn voornamelijk gesitueerd in het NO van het plangebied, ten W en NW van structuur 1. De afmetingen in het vlak schommelen tussen 1 en 1,5 m en de bodems zijn komvormig of vlak. Vaak is het onderscheid echter niet te bepalen aangezien ze slechts 10 tot 15 cm in coupe bewaard zijn (fig. 35).

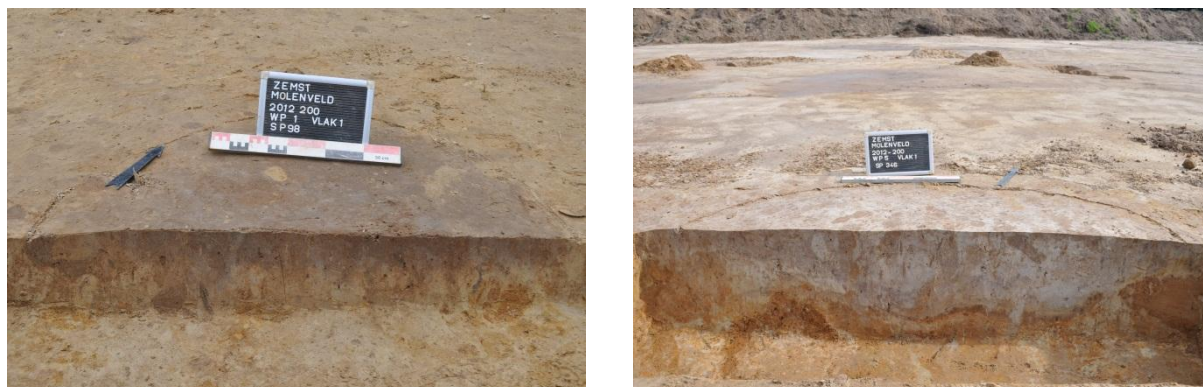


Fig. 35 en 36: Kuil S98 en kuil S346 in coupe.

Kuilen met een uitgesproken ovale tot langwerpige vorm zijn veelal in het westen gesitueerd (o.a. S253, S307, S346, S425). De lengte is minstens 1,5 m, de breedte 70 cm. De vorm in coupe is komvormig tot afgerond rechthoekig, waarbij het centrale deel iets dieper uitgegraven is en de wanden een lichte knik vertonen en iets steiler oplopen. Langwerpige kuilen zijn vaker beter bewaard of dieper ingegraven dan voorgaande categorie met dieptes die rond de 35 cm schommelen (fig. 36). De kuilen te Zemst-Molenveld zijn over het algemeen vondstarm en bevatten nauwelijks houtskool en andere verkoolde plantenresten. De kleur van de vullingen varieert van grijsbruin tot bruingrijs gevlekt in het noordoosten terwijl de kuilen in het westen eerder grijs tot witgrijs zijn. Bij deze laatste sporen is er vaak een horizontale gelaagdheid zichtbaar en ze vertonen dus gemiddeld genomen meer uitlogingsverschijnselen vertonen.

Centraal in het plangebied, tussen structuur 2 en de kleinere vierpalige structuren 10-13 ligt S271. De kuil, met afmetingen in het vlak van 1,5 op 1,3 m. bevatte veel houtskoolbrokken en rozeoranje gekleurd leem, hetgeen aanwijzingen zijn voor het gebruik als haard. In profiel was het spoor slechts enkele centimeters diep bewaard.



Fig. 37 en 38: Detail van de pot na vrijleggen (links) en coupe van de kuil S424 (rechts)

In de NW-hoek, in de noordelijke putwand van WP7, ligt kuil S424. Dit vage spoor, met een lichtgrijs gelaagde vulling (fig. 38), werd slechts herkend nadat tijdens het opschaven van het vlak een concentratie scherven opgemerkt werd. Deze bleken afkomstig van een volledig gedecoreerde pot uit de late-bronstijd. Het individu werd ondersteboven in de kuil aangetroffen waardoor rand, hals en schouder nog in één stuk bewaard waren (fig. 37). Overige bodem en wandfragmenten werden op de overgang tussen het archeologisch vlak en de bovenliggende akkerlaag verzameld.

Hoewel er ongetwijfeld bij de aanleg van het vlak door de kraan extra schade is aangebracht, moet de buik en bodem al doorspit zijn tijdens de aanleg van de middeleeuwse akkerlaag. Bovendien was het spoor en de pot licht doorworteld aangezien de kuil 1 m ten oosten van een haag gesitueerd was.

De overige kuilen in het plangebied waren vrij ondiep en bevatten nauwelijks vondsten.

4.6 Greppel

Er is te Zemst-Molenveld slechts 1 greppel (S183, S218, S292, S328, S384, S430) aangetroffen. De ZZW-ONO gerichte greppel loopt evenwijdig met de Barebeek. Ze is bewaard over een lengte van 65 m en doorkruist bijna het volledige plangebied.

In het westen bedraagt de bewaarde diepte ca 35 cm. In het oosten ter hoogte van WP3 is de greppel nog slechts enkele centimeters bewaard waarna hij volledig wordt opgenomen in de middeleeuwse akkerlaag.



Fig. 39 en 40: Dwarscoupe van de greppel (links) en lengtecoupe van de toegangspartij (rechts).

De wanden in dwarsdoorsnede zijn taps en de bodem is komvormig (fig. 39). De vulling is op sommige plaatsen homogeen grijs tot lichtgrijs gekleurd, op andere plekken is de vulling heterogener. De bovenzijde is dan vaak iets witter gekleurd dan de onderzijde die grijzer is. Soms is een horizontale gelaagdheid waarneembaar.

Enkele meters ten zuiden van structuur 5 is een, 6 m brede, toegang gesitueerd. In de coupes blijkt duidelijk dat de bodem van de greppel ter hoogte van de onderbreking steil omhoog loopt (fig. 40).

Ondanks dat de vulling van de greppel over de gehele lengte doorzocht en uitgeschaafd is, zijn er slechts enkele kleine fragmenten handgevormd aardewerk gerecupereerd.

4.7 Interpretatie

Algemeen kan gesteld worden dat de overgrote meerderheid van de sporen gesitueerd zijn in de ZW-NO gerichte zone, die 50 m breed is en ongeveer 75 m ten NW van de Barebeek ligt. Ten ZW hiervan was het terrein te nat en het is dan ook niet verwonderlijk dat behalve de waterput er slechts sporadisch paalsporen werden geregistreerd.

Bij de bespreking van de sporen en structuren is geen definitieve opsplitsing in hoofd- (of huis) en bijgebouwen (of schuur) gemaakt aangezien het in de huidige stand van het onderzoek quasi onmogelijk is om aan bepaalde gebouwtypes een functie toe te wijzen. Dit is voornamelijk het geval in de periode van de late bronstijd tot vroege ijzertijd, waarvan onderzoeksresultaten van grootschalig onderzochte nederzettingen schaars zijn. De beperkte grootte van het plangebied te Zemst-Molenveld draagt er ook toe bij dat erven niet volledig gevat zijn, waardoor een indeling op basis van een ruimtelijke analyse een zeer hypothetisch karakter bezit. Tenslotte kan niet zomaar besloten worden dat structuren die vormtypologisch onder dezelfde noemer ingedeeld worden, ook steeds eenzelfde functie gehad hebben. Het omgekeerde kan natuurlijk ook het geval zijn waarbij een verschillende vorm niet noodzakelijk een andere functie veronderstelt.

Structuur 1 kan wel met enige zekerheid als hoofdgebouw geïdentificeerd worden. Ondanks het fragmentarisch karakter vertoont het grondplan verschillende gelijkenissen met de plattegronden

van het type Oss-Ussen 4, of een variant¹³ ervan, waarvan algemeen aangenomen wordt dat het woonstalhuizen zijn. Dit zijn structuren met één rij middenstijlen die de constructie in twee beuken verdeelt, twee tegenover elkaar liggende ingangen in het midden van de lange zijden en dubbele palen in de wanden. Een onderscheid wordt gemaakt tussen type 4A waarvan de wandpalen alternerend opgesteld staan en type 4B waar een combinatie van alternerende en paarsgewijs opgestelde wandpalen voorkomen. De breedte van type Oss-Ussen 4 varieert van 5 tot 8 m, de lengte van 11 tot 18 m. Gebouwen van het type Oss-Ussen 4A (of type Haps) komen voor in de midden-ijzertijd en late ijzertijd, terwijl type 4B enkel in de late ijzertijd gedateerd wordt¹⁴. Bij dit type huisplattegronden is de plaats van de ingangen goed te herkennen aangezien deze steviger uitgevoerd werden en de middenstaanders vaak dieper ingegraven zijn. Omwille van de ligging van structuur 1 tegen de oostelijke grens van het plangebied is het duidelijk dat een groot deel van het bijbehorende erf niet gevat is. De 4-palige constructie structuur 8 en hoofdgebouw structuur 1 overlappen elkaar en kunnen dus niet gelijktijdig in gebruik zijn geweest. De zeer nabije ligging en andere oriëntatie van structuur 3 sluiten een gelijktijdige gebruiksfase met dit gebouw eveneens uit.

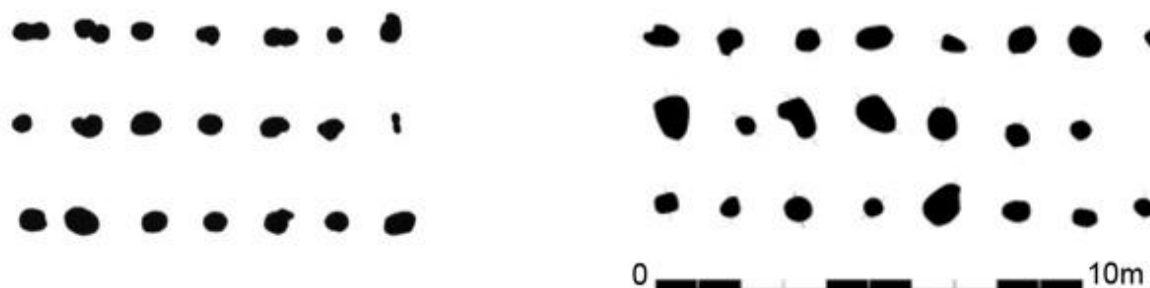


Fig. 41 en 42: S455 te Oss-Ussen (links) en gebouw 6 te Sint-Denijs-Westrem.

Parallellen voor structuur 2 zijn minder voorkomend. Een opvallend gelijkaardige constructie is aangetroffen op de terreinen van Flanders Expo Zone 1 te Sint-Denijs-Westrem¹⁵ (fig. 42). Deze tweeschepige constructie meet 11,5 m op 4 m en in de zuidoostelijke kopse kant ontbreekt eveneens een middenstaander. Op basis van het aardewerk wordt de structuur in de vroege ijzertijd gedateerd en een ¹⁴C-datering leverde een datering in de 9^{de} eeuw BC op. Op een eerdere noodopgraving van Flanders Expo werd ook al door Vermeulen en Bauters een gelijkaardige structuur opgegraven namelijk gebouw 1 dat in de overgang van late bronstijd naar vroege ijzertijd gedateerd wordt¹⁶. Bourgeois oppert de idee dat het mogelijk om een huis gaat¹⁷. Een gelijkaardig voorbeeld is ook uit Nederland bekend. Te Oss-Ussen wordt plattegrond S455 (fig. 41) door Schinkel onder het type IIB (3 rijen palen met een minimum aantal van 12 paalkuilen) van de graanschuren geplaatst. Het gebouw is echter niet gedateerd¹⁸.

¹³ Ondanks de tweebeukige indeling ter hoogte van de ingangspartij sluit niets natuurlijk uit dat bepaalde secties van het gebouw een 3- of 4- beukige indeling gehad hebben.

¹⁴ Schinkel 1998: 193.

¹⁵ Hoorne et al. 2009: 52-53 en fig. 62.

¹⁶ Bourgeois 1987: 19-20; Bourgeois 1991: 173-175.

¹⁷ Bourgeois 1987: 19-20; Bourgeois 1991: 173-175.

¹⁸ Schinkel 1998: 255-259.

Gedurende de late-bronstijd en vroege-ijzertijd zijn wel andere structuren bekend die als huisplattegrond geïnterpreteerd zijn namelijk huistypes Oss-Ussen 2A (late bronstijd) en Oss-Ussen 2B (vroege ijzertijd). Deze kennen een gedeeltelijk vierbeukige opbouw, ingangen in de lange zijde en de wanden worden gevormd door dicht bij elkaar geplaatste palen (2A) of een greppel (2B)¹⁹. Opmerkelijk is dat voorlopig enkel te Oss-Ussen een huisplattegrond van het type Oss-Ussen 2 in de onmiddellijke omgeving voorkomt van het graanschuurtype Oss-Ussen IIB, waar 70 m. ten westen van graansschuur S455, huis H112 gesitueerd is. Op de grondplannen van Oss-Ussen is ook te zien dat 150 m. ten noorden van huis H112, huis H133 ligt. Dit is ook een tweebeukige structuur met vergelijkbare afmetingen en 3 palenrijen, elk bestaande uit 8 palen²⁰.

Voorlopers van de zwaar gefundeerde tweebeukige structuren zijn ook teruggevonden te Sittard-Hoogveld waar een gelijkaardige constructie door middel van ¹⁴C-datering in de late bronstijd wordt geplaatst. Opvallend is het gegeven dat ook hier een verlatingsoffer in één van de paalkuilen werd aangetroffen²¹.

Aangezien een groot deel van de opgravingscampagnes veel kleinschaliger zijn dan deze van Oss-Ussen is het echter niet verwonderlijk dat beide types zelden op eenzelfde terrein voorkomen. Daarenboven lijkt structuur 2 te Zemst veel te zwaar gefundeerd te zijn om enkel het dak van een huis te dragen.

Wanneer de positie van structuur 2 ten opzichte van de andere erfelementen te Zemst bekeken wordt, is het duidelijk dat de plattegrond, ongeacht de functie, een belangrijke positie inneemt binnen het plangebied. Het gebouw, met mogelijke ingangspartij in het oosten, lijkt samen met de cluster bijgebouwen (structuur 10 tot en met structuur 15) één functionele eenheid te vormen. In de open ruimte ertussen bevindt zich haardkuil S271. De uitgevoerde ¹⁴C-datering (tussen 750 en 390 BC) sluit een datering in de vroege ijzertijd niet uit, maar de piek zit toch duidelijk tussen 560 en 390 BC in de midden-ijzertijd.

Voor de interpretatie van structuur 3 zijn er gelijkaardige problemen. De oriëntatie loopt min of meer evenwijdig met structuur 2 en de vormelijke kenmerken van de paalsporen vertonen ook veel gelijkenissen met voorgaande structuur. Eénbeukige structuren met meer dan 8 palen worden voornamelijk in de late bronstijd tot vroege ijzertijd aangetroffen. Voorbeelden uit de vroege ijzertijd zijn o.a. bekend uit Ittervoort²² en Westrik²³. In Ittervoort wordt structuur 1 op basis van de ceramiek gedateerd tussen 725 en 575 BC, hetgeen goed overeenkomt met de uitkomst van de AMS-datering te Westrik namelijk 770-400 BC. Huis 14, huis 30 en structuur 148 te Breda worden eveneens in de vroege ijzertijd gedateerd, alhoewel deze dateringen gebaseerd zijn op typologische vergelijking en een selectie scherven²⁴. Te Brecht-Hanepad wordt de 10-palige structuur S11 op basis van het aardewerk in de midden-ijzertijd geplaatst²⁵ en deze datering sluit ook aan op de uitgevoerde ¹⁴C-datering van structuur 3 (tussen 530 en 380 BC).

Voor de 10-palige structuren worden uiteenlopende interpretaties voorgesteld gaande van spiekers, schuren, tot huisplattegronden²⁶. Indien structuur 3 niet als een schuur of grotere opslagplaats

¹⁹ Schinkel 1998: 190-191.

²⁰ Schinkel 1998: map 1 sheet 6. Deze sectie van de opgraving wacht echter nog op publicatie zodat geen verdere info over structuur H133 voorhanden is behalve het grondplan.

²¹ Arnoldussen 2008: 226-227.

²² Heijmans et al. 2007: 113-115 en afb. 22.

²³ Kranendonk et al. 2006: 446-447.

²⁴ Koot & Berkvens 2004: 105, 113, 128-129.

²⁵ Verbeek et al. 2004: 127.

²⁶ Heijmans et al. 2007: 116-117, Koot & Berkvens 2004: 105 en 113, Schinkel 1998: 67-68 en 162.

geïnterpreteerd moet worden, bestaat de mogelijkheid dat het in feite om een driebeukige plattegrond gaat met 2 rijen middenstaanders en wandpartijen die niet meer bewaard zijn.

Eénbeukige gebouwen met 8 palen komen ook vaker voor op verschillende sites van de bronstijd tot de ijzertijd. Doordat de aandacht vaker opgeëist wordt door de grotere hoofdgebouwen, zijn vele ervan niet gedateerd. Uit de dateringen die wel bekend zijn, blijkt dat ze in de late ijzertijd nauwelijks voorkomen. Voorbeelden uit de vroege ijzertijd zijn onder andere structuur 2 te Ittervoort²⁷, structuur S10 te Loenhout-Tommelberg²⁸, structuur A te Erps-Kwerps²⁹ en te Oss-Ussen³⁰ waar het enige gedateerde voorbeeld in de vroege ijzertijd geplaatst wordt. Op basis van het aardewerk wordt te Brecht-Overbroek³¹ een 8-palige structuur in de midden-ijzertijd geplaatst. De achtpalige structuren worden als bijgebouw geïnterpreteerd. Een gebruik als huis is uitgesloten omwille van de perifere ligging ten opzichte van duidelijke activiteitenzones (palenclusters) en de oppervlakte te klein is om een uitgebreide familie te huisvesten. Tenslotte is in geen van de 8-palige structuren een behoorlijke hoeveelheid aardewerk gevonden.

Kleinere constructies zoals 4- en 6-palige structuren komen gedurende de hele ijzertijd voor. Voor de 6-palige structuren zijn de resultaten van Oss-Ussen van belang. Van de 21 gedateerde 6-palige structuren dateren er 11 uit de late ijzertijd³². Gezien de ligging en oriëntatie van structuur 7, ten zuidwesten en min of meer evenwijdig aan structuur 1 behoort een gelijktijdige datering tot de mogelijkheden. Deze vier- tot zespalige structuren kunnen gebruikt zijn als spiekers of graanschuurtjes. Andere interpretaties, waaronder mijten (die geen verhoogde vloer bezitten) en kleine gebouwtjes met rituele functie enz..., zijn niet uit te sluiten.

Te Zemst-Molenveld komen geen 'silo-achtige' kuilen voor. Dit zijn vrij diepe cilindervormige of kegelvormige (in profiel) kuilen die werden gebruikt om losgestort graan ondergronds en luchtdicht te bewaren. De reden voor het ontbreken van deze kuilen kan de hoge vochtigheid van de bodem zijn, aangezien een ondergrondse bewaring van graan een droge zuurstofarme omgeving vergt. Mogelijk zijn deze kuilen dus wel op een hoger gedeelte van het terrein meer naar het noorden of noordoosten gesitueerd. Van de kuilen die wel zijn aangetroffen is de functie niet te achterhalen. Geen enkele heeft bovendien een secundaire functie als afvalkuil gekend aangezien er nauwelijks materiaal in gedeponeerd werd.

Greppel 1 kan een functie als afwateringsgreppel of erfgreppel (of een combinatie van beide) gekend hebben. Wat de datering betreft, is bij gebrek aan vondsten de ligging en oriëntatie ten opzichte van de verschillende structuren belangrijk. De greppel loopt parallel met de Barebeek en structuur 1. Indien de greppel in oostelijke richting in dezelfde richting zou verderlopen dan zou deze 1 tot 2 m ten zuiden van de huisplattegrond liggen. De zuidelijke toegang tot het huis zou dan krap bemeten zijn maar niet onmogelijk. Indien structuur 16 en structuur 2 (samen met structuren 10 tot en met 15) gelijktijdig gefunctioneerd hebben, hetgeen waarschijnlijk is op basis van hun positie en oriëntatie, dan zou greppel 1 deze functionele eenheid doorsnijden. De resultaten van de

²⁷ Heijmans et al. 2007: 113-115 en afb. 23.

²⁸ Verbeek et al. 2004: 117-119.

²⁹ Hoorne & Sturtewagen: 2006, Hoorne et al. 2009a.

³⁰ Schinkel 1998: table 30.

³¹ Gautier & Annaert 2006: 13-14.

³² Schinkel 1998: table 30.

toekomstige opgravingscampagne ten westen van het huidige plangebied zouden echter tot een beter beeld moeten leiden.

Hoewel in de ijzertijd waterputten met een vlechtwerk-constructie eerder regel dan uitzondering zijn,³³ is de tapse vorm met gevlochten bodem te Zemst-Molenveld een bijzondere variant, aangezien overige manden meestal cilindervormig zijn en geen bodem bezitten. De ceramiek, die in de midden-ijzertijd of late ijzertijd gedateerd wordt, is jammer genoeg niet afkomstig uit de kern maar uit de opvullingslagen. Toch sluit deze vrij goed aan bij de ¹⁴C-datering die een resultaat tussen 370 en 190 BC opleverde.

³³ Type I.2 volgens Hoorne 2004.

Hoofdstuk 5 De vondsten

Marjolijn De Puydt, Yvonne de Rue & Maarten Smeets

In totaal werden in 68 sporen vondsten gedaan en daarbuiten zijn er nog 17 losse vondsten gedaan. Het totale aantal ingezamelde vondsten bedraagt 583. Hiervan zijn er 524 aardewerkvondsten (89,9 %), 24 fragmenten bouwceramiek (4,1 %), 12 metaalfragmenten (2,1 %), 11 silex (1,9 %), 7 natuursteenfragmenten (1,2 %) en 3 houtfragmenten (0,5 %).

Er werden in de sporen 475 ijzertijdscherven, 5 Romeinse scherven en 2 (post)middeleeuwse scherven opgegraven. Het aanwezige ijzertijdaardewerk werd teruggevonden in sporen 15, 24, 25, 36, 37, 38, 46, 53, 64, 65, 66, 69, 80, 81, 83, 84, 86, 88, 89, 93, 95, 96, 98, 99, 109, 115, 116, 123, 130, 137, 153, 160, 163, 170, 176, 179, 183, 184, 192, 198, 204, 209, 210, 211, 212, 218, 253, 257, 277, 321, 325, 326, 338, 340, 341, 342, 350, 353, 356, 384, 424. In sporen 87 en 104 bevond zich het Romeinse aardewerk. Het (post)middeleeuwse aardewerk werd in spoor 87 opgegraven. Er zijn in totaal 42 scherven gevonden tijdens de aanleg van de werkputten die niet konden gelinkt worden aan een spoor. De grote meerderheid (36 scherven; 85,7 %) zijn handgevormd en dateren vermoedelijk uit de ijzertijd. Verder zijn er nog 4 scherven (post-)middeleeuws aardewerk aangetroffen en 2 scherven met onzekere datering.

5.1 Ceramiek

In totaal zijn er 511 ijzertijdscherven gevonden. Het aardewerk omvat 18 randfragmenten, 12 bodemfragmenten en 1 archeologisch volledige pot. Alle overige scherven zijn wandfragmenten of niet determineerbare kleine fragmenten.

De meerderheid van het aardewerk is gebruiksaardewerk dat wellicht lokaal vervaardigd is. Het relatief hoge aandeel verzorgd (geglad en ruwwandig) aardewerk wijst er op dat het om nederzettingsafval gaat.

5.1.1 Technische kenmerken

Het lokaal vervaardigde aardewerk werd in vijf groepen ingedeeld naargelang de afwerking van de wand: ruw (184 scherven; 36%), geglad (160 scherven; 31,3 %), versierd (122 scherven; 23,9 %), besmeten aardewerk (31 scherven; 6,1%) en onbepaald (14 scherven; 2,8 %). Er was 1 scherv in spoor 342 dat gedeeltelijk besmeten en gedeeltelijk geglad was. Deze scherv is ondergebracht in de groep besmeten aardewerk. De grote hoeveelheid versierd aardewerk is te verklaren door het versierde aardewerk aangetroffen in spoor 424. Het betreft hier 118 scherven die samen een archeologisch volledige pot vormen.

Het bestuderen van de inclusies in het baksel gebeurde met het blote oog, zodat slechts oppervlakkige waarnemingen mogelijk waren. Als verschalingsmateriaal werd vooral potgruis gebruikt. Daarnaast werd Brusselse kalksteen en zand ook gebruikt maar in veel mindere mate. Er is vrij weinig variatie in het gebruikte verschalingsmateriaal, slechts in 14 van de 449 ijzertijdscherven aangetroffen in sporen is er geen potgruis aangetroffen. Hierdoor kan er op basis van de verschalings geen duidelijke groepen onderscheiden worden.

Van de 511 scherven waren er 18 te fragmentair om de wanddikte te bepalen. Voor de overige 493 scherven heeft 89,5 % een wanddikte tussen de 0,6 en de 1,2 cm.

De kleur van de buitenwand is meestal niet uniform en varieert van zeer donkergrijs tot lichtbruin en oranje. Dergelijke variatie is typisch voor aardewerk gebakken in veldoventjes waar de zuurstoftoevoer niet gecontroleerd verloopt.

5.1.2 Typologische aspecten

Er wordt gebruik gemaakt van de typologie opgesteld door van den Broeke voor het ijzertijdaardewerk gevonden op de Noord-Brabantse 5NL) site 'Hooiconksche Akkers'³⁴. Alle hierna vernoemde types zijn overgenomen uit dit werk.

Bodems

Van den Broeke beschrijft twee bodemtypes. Alle 12 bodemfragmenten behoren tot bodemtype A waarbij een duidelijke knik aanwezig is op de overgang tussen wand en bodem (fig. 44). Één bodemfragment uit spoor 160 laag 2 (fig. 43) had een duidelijke knik tussen wand en bodem, net als de andere bodems, maar de bodem zelf was niet volledig vlak.



Fig. 43: Bodemfragment van type A uit spoor 160 laag 2.

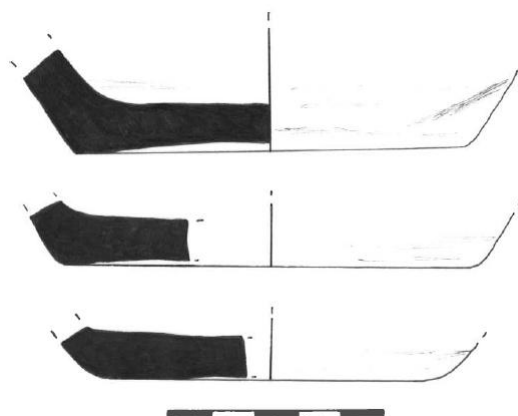


Fig. 44: Bodemfragment van bodemtype A uit spoor 341 (boven), spoor 218 (midden) en spoor 342 (onder).

³⁴ van den Broeke 1980.

Type B wordt gekenmerkt door een vloeiende overgang naar de wand, dit type is niet aangetroffen in het aanwezige materiaal. Dit kan zijn omdat het type niet aanwezig was op de site of omdat het aardewerk te gefragmenteerd is om het type te herkennen.

Twee bodemfragmenten verdienen nog extra uitleg. LV2-CE-01 (fig. 45) is vermoedelijk een hoge pot. Dit exemplaar was licht besmeten. Ook een bodemfragment uit spoor 342 (fig. 46) was licht besmeten. Het gaat hier vermoedelijk om een schaal. Er is niet genoeg bewaard van beide fragmenten om iets te zeggen over het type.

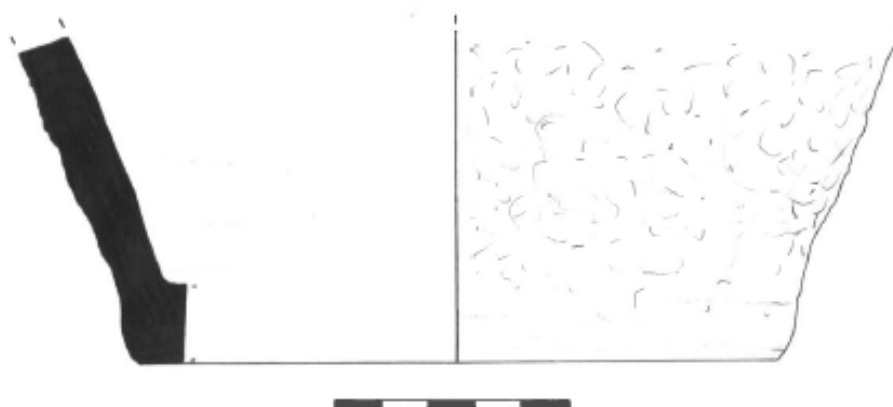


Fig. 45: Bodemfragment LV2-CE-01

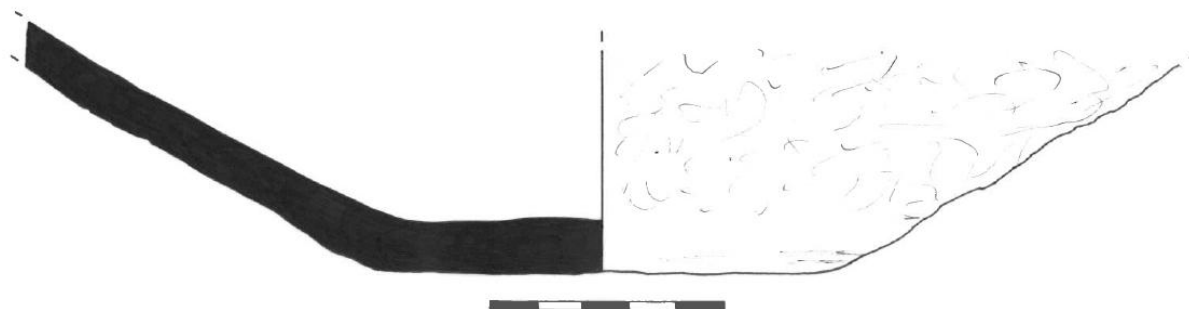


Fig. 46: Bodemfragment uit spoor 342.

Randen en randversiering

De randen zijn (afgerond) plat of rond. Er is versiering aangetroffen op 4 verschillende randen. Het betreft hier in alle 4 de gevallen om vingertopindrukken bovenop de rand (fig. 47). Bij één van deze randen was de buitenwand geglad, de andere 3 hadden een ruwe buitenwand.

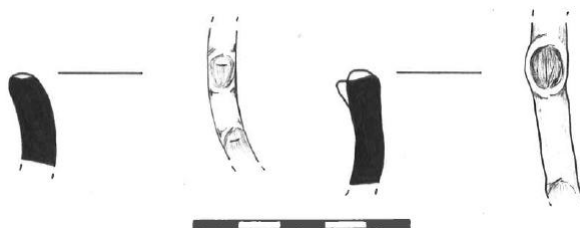


Fig. 47: Versierde randfragmenten uit structuur 2: spoor 338 (links) en spoor 335 (rechts).

Potvorm

Van den Broeke onderscheidt drie hoofdgroepen met telkens verdere verdeling. In totaal waren er 14 randfragmenten waarvan het type kon worden bepaald (fig. 48). De overige randscherven zijn te klein om ze aan een bepaald type pot te kunnen toewijzen.

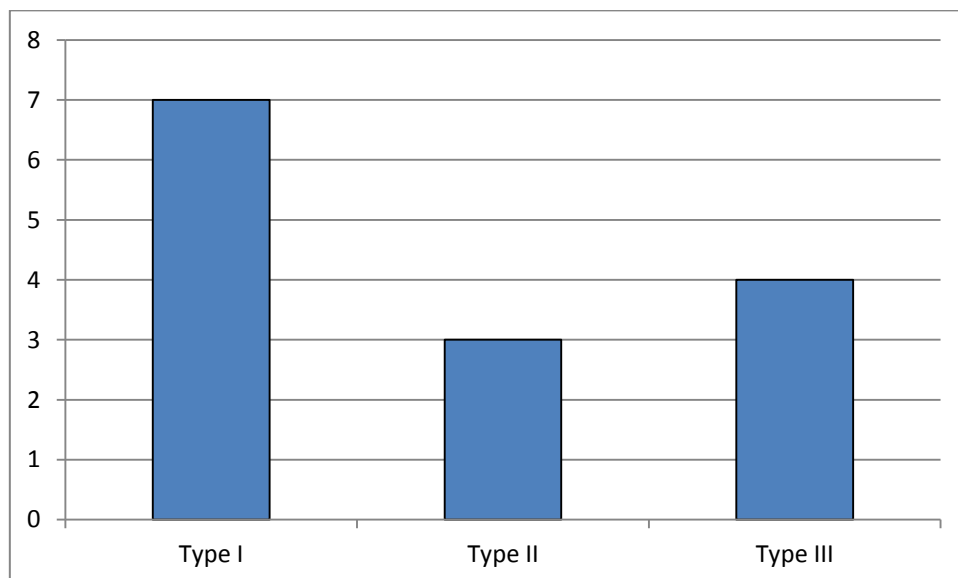


Fig. 48: Verdeling van de randfragmenten per hoofdgroep.

Type I: Open potten

Een open potvorm wordt gedefinieerd door de afwezigheid van een naar binnen gericht bovendeel, met andere woorden zonder hals. Type I wordt verder onderverdeeld in 4 subtypes. Er zijn 7 randfragmenten die aan dit criteria voldoen. Van deze 7 randfragmenten zijn er 2 die te klein zijn om het subtype te bepalen. Het betreft hier 2 ruw gelaten randscherven, één uit spoor 37 en één uit spoor 160 laag 1.

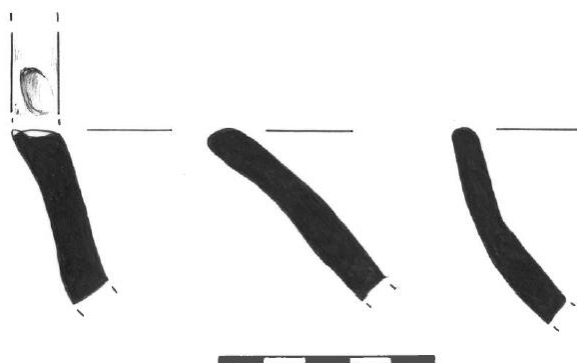


Fig. 49: Randfragmenten van type Ib3 uit spoor 86 (links), LV6 (midden) en uit spoor 352 (rechts).

Ib Schalen, kommen en hoge potten zonder duidelijke knik of teruggebogen rand. Van den Broeke deelt dit type verder onder in 6 varianten. Een randfragment uit spoor 160 laag 3 zou variant Ib2,

een kleine schaal met lange, licht convexe wanden, kunnen zijn. Maar het zou ook variant Ib3, een grote schaal of kom met rechte tot licht convexe wanden kunnen zijn. Het randfragment is echter te klein om met zekerheid te bepalen om welke van de 2 variaties het gaat. Dit fragment was ruw gelaten.

Verder zijn er 3 randfragmenten aangetroffen die met zekerheid bij variant Ib3 kunnen ingedeeld worden. Het betreft hier een randscherf uit spoor 86, een randscherf uit spoor 352 en LV6 (fig. 49). Deze fragmenten zijn te klein om iets te zeggen over de grootte en de proporties van de pot. Het fragment uit spoor 86 was versierd met vingertopindrukken en de wanden waren ruw gelaten. LV6 was eveneens ruw gelaten. Het fragment uit spoor 352 daarentegen was geglad.

Dit type wordt vaak aangetroffen in vroege-ijzertijd urnenvelden³⁵ maar werd ook vaak aangetroffen op midden-ijzertijdsites zoals Vinderhoute-Molenbrug³⁶, Lede-Leedschouwken³⁷, Spiere-De Hel³⁸, Kuntich-Medekensveld³⁹, Kontich-Blauwesteen⁴⁰, Kontich-Babbelkroonbeek⁴¹, Brecht-Overbroek⁴², Veldwezelt-Heserstraat⁴³, Haps⁴⁴ en Maastricht-Randwijck⁴⁵.

Id Schalen en kommen met een naar buiten gebogen rand. Dit type wordt door van den Broeke nog eens onderverdeeld in 2 varianten. Een hoge schaal met een licht naar buiten gebogen rand en een convexe wand (type Id2) werd aangetroffen in spoor 341 laag 1 (fig. 50). Dit type heeft normaal een ronde bodem. Deze schaal was ruw gelaten. Type Id2 werd aangetroffen in midden-ijzertijd sites te Kontich-Blauwesteen⁴⁶, Brecht-Overbroek⁴⁷, Veldwezelt-Heserstraat⁴⁸, Kuntich-Medekensveld⁴⁹ en te Zele⁵⁰.

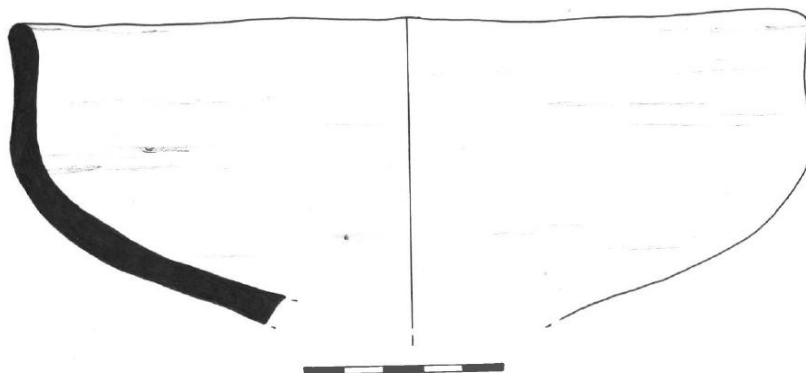


Fig. 50: Fragment type Id2 uit spoor 341.

³⁵ van den Broeke 1980: 49.

³⁶ Bourgeois e.a. 1987: fig. 34, 1-2.

³⁷ De Swaef & Bourgeois 1986: fig. 9, 10-13.

³⁸ Delaruelle 2001: fig. 9, 204 en fig. 10, 224.

³⁹ Smeets & Vansweevelt 2009, fig. 4, 11 en fig. 4, 9.

⁴⁰ Verbeeck 2001/2002: fig. 11, 1-3.

⁴¹ Smeets 2011: 24.

⁴² Gautier & Annaert 2006: fig. 15, 5 en fig. 15, 7.

⁴³ Vander Ginst, Smeets & Deville 2010: 18.

⁴⁴ Verwers 1972: fig. 60.

⁴⁵ Dijkman 1989: fig. 9, 57 en fig. 13, 75.

⁴⁶ Verbeeck 2001/2002: fig. 11, 6-7.

⁴⁷ Gautier & Annaert 2006: fig. 15, 12-14.

⁴⁸ Vander Ginst, Smeets & Deville 2010: 19.

⁴⁹ Smeets & Vansweevelt 2009: fig. 4, 10 en 13.

⁵⁰ Bourgeois e.a. 2003: fig. 8, 1.

Type II: Gesloten potten met naar binnen gerichte rand

Er werden 3 randfragmenten aangetroffen die bij dit type ondergebracht kunnen worden.

Ila Kommen en hoge potten met ronde overgang van buik naar schouder. Dit type is verder onderverdeeld in 4 varianten, 1 of 2 van deze 4 varianten werden effectief aangetroffen.

Type Ila1 leunt sterk aan bij type Ila3. Type Ila1 zijn kleine kommen met een steile wand en type Ila3 zijn vrijwel emmervormige hoge potten met een lange, bijna rechte, steile buik en een korte, iets schuin naar binnen gebogen schouder. Een rand aangetroffen in spoor 98, een rand aangetroffen in spoor 350 (fig. 51) en een rand aangetroffen in de eerste laag 1 van de waterput, spoor 160, (fig. 52) behoren tot één van deze twee varianten. Deze fragmenten zijn echter te klein om precies te bepalen welke van de twee. Alle fragmenten van dit type waren ruw gelaten.

Kommen en hoge potten van het type Ila komen veelvuldig voor op onder andere de midden-ijzertijdsites *Lede-Schouwken*⁵¹, *Zelee*⁵², *Vinderhout-Molenbrug*⁵³, *Vlijtingen*⁵⁴, *Heffen*⁵⁵, *Rosmeer-Diepestraat*⁵⁶, *Wijnegem-Ganzenweg*⁵⁷, *Brecht-Overbroek*⁵⁸, *Rosmeer-Staberg*⁵⁹, *Maastricht-Randwijck*⁶⁰, *Wommelgem-De Keer*⁶¹, *Wijnegem-Brem*⁶², *Halle I*⁶³, *Kontich-Blauwesteen*⁶⁴, *Veldwezelt-Heserstraat*⁶⁵, *Kumtich-Medekensveld*⁶⁶ en *Haps*^{67,68}, maar evenzeer nog op de late ijzertijdsites *Oelegem III*⁶⁹, *Wijnegem I*⁷⁰ en *Kontich-Alfsberg*⁷¹.

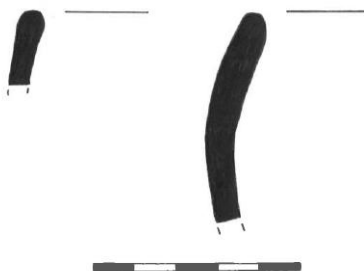


Fig. 51: Randfragmenten type Ila1 of Ila3 aangetroffen in spoor 98 (links) en spoor 350 (rechts).

⁵¹ De Swaef & Bourgeois 1986: fig. 11, 14, fig. 12 en fig. 13, 1-2 en 4.

⁵² Bourgeois e.a. 2003: fig. 7, 4-6.

⁵³ Bourgeois e.a. 1987: fig. 26, 10-13 en fig. 27, 10.

⁵⁴ Vanderhoeven 1978: fig. 18.

⁵⁵ Van Doorselaer 1965: fig. 12, 88-94 en fig. 14, 221 en 223.

⁵⁶ De Boe & Van Impe 1979: fig. II, 1-2 en 5-7, fig. III, 53-55, fig. IV, 97-99 en fig. V, 87.

⁵⁷ Cuyt 2002: fig. 3, 5.

⁵⁸ Gautier & Annaert 2006: fig. 17, 12-14.

⁵⁹ Roosens & Lux 1969: fig. IV, 1, fig. VII, 1-10, fig. VIII, 19, 23-27 en 29-30 en fig. IX, 46.

⁶⁰ Dijkman 1989: fig. 5, 36, fig. 8, 47-49, fig. 11, 65, fig. 12, 74 en fig. 23, 3.

⁶¹ Fremault 1969: fig. 1, 5, fig. 5, 35 en 42, fig. 6, 46, 49-50 en 52, fig. 7, 56 en 148-149 en fig. 8, 151-154.

⁶² Fremault 1969: fig. 22, 34 en 41, fig. 24A, 93-95.

⁶³ Fremault 1969: fig. 43, 30, 32 en 41-42 en fig. 44, 44-45.

⁶⁴ Verbeeck 2001/2002: fig. 12, 1-4.

⁶⁵ Vander Ginst, Smeets & Deville 2010: 20.

⁶⁶ Smeets & Vansweevelt 2009: fig. 5, 4.

⁶⁷ Verwers 1972: fig. 23, 156 (1), fig. 53, 435 en fig. 60.

⁶⁸ Verwers 1972: fig. 23, 156 (1), fig. 53, 435 en fig. 60.

⁶⁹ Fremault 1969: fig. 24B, 10 en fig. 26, 17, 21, 24 en 26.

⁷⁰ Fremault 1969: fig. 31, 46.

⁷¹ Annaert 1993: fig. 21.

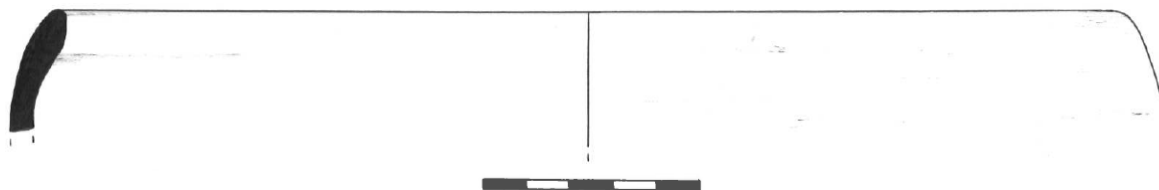


Fig. 52: Randfragment type IIa1 of IIa3 aangetroffen in spoor 160 laag 1.

Type III: Gesloten potten met opstaande of naar buiten gerichte rand

Er zijn 5 randfragmenten die bij type III kunnen onderverdeeld worden. De versierde randscherf uit spoor 335 (fig. 47) behoort tot dit type maar is te klein om te bepalen tot welke variant het behoort. Ook het met ingedrukte vingertoppen versierde randfragment aangetroffen in spoor 342 (fig. 53) is te klein om een exacte variant te bepalen. Dit fragment toont gelijkenissen met *Harpstedter Stil*, een vorm die vooral voorkomt in de vroege-ijzertijd⁷².

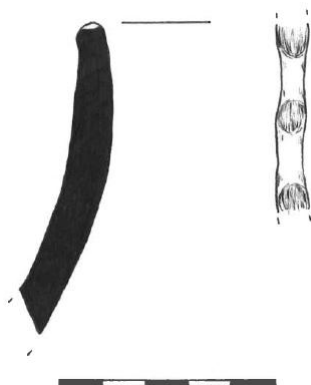


Fig. 53: Fragment type III uit spoor 342.

IIIb Hoge schalen en lage kommen met min of meer geknikte overgang van buik naar schouder, met uitstaande rand of korte hals. Op een rechte tot licht convexe buik volgt een scherpe knik of een sterke ronding en meestal een zeer korte schouder. De overgang van de schouder naar de uitstaande rand of korte hals is eveneens scherp of sterk afgerond. Een randscherf aangetroffen in spoor 342 (fig. 54) heeft dergelijke sterk afgeronde overgang van buik naar schouder en van schouder naar rand. Dit fragment was geglad.



Fig. 54: Randfragment type IIIb aangetroffen in spoor 342.

⁷² van den Broeke 1980: 109.

Hoge schalen en lage kommen van het type IIIb komen veelvuldig voor op onder andere de midden-ijzertijdsites *Vinderhoute-Molenbrug*⁷³, *Wijnegem-Ganzenweg*⁷⁴, *Brecht-Overbroek*⁷⁵, *Wommelgem-De Keer*⁷⁶, *Wijnegem-Brem*⁷⁷, *Maastricht-Randwijck*⁷⁸, en *Haps*^{79,80}, maar evenzeer nog op de late ijzertijdsites *Oelegem III*⁸¹ en *Kontich-Alfsberg*⁸².

IIIc Kommen en/of hoge potten met geknikte overgang van buik naar rechte schouder en verticale tot uitstaande rand of korte hals. De buik is vrijwel recht en gaat via een knik over in een meestal korte schouder. De overgang naar de hals of rand verloopt doorgaans eveneens via een knik. Een ruw gelaten randscherf, aangetroffen in spoor 160 laag 2 (fig. 55) behoort tot dit type, evenals een geglad exemplaar uit spoor 342 (fig. 56). Hoewel beide fragmenten tot hetzelfde type behoren zijn er toch verschillen. Zo heeft het fragment uit spoor 160 laag 2 geen hals maar is de rand rechtstreeks op de schouder geplaatst. Het vertoont sterke gelijkenissen met een fragment aangetroffen te *Knesselare-Hoekestraat*⁸³. Dit exemplaar wordt geplaatst in de vroege La Tène periode⁸⁴. Het randfragment uit spoor 342 vertoont dan weer sterke gelijkenissen met een exemplaar gevonden te *Flanders-Expo* waar dit exemplaar wordt gedateerd in de vroege-ijzertijd⁸⁵.

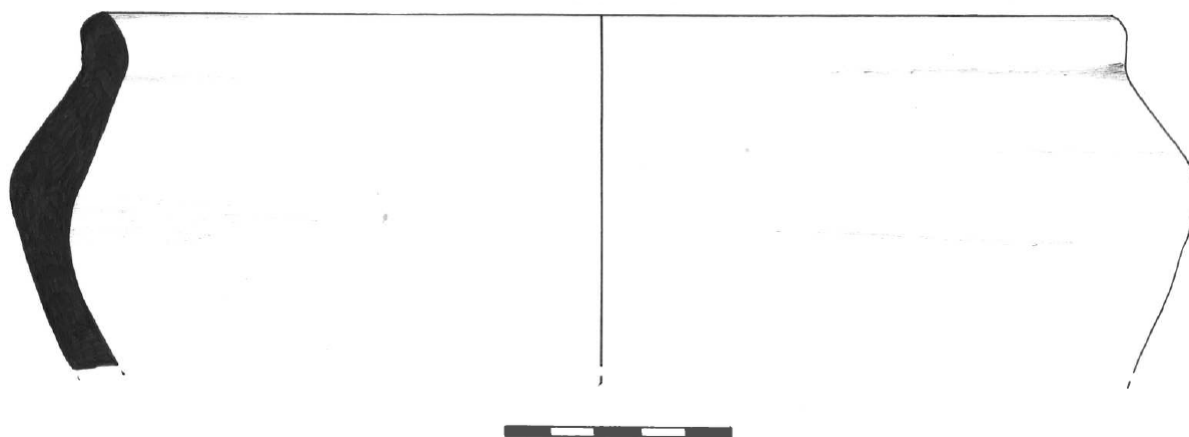


Fig. 55: Randfragment type IIIc2 aangetroffen in spoor 160 laag 2.

⁷³ Bourgeois e.a. 1987: fig. 25, 6.

⁷⁴ Cuyt 2002: fig. 3, 2-3.

⁷⁵ Gautier & Annaert 2006: fig. 17, 12-14.

⁷⁶ Fremault 1969: fig. 3, 16.

⁷⁷ Fremault 1969: fig. 21, 14-15.

⁷⁸ Dijkman 1989: fig. 2, 19, fig. 9, 51-52 en fig. 20, 8.

⁷⁹ Verwers 1972: fig. 53, 87 en 412.

⁸⁰ Verwers 1972: fig. 53, 87 en 412.

⁸¹ Fremault 1969: fig. 24B, 11.

⁸² Annaert 1993: fig. 22a, 1.

⁸³ Schynkel e.a. 2009: fig. 42.

⁸⁴ Schynkel e.a. 2009: 39.

⁸⁵ Hoorne e.a. 2009: 80, fig. 117.

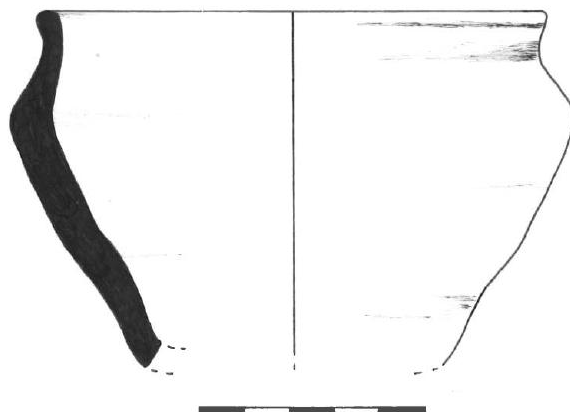


Fig. 56: Randfragment type IIIc2 aangetroffen in spoor 342.

5.1.3 Datering van het aardewerk

Een schema voor het dateren van ijzertijdaardewerk uit Zuid-Nederland werd opgesteld door van den Broeke aan de hand van gegevens uit de grootschalige opgravingen te Oss-Ussen⁸⁶. Dat dit schema bruikbaar is voor ijzertijd sites in Vlaanderen blijkt uit de resultaten van de opgraving te Brecht-Overbroek⁸⁷. Helaas zijn geen van de types die vertegenwoordigd zijn in *Zemst-Molenveld* bruikbaar voor datering. Type Ib3, waarvan er 4 fragmenten zijn aangetroffen, is teruggevonden in vroege-ijzertijd, midden-ijzertijd en late-ijzertijd context. De frequentie van bepaalde types ten opzichte van andere types kan gebruikt worden als dateringsmiddel⁸⁸. In *Zemst-Molenveld* zijn er slechts 14 min of meer determineerbare exemplaren aanwezig. Het aandeel van type I is ten opzichte van type II en III groter. Type I komt iets vaker voor in de vroege-ijzertijd dan in de latere periodes. Het kleine aandeel potten van type III is niet typisch voor vroege-ijzertijd maar eerder voor de midden-ijzertijd. Dit aantal is echter te weinig om definitieve conclusies uit te trekken. Aangezien de types alleen niet voldoende zijn om het complex te dateren moet er naar andere, meer technische, aspecten gekeken worden.

Een eerste indicatie is de verhouding tussen besmeten en onbesmeten scherven. Het percentage besmeten scherven neemt toe gedurende de vroege ijzertijd en blijft voor de hele midden-ijzertijd hoog om tijdens de late ijzertijd weer geleidelijk af te nemen⁸⁹. Te *Zemst-Molenveld* is op een totaal van 511 scherven 6,1% besmeten. Zelfs als de onbepaalde scherven in beschouwing wordt genomen is het percentage besmeten scherven eerder laag.

Er zijn 4 fragmenten versierd aardewerk aangetroffen. Alle fragmenten waren randfragmenten versierd met vingertopindrukken. Vingertop- en nagelindrukken komen vooral in de vroege-ijzertijd en de late-ijzertijd. Andere versiering zoals kamstreken die vooral voorkomen in de midden-ijzertijd en groeven die vooral voorkomen in de late-ijzertijd⁹⁰ zijn niet aangetroffen te *Zemst-Molenveld*.

Op basis van het aardewerk kan *Zemst-Molenveld* gedateerd worden in de IJzertijd. Een preciezere datering is niet mogelijk aan de hand van het aangetroffen aardewerk.

⁸⁶ van den Broeke 1987: 32-33.

⁸⁷ Gautier & Annaert 2006.

⁸⁸ van den Broeke 1987: 32 afb. 5b.

⁸⁹ van den Broeke 1987: 32 afb. 5a.

⁹⁰ van den Broeke 1987: 32 afb. 5d

5.1.4 Een archeologisch volledige pot uit de bronstijd (fig. 57, 58 en 59)

In spoor 424 werd een archeologisch complete pot aangetroffen. De pot betrof de enige vondst uit dit spoor. Hij werd ondersteboven terug gevonden, waarbij hij licht naar één kant helde. Hoewel nu gebroken, was de pot volledig en is hij waarschijnlijk intact in de kuil terecht gekomen. Het betreft dus niet een kapotte pot die na het breken werd afgedankt en weggegooid in de kuil. De pot is dus ofwel per ongeluk in de kuil terecht gekomen, of waarschijnlijker, daar intentioneel in geplaatst. Hoe de opvulling van de kuil is gebeurd is niet geheel duidelijk, maar aangezien de vulling van de kuil zeer homogeen was, waren er geen sporen van geleidelijke opvulling. Doordat de pot tijdens de opgraving door de graafmachine werd geraakt, is een deel van de pot helaas verloren gegaan. Ongeveer de helft is bewaard. Het stuk is archeologisch compleet en bestaat uit 118 scherven.

Het betreft een pot uit de vroege bronstijd⁹¹, maar exacte parallellen zijn zeer zeldzaam. Het gaat om een handgevormde pot van bijna 39 cm hoog en een randdiameter van 25 cm. Gezien deze vrij grote afmetingen is de bodemdiameter uitzonderlijk klein: 8,3 cm. De pot heeft een eenvoudige, afgeronde, onverdikte rand. De rand is recht en staat licht uit en gaat geleidelijk over in een lichte insnoering ter hoogte van de hals, waarna de wand weer geleidelijk overgaat in een duidelijke schouder op circa 13 cm onder de rand. Ter hoogte van de schouder is de diameter van de pot net iets groter dan ter hoogte van de rand. De schouder is duidelijk maar vertoont geen scherpe knik. Vanaf de schouder versmalt de pot met een lichte bolling naar de kleine vlakke bodem, die zeer licht naar buiten uitsteekt. De pot heeft een elegante, evenwichtige vorm en is met zorg afgewerkt. Het oppervlak en de vorm vertoont slechts zeer kleine onregelmatigheden. Ook de wanddikte is regelmatig. Van de rand tot voorbij de schouder is de wanddikte ongeveer 9 mm, om dan naar onderen toe licht te verdunnen. De bodem is 10 tot 11 mm dik.

De pot is handgevormd. Het is niet onmiddellijk duidelijk met welke vormingstechniek (uit een bal, uit kleiplakken, uit kleiworsten, etc). Er zijn geen breuken waarin de opbouw duidelijk te zien is. Aan de binnenzijde van de pot zijn nog lichte sporen van vingerindrukken van het vormen van de pot zichtbaar. Aan de buitenzijde is dit niet het geval. De buitenzijde van de pot is geglad voordat de decoratie werd aangebracht. De top van de rand is niet gedecoreerd. Net onder de rand aan de buitenzijde is een band van dubbele nagelindrukken aangebracht. Hierbij worden met opponerende duim en wijsvinger nagelkneepjes gemaakt. Dit resulteert in een patroon van nagelindrukken die per twee indrukken gegroepeerd zijn. Het feit dat bij deze duo's de indrukken aan de bovenzijde van de indrukken dicht bij elkaar staan dan onderaan, wijst erop dat de pot rechtop stond toen de pot werd gedecoreerd, en niet onderste boven. Zowel de hoeken van de indrukken als de diepte ervan, wijzen in de richting van het gebruik van de rechterhand voor het aanbrengen van de kneepjes en dus waarschijnlijk naar een rechtshandige persoon⁹².

De band met nagelindrukken is ongeveer 4 cm breed. Op het grootste gedeelte van deze band staan drie dubbele indrukken boven elkaar, maar een gedeelte van de band heeft slechts 2 dubbele indrukken boven elkaar. Zowel de vorm als de plaatsing van de dubbele indrukken wijst erop dat de nagelindrukken in verticale rijen werden aangebracht, en niet in horizontale. Dit wordt bevestigd doordat op een plek te zien is dat toen de pottenbakker eenmaal bijna rond was met het aanbrengen van de decoratie, de laatste rij nog met moeite tussen de andere rijen kon worden aangebracht.

⁹¹ Met dank ook aan Bart Vanmontfort (KULeuven) voor de hulp bij de datering van deze pot.

⁹² De Rue (in voorbereiding).



Fig. 57: Pot uit spoor 424.



Fig. 58: Detail van hals, pot uit spoor 424.

Onder deze band van dubbele nagelindrukken bevindt zich vervolgens op de overgang van de hals naar de schouder een bijna 6 cm brede band gedecoreerd met 9 parallelle, horizontale, ondiepe groeflijnen. Daaronder, vanaf de schouder tot circa 7 cm boven de bodem, heeft de pot opnieuw het zelfde decoratiepatroon van dubbele nagelindrukken als net boven de rand het geval was. Ook deze werden in verticale rijen aangebracht, maar de indrukken bedekken de gehele wand. De onderste 7 cm van de pot werden niet gedecoreerd.

Aangezien het aardewerk met de vingernagel te bekrassen is, is het baksel zeer zacht, met een hardheid van minder dan 2.5 op de schaal van Mohs⁹³. De kleurverschillen van de pot wijzen op bakken in een open vuur, of mogelijk een eenvoudig veldoventje waarbij de pot in direct contact met vuur kon komen⁹⁴. Maar voor deze techniek en periode is de pot zeer gelijkmatig en goed gebakken. Het baksel is donkergrijs tot zwart met een oranje- tot okerkleurig oppervlak. Dus enkel het oppervlak heeft voldoende zuurstof gekregen te oxideren, terwijl de kern dit niet kreeg en gereduceerd werd. De kleur van het oppervlak wijst op een ijzerhoudende klei. Het geoxideerde oppervlak is voor het grootste gedeelte van de pot zeer dun.

Voor een gedeelte van de pot is de geoxideerde laag dikker en daardoor zichtbaar in de marges van de breuk. De binnenzijde van de pot heeft duidelijk minder zuurstof gekregen dan de buitenzijde en is daardoor donkerder van kleur. Er werd geen uitgebreide bakselanalyse uitgevoerd, maar de ceramiek lijkt een aandeel chamotte/kleilizen te bevatten. Het percentage is vanwege de donkere kleur van het baksel moeilijk te bepalen, maar lijkt meer dan 10% te zijn. De inclusies zijn bij momenten hoekig (wat chamotte aannemelijker maakt dan kleilizen) en variëren sterk in afmetingen. De grootste inclusies zijn ongeveer 4 mm in doorsnede. Waarschijnlijk gaat het om chamotte die intentioneel aan de klei is toegevoegd. Dit is niet uitzonderlijk voor de periode en bovendien praktisch. Het zorgt voor een klei met meer stevigheid, zodat het gemakkelijker wordt om een dergelijke grote pot te vormen zonder dat deze onder zijn eigen gewicht inzakt.

Verder vertoont het baksel een klein aandeel muscoviet mica (witte mica) in zeer kleine afmetingen. Dit is waarschijnlijk natuurlijk aan de klei. Ook komen er sporadisch kwartsietinclusies voor. Deze

⁹³ Orton, Tyers & Vince 1993.

⁹⁴ Orton, Tyers & Vince 1993:127-130.

variëren sterk in afmetingen en lijken daardoor ook natuurlijk. Ze tonen bovendien dat de natuurlijke klei niet of slechts grof werd gezuiverd voor werd gebruik. De grootste kwartsietinclusies zijn circa 2 mm in doorsnede. In sommige gevallen zijn ze tijdens het bakproces uit de kleipasta gesprongen en hebben ze een holte achtergelaten. Vooral aan de ongegladde binnenkant is dit goed zichtbaar. Daarnaast vertoont het oppervlak aan de binnenzijde ook onregelmatige, afgeronde holten die meest waarschijnlijk natuurlijke, uitgebrande kalkinclusies betreffen.

De kwaliteit van de pot, zowel op het gebied van bakproces, vorm als decoratie is boven gemiddeld voor de periode. Er is duidelijk meer moeite en tijd aan de pot besteed dan normaal is voor de meeste contemporaine grote vaatwerk. De pot had blijkbaar een belangrijkere functie dan de meeste andere. De decoratie van de pot wijst op een gebruikscontext waarin het visuele aspect van de pot van belang was. De vorm van de pot, met de zeer kleine bodem, maakt de pot topzwaar en wankel. Dit maakt hem ongeschikt voor normaal huishoudelijk gebruik. Om hem goed te kunnen gebruiken zou hij moeten zijn ingegraven of in een constructie zijn geplaatst. Dit is echter niet de intentie van de pottenbakker geweest, want het zou de decoratie aan het zicht onttrokken hebben en daardoor overbodig hebben gemaakt. Daarnaast vertoont de pot geen sporen van beroeting of gebruik in vuur, geen slijtagesporen en geen andere zichtbare gebruikssporen. Gezien de zachtheid van het baksel zou in ieder geval de bodem ook na een vrij korte gebruiksduur slijtagesporen moeten vertonen. De pot is dus niet of nauwelijks gebruikt vòòr zijn depositie in de kuil. Aangezien de pot waarschijnlijk compleet en zelfs volledig was toen hij in de kuil terecht kwam, is de korte gebruiksduur hoogstwaarschijnlijk niet te wijten aan het breken van de pot kort na de ingebruikname.

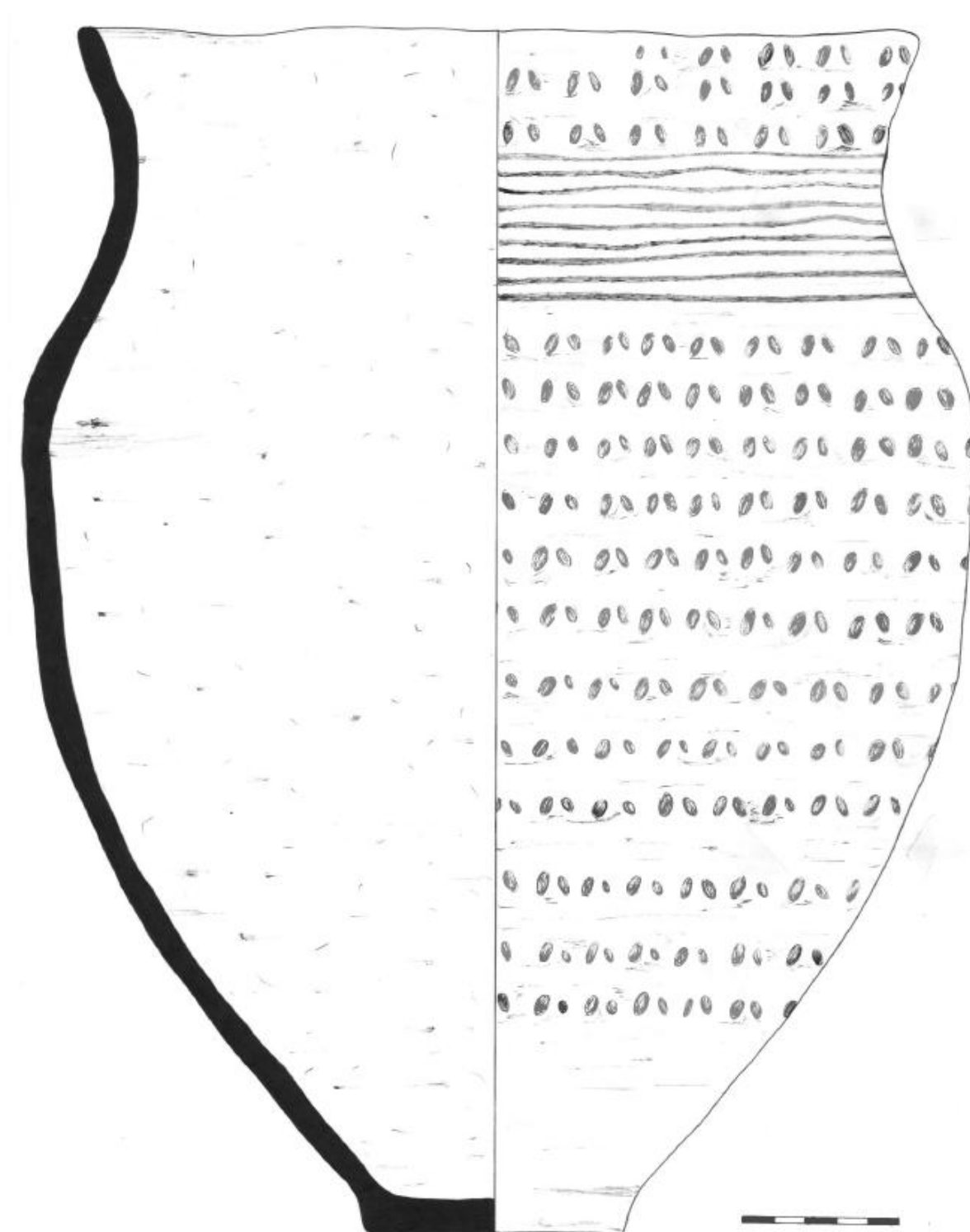


Fig. 59: tekening van pot uit spoor 424.

Het betreft dus een voor huishoudelijk gebruik ongeschikte pot zonder sporen van gebruik, waaraan veel tijd en aandacht is besteed tijdens de productie, die bovendien een visuele functie gehad moet hebben en die in een kuil terecht kwam terwijl hij nog intact was. Hoewel zo iets moeilijk met zekerheid kan worden gesteld, lijkt het er dus op dat de pot intentioneel in de kuil werd geplaatst en

dat het doel van de pot de depositie ervan of zijn inhoud was. Dit zou kunnen wijzen op een rituele functie en een gebruik als urn is niet uit te sluiten.

5.2 Natuursteen

5.2.1 Vuursteen en wommersomkwartsiet

Grondstoffen

Er werden zowel artefacten in vuursteen (n=8) als in wommersomkwartsiet (n=3) aangetroffen. Binnen de categorie van de vuurstenen artefacten worden zeven verschillende grondstofsoorten onderscheiden (fig. 60).

Vuursteentype	Beschrijving
A1	Zeer fijnkorrelig (glasachtig), translucet, donkergrijs, witte cortex
A2	Zeer fijnkorrelig (glasachtig), translucet, donkerbruin
A3	Zeer fijnkorrelig (glasachtig), translucet, grijs met lichtblauwe patina
A4	Fijnkorrelig, grijs (gevekt) met spiculae, witgrijze cortex
A5	Fijnkorrelig, donker bruingrijs met spiculae, lichtgrijze cortex
A6	Fijnkorrelig, donkergrijs met witte vlekjes, bruingrijze ingewortelde cortex
A7	Fijnkorrelig, bruingroen (gevekt), witte cortex

Fig. 60: Beschrijving van de aangetroffen vuursteensoorten.

Typologie (fig. 61)

- 2012-200-LV15-SI-1: Kling met partieel geretoucheerde boord (onregelmatige afslagstijl) in vuursteentype A1 (fig. 62).
- 2012-200-LV15-SI-2: kleine afslag in vuursteentype A6.
- 2012-200-LV10-SI-3: microkling in wommersomkwartsiet (fig. 62).
- 2012-200-LV10-SI-4: kernrandkling in vuursteentype A3 (fig. 62).
- 2012-200-LV11-SI-5: kernrandkling in vuursteentype A4.
- 2012-200-S160L2-SI-6: klingfragment (distaal gedeelte) in vuursteentype A2.
- 2012-200-S54L0-SI-7: kleine afslag in vuursteentype A4.
- 2012-200-S179L2-SI-8: (micro)klingfragment (distaal gedeelte) in vuursteentype A5.
- 2012-200-S218L1-SI-9: afslag (verwijdering interne onzuiverheid) in vuursteentype A7.
- 2012-200-LV1-SI-10: kling (onregelmatige afslagstijl) in wommersomkwartsiet.
- 2012-200-S347L1-SI-11: microklingfragment (proximaal gedeelte) in wommersomkwartsiet.

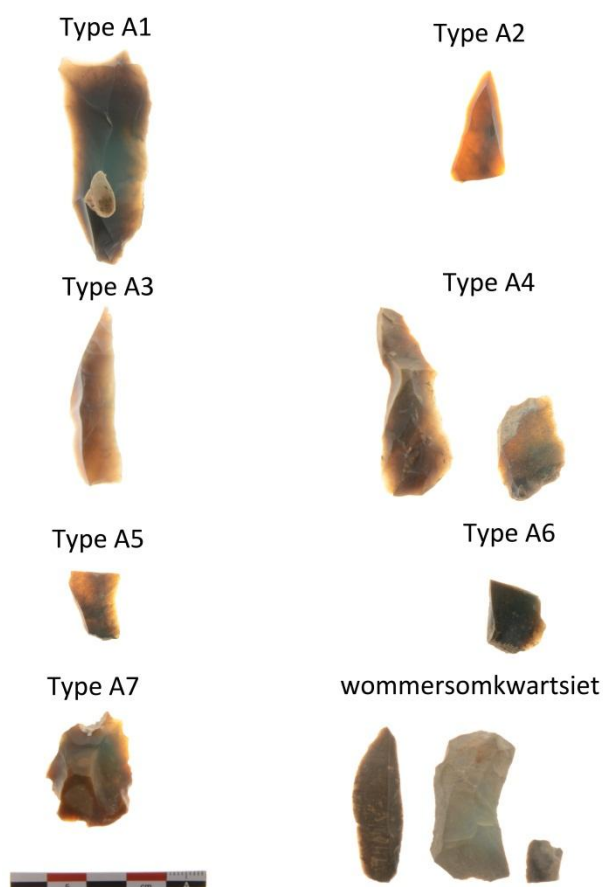


Fig. 61: Overzicht van vuursteen volgens grondstoftype, schaal 1:2.

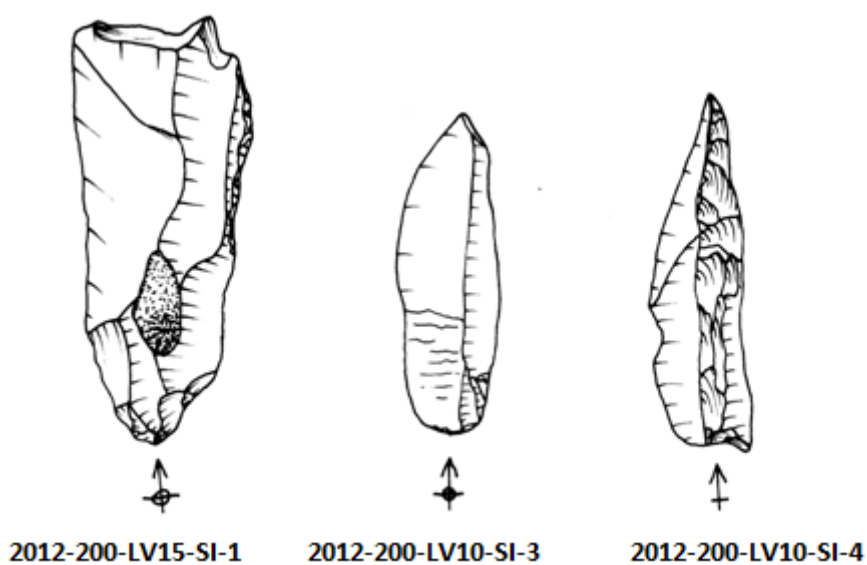


Fig. 62: Werktuigen uit wommersomkwartsiet en vuursteen, schaal 1:1.

Besluit

De meeste artefacten zijn verzameld in het zuidoostelijke gedeelte van het terrein, binnen een straal van circa 25 meter rond waterput S160. Op basis van typologische indicatoren en het grondstofgebruik (o.a. de aanwezigheid van wommersomkwartsiet) kan het volledige ensemble ruim worden gedateerd in het mesolithicum. Het voorkomen van een lichtblauwe patina op een kernrandkling (2012-200-LV10-SI-4) wijst eveneens in de richting van een oudere, pre-neolithische datering. De ruime variatie aan grondstoftypes (n=8 op een totaal van 11 artefacten) binnen het vondstensemble kan worden verklaard door de menging (o.a. door landbouw) van oorspronkelijk aanwezige vondstconcentraties *in situ*.

5.2.2 Overige natuursteen

Buiten het vuursteen zijn geen duidelijk bewerkte fragmenten natuursteen aangetroffen. Uit laag 1 (grijze nazak) van de waterput is één hoekig fragment kalksteen en één hoekig fragment zandsteen verzameld. Uit S58 komt een fragment conglomeraat en ijzerzandsteen. In S151 zijn 2 kleine brokjes kwartsiet aangetroffen.

5.3 Metaal

Metalen vondsten uit de prehistorie zijn niet aangetroffen. In de middeleeuwse akkerlaag onder de bouwvoor zijn een 10-tal ijzeren nagels aangetroffen (LV8 en LV18), alsook een fragment verbrons beslag met een klinknagel (LV9).

5.4 Bouwmateriaal

Er is bouwmateriaal aangetroffen tijdens de aanleg (LV13) maar ook in sporen 64, 163, 218, 226 en 321. Sporen 64, 226 en 321 zijn natuurlijke sporen. Spoor 218 is een greppel en spoor 163 een paalkuil. Alle bouwceramiek is oranje van kleur en (post)-middeleeuws. De fragmenten zijn te klein om met zekerheid te zeggen of het hier gaat over bakstenen, dakpannen of tegels.

Hoofdstuk 6 Besluit

Maarten Smeets & Gerben Bervoets

De vroegste aanwijzingen voor menselijke activiteit te Zemst-Molenveld zijn enkele vuurstenen werktuigen uit het mesolithicum, die verzameld zijn in het zuidoosten van het plangebied.

De meerderheid van de nederzettingssporen en structuren te Zemst-Molenveld dateren echter uit de brons- en ijzertijd.

Het enige spoor dat met zekerheid in de vroege bronstijd gedateerd kan worden is een kuil, gesitueerd in de NW hoek van het plangebied, waarin een bijzonder mooi gedecoreerde pot werd aangetroffen. Structuur 6 kan op basis van een ¹⁴C-datering in de midden-bronstijd gedateerd worden.

Ten oosten en zuidoosten hiervan bevinden zich meerdere structuren die tot een landelijke nederzetting uit de ijzertijd behoren. Aangezien in sommige van deze structuren nagenoeg geen aardewerk is aangetroffen, diende de datering voornamelijk op basis van ¹⁴C-dateringen te gebeuren. Deze dateringen zijn vrij gelijklopend, waardoor een gebruik van de site, hoewel de individuele resultaten ruimer gaan, grosso modo gesitueerd kan worden tussen 550 en 350 BC.

De meest opvallende van de plattegronden is structuur 2, een groot 'bijgebouw' of 'huis', waarvoor tot op heden slechts enkele vergelijkbare voorbeelden zijn teruggevonden die alle in de late bronstijd of vroege ijzertijd gedateerd worden. In het oosten van het plangebied is een deel van een fragmentarisch bewaarde huisplattegrond type Oss-Ussen 4 aangetroffen en een uitzonderlijk variant van een vlechtwerk-waterput bevindt in het uiterste zuidoosten van het plangebied.

Het aardewerk uit de sporen en structuren was zeer gefragmenteerd en weinig talrijk. De meerderheid van het materiaal komt uit 2 contexten, namelijk structuur 2 en de waterput. Door het beperkt aantal geïdentificeerde vormtypes is de waarde van een datering op basis hiervan gering. Toch vallen enkele zaken op zoals het sporadisch voorkomen van versiering, enkel bestaande uit vingertopindrukken en een groot aandeel eenledige vormen. Hoewel het aardewerk vooral gemagerd is met schervengruis komen in het westen van het plangebied scherven voor met een magering uit kalksteen en sporadisch enkele grind- en kwarts-inclusies. Deze kenmerken laten toe het aardewerk voornamelijk in de midden-ijzertijd te dateren, hetgeen de dateringen van de structuren op typologische basis niet tegenspreekt. In het oosten van het plangebied daarentegen komt enkel een magering op basis van schervengruis voor. De wand is gemiddeld genomen minder zorgvuldig afgewerkt en de besmijting, indien aanwezig, groffer en minder zorgvuldig uitgevoerd.

De verspreiding van de structuren toont duidelijk aan dat slechts een klein deel van de nederzetting onderzocht is die zich verder uitstrekt in een ZW-NO georiënteerde band 75 m ten noorden van de Barebeek, een natuurlijke loop die bepalend was voor de locatie van de nederzetting.

Ondanks de beperkte oppervlakte die blootgelegd is, vormen de resultaten toch een belangrijke bijdrage in de kennis over nederzettingen uit de midden-ijzertijd aangezien deze tot nu toe in Vlaams-Brabant nauwelijks gevonden zijn.

Bibliografie

Arnoldussen S. 2008: *A Living Landscape: Bronze Age settlements in the Dutch River area (2000-800 BC)*, onuitgegeven verhandeling Leiden University.

Arnoldussen S. en Ball E.A.G. 2007: Nederzettingsaardewerk uit de late bronstijd in Noord-Brabant en het rivierengebied, in L.P. Louwe Kooijmans/R. Jansen (eds), *Van contract tot wetenschap. Tien jaar archeologisch onderzoek door Archol BV, 1997-2007*, Leiden, 181-203

Koot C.W. & Berkvens R. (EDS.) 2004: *Bredase akkers eeuwenoud. 4000 jaar bewoningsgeschiedenis op de rand van zand en klei*, (Rapportage Archeologische Monumentenzorg 102), Breda

Bourgeois J. 1987: Bewoning uit de vroege ijzertijd in Sint-Denijs-Westrem, *De Leiegouw* 29.1-2, 11-20

Bourgeois J. 1991: Nederzettingen uit de late bronstijd en vroege ijzertijd in westelijk België: Sint-Denijs-Westrem en Sint-Gillis-Waas, In Fokkens, H. & Roymans, N. (eds.), *Nederzettingen uit de Bronstijd en de vroege IJzertijd in de Lage Landen*, Nederlandse Archeologische Rapporten 13, Amersfoort, 171-179

Bourgeois J. & Bauters L. 1993: De nederzetting uit de metaaltijden van Sint-Denijs-Westrem. Resultaten van de noodopgraving 1984 en 1986, *Archeologisch Jaarboek Gent 1992*, 131-155

Cherretté B. & Bourgeois J. 2002: Palenkrans uit de midden-bronstijd en nederzettingssporen uit de late ijzertijd te Oedelem-Wulfsberge, W.-VI. (2001), *Lunula. Archaeologia protohistorica* X, 13-15

de Rue Y.J.W.R. de Rue (in voorbereiding): *Fired Fingers. The study of finger imprints on pottery as a new method to investigate pottery production in archaeology. With a case study of finger imprints on (post-)medieval stoneware form Siegburg (Germany)*. Southampton. (in voorbereiding) *Fired Fingers. The study of finger imprints on pottery as a new method to investigate pottery production in archaeology. With a case study of finger imprints on (post-)medieval stoneware form Siegburg (Germany)*. Southampton.

De Swaef W. & Bourgeois J. 1986: Un habitat du La Tène la à Lede (Aalst, Flandre orientale), *Scholae Archaeologicae* 3, Gent

Delaruelle S. 2001: De ijzertijdbewoning van Spiere-De Hel, *Archeologische en historische monografieën van Zuid-West Vlaanderen* 47, Kortrijk.

Delaruelle S. & Verbeek C. 2004: De metaaltijden op het HSL-traject In: Verbeek C., Delaruelle S. & Bungeneers J. (eds.), *Verloren voorwerpen. Archeologisch onderzoek op het HSL-traject in de provincie Antwerpen*, 115-174

Dijkman W. 1989: Een vindplaats uit de ijzertijd te Maastricht-Randwijck, *Nederlandse Archeologische Rapporten* 8, Amersfoort

Gautier S. & Annaert R. 2006: Een woonerf uit de midden-ijzertijd onder de verkaveling Capelakker te Brecht-Overbroek (prov. Antwerpen), *Relicta* 2, 9-48

Heijmans H., Drenth E., Keijers D. & Schreurs J. (eds.) 2007: *Archeologische onderzoek te Ittervoort. Oude bedrijvigheid op het industrieterrein Santfort ontsloten*, Ittervoort

Hoorne J. 2004: Brons- en IJzertijdwaterputten in België, *Lunula* XII, 21-28

Hoorne J., 2009: *Archeologische opvolging Aquafin tracé Knesselare fase 2 7 tot 18 augustus 2006, KLAD-rapport 12*

Hoorne J., Bastiaens J., De Mulder G., Deforce K., Eryvynck A., Lentacker A. & Sturtewagen K. 2009a: Archeologisch noodonderzoek te Erps-Kwerps-Villershof (Kortenberg, prov. Vlaams-Brabant). Nederzettingssporen uit de ijzertijd, de vroege en de volle middeleeuwen, *Relicta* 4, p. 23-80

Hoorne J., Bartholomieux B., De Clercq W. & De Mulder G. 2009b: *Sint-Denijs-Westrem – Flanders Expo Zone 1. Archeologisch onderzoek van 25 juni tot 15 november 2007 (stad Gent, provincie Oost-Vlaanderen)*, onuitgegeven rapport

Hoorne J. & Sturtewagen K. 2006: Erps-Kwerps - Villershof: nederzettingssporen uit de IJzertijd (gem. Kortenberg, prov. Vlaams-Brabant), *Lunula. Archaeologia protohistorica* XIV, 111-117

Kranendonk P., Kroft P.v.d., Lanzing J.J., Meijlink B. (red.) 2006: *Witte vlekken ingekleurd. Archeologie in het tracé van de HSL-Zuid*, (Rapportage Archeologische Monumentenzorg 113),

Mertens J. 1954: De Romeinse vicus te Elewijt. Verslag over de opgravingen van 1947-1953, *Archaeologia Belgica* 19, Brussel

Reyns N. & Van Celst M. 2012: *Archeologisch vooronderzoek Elewijt (Zemst) - Molenveld Fase 1*, Rapporten All-Archeo BVBA 079

Schinkel K. 1998: Unsettled settlements. Occupation remains from the Bronze Age and the Iron Age at Oss-Ussen. The 1976-1986 excavations, in Fokkens H. (ed.), *The Ussen Project. The first decade of excavations at Oss*. *Analecta Praehistorica Leidensia* 30, 5-306

Schynkel E., Dalle S., Sadones S., Vanholme N. & Bonquet T. 2009: *Archeologisch onderzoek Knesselare Hoekestraat 29 juni tot 11 september 2009*, KLAD-rapport 16

Smeets M. 2011: *De archeologische opgraving van de site Kontich-Babbelkroonbeek*, Archeo-rapport 74, Kessel-Lo

Smeets M. & Vansweevelt J. 2009: Voorraadkuilen uit de midden-ijzertijd te Kumtich-Medekensveld (stad Tienen, prov. Vl.-Br.), *Lunula, Archaeologia protohistorica* 17, 169-175

Vander Ginst V., Smeets M. & Deville T. 2010: *De archeologische opgraving van de site Veldwezelt-Heserstraat*, Archeo-rapport 21, Kessel-Lo

Van Den Broeke P.W. 1980: Bewoningssporen uit de IJzertijd en andere perioden op de Hooidonksche Akkers, gem. Son en Breugel, prov. Noord-Brabant, *Analecta Praehistorica Leidensia* XIII, Leiden, 7-80

Vansweevelt J. & Van de Vijver K. 2009: *Archeologische opvolging van de aardgasvoerleiding DN400 Ranst-station – Lier-station (prov. Antwerpen)*, Intern rapport VIOE, Brussel, 40-43

Verbeeck H. 2001/2002: Een nederzetting uit de midden-IJzertijd te Kontich, Blauwesteen (prov. Antwerpen), *Archeologie in Vlaanderen* VIII (2004), 105-122

Verbeek C., Delaruelle S. & Bungeneers J. 2004: *Verloren voorwerpen. Archeologisch onderzoek op het HSL-traject in de provincie Antwerpen*, Antwerpen

Verwers G.J. 1972: Das Kamps Veld in Haps in Neolithikum, Bronzezeit und Eisenzeit, *Analecta Praehistorica Leidensia* 5, 1-174

Bijlagen

Bijlage 1 Sporeninventaris

Spoor	Werkput/Sleuf	Vlak	Aard	Vorm	Aflijning	Kleur	Textuur	Bijmenging	Vondsten	Opmerkingen
1L0	1	1	Greppel	Langwerpig	ReD	-Gr	ZaLo Z>L			
1L1	1	1				Gr vl.				
2L0	1	1	Kuil	Niet zichtbaar	ReS	Br-Gr-Gl en LGr vl.	Z>L			
2L1	1	1				m. Br en Gr vl.				
3L0	1	1	Paalkuil	Ovaal	ReD	Gr m. Wt-Gr vl.	Z>L			
3L1	1	1				Gr gereduceerd				
4L0	1	1	Natuurlijk	Cirkel	ReD	LGr m. Gr en Gl-Br vl.	Z>L			
5L0	1	1	Paalkuil	Cirkel	ReD	Gr m. Wt-Gr vl.	Z>L			
5L1	1	1				LGr				
6L0	1	1	Natuurlijk	Ovaal	ReD	-Gr m. Gl en DGr vl.	Z>L			
6L1	1	1				Gr				
6L2	1	1				Natuurlijk				
7L0	1	1	Paalkuil	Ovaal	ReD	Gr m. Wt-Gr vl.	Z>L			
7L1	1	1				LGr				
8L0	1	1	Waterput	Niet zichtbaar	ReS	-Gr m. Br en Gl-Br vl.	ReZaLo Z>L			zie WP2 S160
8L1	1	1				Gr en Br vl.				
9L0	1	1	Natuurlijk	Cirkel	ReD	DGr m. Gl vl.	Z>L	HK		
10L0	1	1	Natuurlijk	Ovaal	ReD	Gr m. Gl en Br vl.	Z>L			
11L0	1	1	Natuurlijk	Ovaal	ZeD	Gr m. Gl vl.	Z>L	HK		
12L0	1	1	Natuurlijk	Ovaal	ReS	Gr m. Gl-Gr sp.	Z>L			
13L0	1	1	Natuurlijk	Cirkel	ReD	Br-Gr m. Br en Gl-Gr vl.	Z>L	Keitjes		
14L0	1	1	Natuurlijk	Ovaal	ReS	DGr m. Gl-Br sp.	Z>L	HK		
15L0	1	1	Paalkuil	Cirkel	ReS	Gr m. Gl en Br-Gl vl.	Z>L			
15L1	1	1				DGr				
16L0	1	1	Natuurlijk	Cirkel	ReD	LGr m. Gl-Br vl.	Z>L			
17L0	1	1	Paalkuil	Ovaal	ReD	Gr m. Br-Gr en Br vl.	Z>L			
17L1	1	1				Gr en Br vl.				
18L0	1	1	Paalkuil	Ovaal	ReD	Gr m. Br-Gr en Br vl.	Z>L			
18L1	1	1				LGr m. bioturbatie				
19L0	1	1	Paalkuil	Cirkel	ReS	Gr m. Gl-Br vl.	Z>L	BC, HK		
19L1	1	1				DGr		HK		
20L0	1	1	Paalkuil	Cirkel	ReD	Gr m. Gl-Br en Br vl.	Z>L			
20L1	1	1				Gr plus				

Spoor	Werkput/Sleuf	Vlak	Aard	Vorm	Aflijning	Kleur	Textuur	Bijmenging	Vondsten	Opmerkingen
						bioturbatie				
21L0	1	1	Paalkuil	Cirkel	ReD	Gr m. Br-Gr vl.	Z>L			
21L1	1	1				Gr plus bioturbatie				
22L0	1	1	Natuurlijk	Ei-vormig	ZeD	LGr m. Gr en LBr vl.	Z>L			
23L0	1	1	Natuurlijk	Ovaal	ReD	Gr m. LGr-Gr en Br-Gr vl.	Z>L	HK		
24L0	1	1	Natuurlijk	Ovaal	ReD	Gr m. Br en Wt-Gr vl.	Z>L			
24L1	1	1				Gr homogeen			Ce	
25L0	1	1	Natuurlijk	Ovaal	ReD	Gr-Br m. LGr en Gl-Br vl.	ReZaLo Z>L	HK	Ce	Paalkern, S26= insteek
25L1	1	1				DGr				
25L2	1	1	Kern							
26L0	1	1	Natuurlijk	Ovaal	ReD	Gr m. Gr-Br vl.	Z>L	HK		
26L1	1	1				Gr vl.				
27L0	1	1	Natuurlijk	Cirkel	ZeD	DGr m. LGr-Wt en Br-Gl vl.	Z>L			
28L0	1	1	Natuurlijk	Cirkel	ZeD	LGr m. LGr-Br vl.	Z>L	HK		
29L0	1	1	Natuurlijk	Cirkel	ZeD	LGr m. Br vl.	Z>L	HK		
30L0	1	1	Natuurlijk	Niet zichtbaar	ReD	LBr-Gr m. Gr en Br vl.	Z>L	HK		
30L1	1	1				Gr en Br vl.				
31L0	1	1	Natuurlijk	Onregelmatig	ReD	Gr m. Br en Wt-Gr vl.	Z>L	HK		S24 en S31 vormen samen 1 kuil
31L1	1	1				Gr homogeen				
32L0	1	1	Natuurlijk	Cirkel	ReD	LGr m. Br-Gr vl.	Z>L			
33L0	1	1	Paalkuil	Ovaal	ReD	Gr	Z>L	HK		
33L1	1	1				Gr homogeen				
34L0	1	1	Natuurlijk	Cirkel	ZeD	LGr m. LGr-Br-Gr vl.	Z>L			
35L0	1	1	Paalkuil	Ovaal	ReD	Gr m. Br vl.	Z>L	HK		
36L0	1	1	Natuurlijk	Onregelmatig	ReS	Gr m. Wt-Gr en Gl vl.	Z>L		Ce	
36L1	1	1				Gr homogeen				
37L0	1	1	Natuurlijk	Onregelmatig	ReS	-Gr m. Wt-Gr en Br-Gr vl.	Z>L	HK	Ce	
38L0	1	1	Natuurlijk	Ei-vormig	ReD	Gr m. Wt-Gr en Br vl.	Z>L		Ce	
38L1	1	1				Gr vl.				
39L0	1	1	Paalkuil	Ovaal	ReD	Gr m. Wt-Gr en Br vl.	ReZaLo Z>L			= S40
39L1	1	1				Gr				
40L0	1	1	Paalkuil	Cirkel	ReD	-Gr m. Wt-Gr en Br vl.	ReZaLo Z>L			= S39
40L1	1	1				Gr				
41L0	1	1	Paalkuil	Cirkel	ReD	LGr m. Br-Gr vl.	ReZaLo Z>L			
42L0	1	1	Paalkuil	Ovaal	ReD	Br-Gr m. Gr vl.	ReZaLo Z>L			

Spoor	Werkput/Sleuf	Vlak	Aard	Vorm	Aflijning	Kleur	Textuur	Bijmenging	Vondsten	Opmerkingen
43L0	1	1	Natuurlijk	Cirkel	ReD	Gr m. Wt-Gr en Br sp.	Z>L			
43L1	1	1				Gr vl.				
44L0	1	1	Natuurlijk	Rechthoekig	ReD	Gr m. Br-Gl en Br sp.	Z>L			
44L1	1	1				Gr vl.				
45L0	1	1	Natuurlijk	Rechthoekig	ReD	Gr m. Wt-Gr en Br vl.	Z>L	HK		
46L0	1	1	Natuurlijk	Onregelmatig	ReD	Gr m. DBr en LGr vl.	Z>L			
46L1	1	1				Gr vl.			Ce	
46L2	1	1				Gl-Gr vl.				natuurlijk?
47L0	1	1	Paalkuil	Cirkel	ReD	DGr m. Gl-Br en Br vl.	ReZaLo Z>L	HK		
47L1	1	1				DGr		HK		
48L0	1	1	Natuurlijk	Cirkel	ReD	Gr m. Gl-Br en DGr vl.	Z>L			
49L0	1	1	Natuurlijk	Ovaal	ReD	Gr m. Wt-Gr en Br vl.	Z>L			
49L1	1	1				Gr vl.				
50L0	1	1	Natuurlijk	Onregelmatig	ReD	-Gr m. Wt-Gr en Br vl.	Z>L			
50L1	1	1				Gr vl.				
51L0	1	1	Paalkuil	Cirkel	ReS	Br-Gr m. LGr en Gl-Br vl.	Z>L			
51L1	1	1				Gr en Br vl.				
52L0	1	1	Paalkuil	Rechthoekig	ReD	Br-Gr m. LGr en Gl-Br vl.	Z>L			
52L1	1	1				Gr en Br vl.				
53L0	1	1	Paalkuil	Ovaal	ReD	Br-Gr m. LGr en DGr vl.	Z>L			
53L1	1	1							Ce	
54L0	1	1	Paalkuil	Ei-vormig	ReD	LBr-Gr m. Br en LGr vl.	Z>L		Si	
54L1	1	1				Gr en Br vl.				
55L0	1	1	Natuurlijk	Onregelmatig	ReD	LGr m. Gl en DBr vl.	Z>L			
56L0	1	1	Paalkuil	Cirkel	ZeD	Gr m. Gl en Br-Gr vl.	Z>L			
56L1	1	1				Gr vl.				
57L0	1	1	Natuurlijk	Ovaal	ReD	Br-Gr m. LGr en Gl-Br vl.	Z>L			
58L0	1	1	Paalkuil	Rechthoekig	ReD	Br-Gr m. LGr vl.	Z>L			
58L1	1	1				Gr en Br vl.		HK	Na	
59L0	1	1	Natuurlijk	Trapezium	ReD	Br-Gr m. LGr vl.	Z>L			
59L1	1	1				Gr en Br vl.				
60L0	1	1	Natuurlijk	Ovaal	ReD	Br-Gr m. LGr en Gl-Br vl.	Z>L			
60L1	1	1				Br en Gr vl.				
61L0	1	1	Natuurlijk	Ovaal	ReD	LGr m. Br-Gr en Gl-Br vl.	Z>L			

Spoor	Werkput/Sleuf	Vlak	Aard	Vorm	Aflijning	Kleur	Textuur	Bijmenging	Vondsten	Opmerkingen
61L1	1	1				Gr en Br vl.				
62L0	1	1	Natuurlijk	Ei-vormig	ZeD	LGr m. Br-Gr en Gl-Br vl.	Z>L			
62L1	1	1				Gr en Br vl.				
63L0	1	1	Natuurlijk	Ei-vormig	ZeD	LGr m. Br-Gr en Gl-Br vl.	Z>L			
63L1	1	1				Gr en Br vl.				
64L0	1	1	Natuurlijk	Ovaal	ReS	DGr m. LGr en Br- Gr vl.	Z>L			
64L1	1	1							Ce, Bo	
65L0	1	1	Paalkuil	Ovaal	ReD	Gr m. Br-Gr vl.	Z>L			
65L1	1	1				Gr en Br vl.			Ce	
66L0	1	1	Paalkuil	Ovaal	ReD	LBr-Gr m. LGr sp.	Z>L			
66L1	1	1				Gr en Br vl.		HK, BC	Ce	
67L0	1	1	Paalkuil	Niet zichtbaar	ReD	LBr-Gr m. LGr vl.	Z>L			
67L1	1	1				Gr en Br vl.				
68L0	1	1	Paalkuil	Cirkel	ZeD	LGr m. LBr-Gr-Br vl.	Z>L			
68L1	1	1				Gr en Br vl.				
69L0	1	1	Paalkuil	Ovaal	ReD	LBr-Gr m. LGr en Gl-Br vl.	Z>L		Ce	
69L1	1	1				Gr en Br vl.				
70L0	1	1	Paalkuil	Ovaal	ReD	LBr-Gr m. LGr vl.	Z>L			
70L1	1	1				Gr en Br vl.				
71L0	1	1	Paalkuil	Ovaal	ReD	LBr-Gr m. LGr vl.	Z>L			
71L1	1	1				Gr en Br vl.				
72L0	1	1	Paalkuil	Cirkel	ReD	LBr-Gr m. LGr vl.	Z>L			
72L1	1	1				Gr en Br vl.				
73L0	1	1	Paalkuil	Ovaal	ReD	Gr m. LBr-Gr vl.	Z>L	HK		
73L1	1	1				Gr en Br vl.				
74L0	1	1	Natuurlijk	Cirkel	ZeD	LGr m. LBr-Gr vl.	Z>L			
75L0	1	1	Paalkuil	Cirkel	ZeD	LGl-Br m. Br-Gr en LGr vl.	Z>L			
75L1	1	1				Gr en Br vl.				
76L0	1	1	Natuurlijk	Cirkel	ZeD	LBr-Gl m. Br-Gr en LGr vl.	Z>L			
77L0	1	1	Paalkuil	Cirkel	ReD	LGr m. Br-Gr vl.	Z>L			
77L1	1	1				LGr				
78L0	1	1	Paalkuil	Ovaal	ReD	Br-Gr m. LGr vl.	Z>L			
78L1	1	1				Br en Gr vl.				
79L0	1	1	Natuurlijk	Ovaal	ZeD	LBr-Gr m. LGr vl.	Z>L			
80L0	1	1	Paalkuil	Cirkel	ZeD	LBr-Gr m. LGr vl.	Z>L	HK, BC		
80L1	1	1				Gr en Br vl.			Ce	
81L0	1	1	Paalkuil	Cirkel	ReD	Br-Gr m. LGr vl.	Z>L	HK		
81L1	1	1				Gr en Br vl.		HK	Ce	
82L0	1	1	Paalkuil	Cirkel	ZeD	LBr-Gr m. Gl-Br vl.	Z>L	HK		

Spoor	Werkput/Sleuf	Vlak	Aard	Vorm	Aflijning	Kleur	Textuur	Bijmenging	Vondsten	Opmerkingen
82L1	1	1				Br en Gr vl.				
83L0	1	1	Paalkuil	Ovaal	ZeD	LBr-Gr m. LGL-Br en LGr vl.	Z>L	HK	Ce, Bo	
83L1	1	1				Br en Gr vl.		HK, VL	Ce	
84L0	1	1	Paalkuil	Cirkel	ZeD	LBr-Gr m. LGL-Br en LGr vl.	Z>L		Ce	
84L1	1	1				Gr en Br vl.				
85L0	1	1	Natuurlijk	Ovaal	ZeD	LGr m. LBr-Gr vl.	Z>L			
86L0	1	1	Natuurlijk	Onregelmatig	ReD	LBr-Gr m. LGr en LGL-Br vl.	Z>L			
86L1	1	1							Ce	
87L0	1	1	Kuil	Rechthoekig	ZeS	Br-Gr m. LGr en GL-Br vl.	Z>L			
87L1	1	1				Br m. LGr en GL vl.			Ce	
88L0	1	1	Paalkuil	Ovaal	ReD	Br-Gr m. LGr vl.	Z>L			kuil/paalkuil/natuurlijk? niet duidelijk aangezien spoor gedeeltelijk in de wand zit
88L1	1	1				Br-Gr m. LGr vl.			Ce	
89L0	1	1	Natuurlijk	Ovaal	ReD	LBr-Gr m. LGr vl.	Z>L	HK		=S90
89L1	1	1							Ce	
90L0	1	1	Natuurlijk	Niet zichtbaar	ReD	LBr-Gr m. LGr vl.	Z>L			
91L0	1	1	Natuurlijk	Ovaal	ReD	Br-Gr m. LGr-Br en LGL-Br vl.	Z>L	HK		
91L1	1	1				Br-Gr				
91L2	1	1				LGr				
91L3	1	1				DGr-Br				
92L0	1	1	Paalkuil	Cirkel	ReD	Br-Gr m. LGr en LBr vl.	Z>L			
92L1	1	1				Gr en Br vl.		HK		
93L0	1	1	Kuil	Niet zichtbaar	ReD	LBr-Gr m. LGr vl.	Z>L	VL		
93L1	1	1				Br en Gr vl.			Ce	
94L0	1	1	Paalkuil	Cirkel	ZeD	LBr-Gr m. LGr vl.	Z>L	HK		
94L1	1	1				Gr en Br vl.				
95L0	1	1	Kuil	Onregelmatig	ReD	Br-Gr m. LGr en GL-Br vl.	Z>L		Ce	
95L1	1	1				Br en Gr vl.		HK, VL	Ce	
96L0	1	1	Natuurlijk	Onregelmatig	ReD	Gr m. LBr-Gr en Br vl.	Z>L		Ce	
97L0	1	1	Natuurlijk	Ei-vormig	ReD	LBr-Gr m. LGr vl.	Z>L			
98L0	1	1	Kuil	Cirkel	ReD	Br-Gr m. LGr en LGL-Br vl.	Z>L	HK, BC	Ce	
98L1	1	1				Br m. Gr-GL vl.		HK	Ce	
99L0	1	1	Paalkuil	Cirkel	ReD	Br-Wt m. LGr vl.	Z>L			
99L1	1	1				Br en Gr vl.			Ce	
100L0	1	1	Natuurlijk	Ovaal	ZeD	LGr m. LBr-Gr en LBr-GL vl.	Z>L			
101L0	1	1	Paalkuil	Cirkel	ZeD	LBr-Gr m. LGr en LBr vl.	Z>L			
101L1	1	1				LGr en Br vl.				

Spoor	Werkput/Sleuf	Vlak	Aard	Vorm	Aflijning	Kleur	Textuur	Bijmenging	Vondsten	Opmerkingen
102L0	1	1	Paalkuil	Cirkel	ZeD	LGr-Br m. LBr vl.	Z>L			
102L1	1	1				LGr en Br vl.				
103L0	1	1	Natuurlijk	Ovaal	ZeD	LBr-Gr m. LGr vl.	Z>L			
104L0	1	1	Boomval	Nier-vormig	ReD	Br-Gr m. LGr en DBr vl.	Z>L		Ce	
105L0	1	1	Paalkuil	Cirkel	ReD	DGr m. LWt-Gr vl.	Z>L	HK		
105L1	1	1				DGr-Br m. Wt-Gr vl.				
106L0	1	1	Paalkuil	Ovaal	ReD	DGr m. LWt-Gr	Z>L	HK		
106L1	1	1				Gr-Br m. Wt-Gr vl.				
107L0	1	1	Natuurlijk	Cirkel	ZeD	LGr m. LBr-Gr vl.	Z>L			
108L0	1	1	Paalkuil	Cirkel	ReD	Br-Gr m. LGr vl.	Z>L			
108L1	1	1				LGr m. LBr-Gr vl.				
109L0	1	1	Paalkuil	Ovaal	ReD	Br-Gr m. LGr vl.	Z>L		Ce	
109L1	1	1				LGr m. Br-Gr vl.		HK		
110L0	1	1	Paalkuil	Ovaal	ReD	Br-Gr m. LGr vl.	Z>L			
110L1	1	1				LGr en LBr vl.			St	
111L0	1	1	Paalkuil	Ovaal	ReD	Br-Gr m. LGr vl.	Z>L			
111L1	1	1				LGr en LBr-Gr vl.				
112L0	1	1	Paalkuil	Cirkel	ReD	Br-Gr m. LGr vl.	Z>L			
112L1	1	1				LGr en LBr-Gr vl.				
113L0	1	1	Paalkuil	Ovaal	ReD	Br-Gr m. LGr vl.	Z>L			
113L1	1	1				LGr-Gl vl.			St	
114L0	1	1	Paalkuil	Cirkel	ReD	Br-Gr m. LGr vl.	Z>L			
114L1	1	1				LGr en LBr vl.		HK	St	
115L0	1	1	Paalkuil	Cirkel	ReD	LBr-Gr m. LGr en LBl-Gr vl.	Z>L			
115L1	1	1				LGr en Gl vl.			Ce	
116L0	1	1	Kuil	Ovaal	ReD	Br-Gr m. LGr vl.	ReZaLo Z>L			
116L1	1	1				LGr en LBr vl.			Ce	
117L0	1	1	Natuurlijk	Ovaal	ReD	Br-Gr m. Gr vl.	Z>L			
118L0	1	1	Natuurlijk	Cirkel	ReD	Gr m. Br-Gr vl.	Z>L			
119L0	1	1	Natuurlijk	Cirkel	ZeD	LGr m. Br-Gr vl.	Z>L			
120L0	2	1	Paalkuil	Cirkel	ReD	Br-Gr m. Gr en Gl vl.	Z>L			
120L1	2	1				Br en Gr vl.				
121L0	2	1	Paalkuil met kern	Ovaal	ReD	Br-Gr m. LGr-Bl vl.	ReZaLo Z>L			
121L1	2	1				Br en Gr vl.				
121L2	2	1	Kern			Gr vl.				
121L3	2	1	Insteek			Gl en Gr vl.				
122L0	2	1	Paalkuil met kern	Cirkel	ReD	Br-Gr m. Gr-Bl vl.	ReZaLo Z>L			
122L1	2	1				Br en Gr vl.				
122L2	2	1	Kern			Gr vl.				

Spoor	Werkput/Sleuf	Vlak	Aard	Vorm	Aflijning	Kleur	Textuur	Bijmenging	Vondsten	Opmerkingen
122L3	2	1	Insteek			Gl en Gr vl.				
123L0	2	1	Natuurlijk	Nier-vormig		Br-Gr m. LGr-BI en Gl vl.			Ce	
124L0	2	1	Natuurlijk	Ovaal	ZeD	Br-Gr m. LGr vl.	Z>L			
124L1	2	1				Br en Gr vl.				
125L0	2	1	Paalkuil	Ovaal	ZeD	Br-Gr m. LGr vl.	ReZaLo Z>L	Hu		
125L1	2	1				Br en Gr vl.				
126L0	2	1	Paalkuil	Rechthoekig	ZeD	Br-Gr m. LGr-Gl vl.	Z>L			
126L1	2	1				Br en Gr vl.				
127L0	2	1	Kuil	Ovaal	ReD	Br-Gr m. LGr en Gl vl.	Z>L			
127L1	2	1				Br en Gr vl.				
128L0	2	1	Kuil	Ovaal		Br-Gr m. LGr vl.	Z>L			
128L1	2	1				Br en Gr vl.				
129L0	2	1	Natuurlijk	Ovaal	ZeD	LBr-Gr m. Gl en LGr vl.	Z>L			
130L0	2	1	Paalkuil	Cirkel	ReD	Br-Gr m. Gr-BI vl.	Z>L			
130L1	2	1	Kuil			Br en Gr vl.	ReZaLo Z>L		Ce	
130L2	2	1	Paalkuil			Gr-Gl	ReZaLo Z>L			
131L0	2	1	Natuurlijk	Ovaal	ReD	Br-Gr m. Gr en Gl vl.	Z>L			
131L1	2	1				Br en Gr vl.				
132L0	2	1	Paalkuil met kern	Ovaal	ReD	Br-Gr m. Gr vl.	ReZaLo Z>L			
132L1	2	1				Br en Gr vl.				
132L2	2	1	Kern			Gr vl.				
132L3	2	1	Insteek			Gl en Gr vl.				
133L0	2	1	Kuil	Rechthoekig	ReD	Gr m. LGr en LBr-Gr vl.	Z>L			
133L1	2	1				Br en Gr vl.				
134L0	2	1	Paalkuil	Cirkel	ZeD	Br-Gr m. LGr en Gl vl.	Z>L			
134L1	2	1				Br en Gr vl.				
135L0	2	1	Paalkuil	Cirkel	ZeD	Br-Gr m. Gr vl.	ReZaLo Z>L			
135L1	2	1				Br en Gr vl.		HK		
136L0	2	1	Paalkuil	Cirkel	ReD	Gr m. Br-Gr en Gl vl.	Z>L			
136L1	2	1				Br en Gr vl.				
137L0	2	1	Paalkuil	Cirkel	ZeD	Gr m. LBr-Gr en Gl vl.	Z>L			
137L1	2	1				Gr en Br vl.			Ce	
138L0	2	1	Boomval	Niet zichtbaar	ReD	LGr m. Gl-Br en LBr-Gr vl.	Z>L			
139L0	2	1	Paalkuil	Cirkel	ReD	Br-Gr m. LGr vl.	Z>L			
139L1	2	1				Br en Gr vl.				

Spoor	Werkput/Sleuf	Vlak	Aard	Vorm	Aflijning	Kleur	Textuur	Bijmenging	Vondsten	Opmerkingen
140L0	2	1	Paalkuil	Cirkel	ReD	Br-Gr m. Gr vl.	Z>L			
140L1	2	1				Gr en Br sp.				
141L0	2	1	Natuurlijk	Ovaal	ZeD	LGr m. LBr-Gr en Zw vl.	Z>L	HK		
142L0	2	1	Paalkuil	Ovaal	ReD	Br-Gr m. Gr vl.	ReZaLo Z>L			
142L1	2	1				Gr en Br vl.				
143L0	2	1	Paalkuil	Cirkel	ReD	Br-Gr m. LGr en Gl vl.	ReZaLo Z>L			
143L1	2	1				Gr en Br vl.				
144L0	2	1	Paalkuil	Cirkel	ZeD	Gr m. LGr en Gl- Br vl.	ReZaLo Z>L			
144L1	2	1				Gr en Br vl.				
145L0	2	1	Paalkuil	Cirkel	ReD	Br-Gr m. Gr en Gl- Br vl.	ReZaLo Z>L			
145L1	2	1				Br en Gr vl.				
146L0	2	1	Paalkuil	Cirkel	ReD	Br-Gr m. LGr en Gl-Br vl.	ReZaLo Z>L			
146L1	2	1				Br en Gr vl.				
147L0	2	1	Paalkuil	Cirkel	ZeD	LBr-Gr m. LGr vl.	ReZaLo Z>L			
147L1	2	1				Br en Gr vl.				
148L0	2	1	Natuurlijk	Onregelmatig		LBr-Gr m. LGr en LGl-Br vl.				dierengangen
149L0	2	1	Paalkuil	Rechthoekig	ReD	Gr m. LGr vl.	ReZaLo Z>L			
149L1	2	1				LGr		HK		
150L0	2	1	Paalkuil	Ovaal	ReD	Gr m. LGr vl.	ReZaLo Z>L			
150L1	2	1				Gr				
151L0	2	1	Paalkuil met kern	Cirkel	ReD	Gr m. LGr en LBr- Gr vl.	ReZaLo Z>L	HK		
151L1	2	1	Kern			Gr en Br vl.		HK	Na	
151L2	2	1				Gr				
152L0	2	1	Paalkuil	Cirkel	ZeD	Gr m. Br-Gr en Gl- Br vl.	ReZaLo Z>L			
152L1	2	1				Br en Gr vl.				
153L0	2	1	Natuurlijk	Rechthoekig	ReD	Gr m. Br-Gr vl.	ReZaLo Z>L	HK		
153L1	2	1				Gr			Ce	
154L0	2	1	Boomval	Rechthoekig	ReD	Gr m. Br-Gr	ReZaLo Z>L			=S201 (WP3)
154L1	2	1								
155L0	2	1	Boomval	Rechthoekig	ReD	LGr m. Gr en Br- Gl vl.	ReZaLo Z>L			hoort bij S154 en S201
155L1	2	1								
156L0	2	1	Paalkuil met kern	Ovaal	ReD	LGr m. Br-Gr vl.	ReZaLo Z>L			
156L1	2	1	Kern			Br en Gr vl.				
156L2	2	1	Insteek			Gr en Br vl.				
157L0	2	1	Paalkuil met	Cirkel	ReD	Gr m. Br en Gl vl.	ReZaLo			

Spoor	Werkput/Sleuf	Vlak	Aard	Vorm	Aflijning	Kleur	Textuur	Bijmenging	Vondsten	Opmerkingen
			kern				Z>L			
157L1	2	1	Kern			Gr gereduceerd				
157L2	2	1	Insteek			LBr-Gr				
158L0	2	1	Paalkuil met kern	Ovaal	ReD	Gr m. Br-Gr vl.	ReZaLo Z>L			
158L1	2	1	Kern			Gr en Br vl.				
158L2	2	1	Insteek			LGr				
159L0	2	1	Natuurlijk	Rechthoekig	ReD	Gr-BI m. Br en GI-Br vl.	ReZaLo Z>L			
159L1	2	1				Gr				
160L0	2	1	Waterput	Cirkel	ReD	Gr-BI m. Br-Gr vl.	ReZaLo Z>L		St	= S8 slechts gedeeltelijk in wp2 Vullingnummer=L6 Vullingnummer=L7
160L1	2	1				Gr m. weinig Br vl.		HK	Ce	
160L2	2	1				Br-Or m. LGr vl.			Ce, St	
160L3	2	1				LGr		HK	Ce, St	
160L4	2	1				DGr		HK	Ce, St	
160L5	2	1							Fl	houten balk
160L6	2	1							Fl	
160L7	2	1							Fl	vlechtwerk
161L0	2	1	Natuurlijk	Ovaal	ReD	Gr-BI m. GI en Br vl.	ReZaLo Z>L			
161L1	2	1				Gr				
162L0	3	1	Paalkuil	Ovaal	ZeD	LBr-Gr m. LGr vl.	ReZaLo Z>L	HK		
162L1	3	1				Wt-Gr m. LBr-Gr vl.				
163L0	3	1	Paalkuil	Ovaal	ReD	Br m. Br-Gr en Gr vl.	ReZaLo Z>L	Mg		
163L1	3	1				Br m. LGr		VL	Bo, Ce	
164L0	3	1	Paalkuil	Cirkel	ZeD	LBr-Gr m. LGr vl.	ReZaLo Z>L	Mg		
164L1	3	1				Br-Gr m. LGr		Mg		
164L2	3	1				LGr m. LBr vl.				
165L0	3	1	Paalkuil	Cirkel	ReD	LGr m. Br vl.	ReZaLo Z>L	Mg, HK		
165L1	3	1				LGr m. Br en Br-Gr vl.				
166L0	3	1	Paalkuil	Ovaal	ZeD	Br-Gr m. LGr vl.	ReZaLo Z>L	Mg, HK		
166L1	3	1				Br-Gr m. Wt-Gr vl.		HK		
167L0	3	1	Paalkuil	Ovaal	ZeD	Br-Gr m. LGr en Br vl.	ReZaLo Z>L	Mg, HK		
167L1	3	1				Br en Gr vl.		HK		
168L0	3	1	Paalkuil	Ovaal	ZeD	LBr-Gr m. LGr vl.	ReZaLo Z>L	Mg, HK		
168L1	3	1				Br-Gr m. Wt-Gr vl.				

Spoor	Werkput/Sleuf	Vlak	Aard	Vorm	Aflijning	Kleur	Textuur	Bijmenging	Vondsten	Opmerkingen
169L0	3	1	Paalkuil	Ovaal	ReD	Br-Gr m. LGr vl.	ReZaLo Z>L	Mg, BC		
169L1	3	1				Br-Gr m. Br en LGr vl.		Mg		
170L0	3	1	Paalkuil met kern	Cirkel	ReD	Br m. LGr vl.	ReZaLo Z>L	Mg	Ce	
170L1	3	1				Br-Gr m. LGr vl.				
170L2	3	1	Kern			Gr en LGr-Gl vl.				
170L3	3	1	Insteek			LBr-Gl				
171L0	3	1	Paalkuil met kern	Cirkel	ReD	Br m. LGr	ReZaLo Z>L	Mg		
171L1	3	1				LBr-Gr m. LGr vl.		HK		
171L2	3	1	Insteek			Wt-Gr		HK		
172L0	3	1	Paalkuil met kern	Cirkel	ReD	Br m. Gr vl.	ReZaLo Z>L	HK		oversnijdt s210?
172L1	3	1	Kern			Gr m. Br vl.		HK	St	
172L2	3	1	Insteek			Br				
172L3	3	1	Insteek			Wt-Gr m. Gl-Or vl.				
173L0	3	1	Paalkuil	Ovaal	ReD	Br-Gr m. LGr en Br vl.	ReZaLo Z>L	Mg, HK, HK		
173L1	3	1				Gr-Br vl.			St	
174L0	3	1	Paalkuil met kern	Ovaal	ZeD	Gr-Br m. LGr vl.	ReZaLo Z>L	Mg		
174L1	3	1	Kern			Gr vl.				
174L2	3	1	Insteek			LBr en Gr vl.				
175L0	3	1	Paalkuil	Ovaal	ReD	Br-Gr m. LGr vl.	ReZaLo Z>L	Mg, HK		
175L1	3	1				Br-Gr vl.				
175L2	3	1				Gr		HK		
176L0	3	1	Paalkuil	Ovaal	ReD	LGr m. Br-Gr vl.	ReZaLo Z>L	Mg		
176L1	3	1	Kern			Gr		HK	St	
176L2	3	1	Insteek			Br-Gl vl.			Ce	
177L0	3	1	Paalkuil met kern	Ovaal	ZeD	Br-Gr m. LGr en Br vl.	ReZaLo Z>L	Mg		
177L1	3	1	Kern			Gr m. Br-Gr vl.	ReZaLo Z>L	HK	St	staalname HK, rand laag 1- laag 2
177L2	3	1	Insteek			Br m. LGr en Gl- Br vl.				
178L0	3	1	Paalkuil met kern	Ovaal	ReD	Br-Gr m. Gr vl.	ReZaLo Z>L	Bio, Mg		
178L1	3	1	Kern			DGr		HK		
178L2	3	1	Insteek			LBr-Gl				
179L0	3	1	Paalkuil met kern	Ovaal	ReD	Gr m. Br en Or vl.	ReZaLo Z>L	HK		
179L1	3	1	Kern			Gr m. LGr en Br vl.			Ce, St	
179L2	3	1	Insteek			LGr m. Or-Br vl.			Si	
180L0	3	1	Paalkuil	Cirkel	ReD	LGr m. Br en Br- Gr vl.	ReZaLo Z>L	Mg		reeds gecoupeerd in de proefsleuf

Spoor	Werkput/Sleuf	Vlak	Aard	Vorm	Aflijning	Kleur	Textuur	Bijmenging	Vondsten	Opmerkingen
180L1	3	1	Kern			Gr		HK		
180L2	3	1	Insteek			LBr-Gl				
181L0	3	1	Paalkuil met kern	Ovaal	ReD	LGr m. Br-Gr vl.	ReZaLo Z>L	HK		
181L1	3	1	Kern			Gr		HK	St	
181L2	3	1	Insteek			LBr-Gl vl.				
182L0	3	1	Paalkuil met kern	Cirkel	ReD	Gr m. LBr en Zw vl.	ReZaLo Z>L	Mg, HK		
182L1	3	1	Kern			DGr		HK		
182L2	3	1	Insteek			Br-Gr vl.				
183L0	3	1	Greppel	Langwerpig	ReD	LBr-Gr m. LGr en Gl-Br vl.	ReZaLo Z>L			
183L1	3	1				Gr vl.			Ce	
184L0	3	1	Natuurlijk	Onregelmatig	ReD	Gr m. LGr vl.	ReZaLo Z>L	HK	Ce	
185L0	3	1	Paalkuil met kern	Cirkel	ReD	Gr m. LBr-Gr vl.	ReZaLo Z>L	Mg		
185L1	3	1	Kern			Gr		HK		
185L2	3	1	Insteek			LBr-Gl				
186L0	3	1	Paalkuil met kern	Cirkel	ZeD	LGr m. Br-Gr sp.	ReZaLo Z>L	Mg		
186L1	3	1	Kern			Gr		HK		
186L2	3	1	Insteek			LBr-Gl				
187L0	3	1	Kuil	Niet zichtbaar	ReD	Br-Gr m. Gr en Br-Or vl.	ReZaLo Z>L			natuurlijk? deel van s184?
187L1	3	1				DGr en Br vl.		VL		
188L0	3	1	Natuurlijk	Onregelmatig	ReD	Br-Gr m. LGr en Gr vl.	ReZaLo Z>L			
189L0	3	1	Paalkuil	Cirkel	ZeD	Br-Gr m. LGr vl.	ReZaLo Z>L	Mg		
189L1	3	1				Gr-Br vl.		HK		
190L0	3	1	Paalkuil	Cirkel	ReD	LGr m. Br-Gr vl.	ReZaLo Z>L			
190L1	3	1				Gr				
191L0	3	1	Paalkuil	Cirkel	ReD	Gr-Br m. LGr sp.	ReZaLo Z>L			
191L1	3	1				LGr		HK		
192L0	3	1	Paalkuil met kern	Ovaal	ReD	Br-Gr m. Gr en Zw-Br vl.	ReZaLo Z>L	Mg, VL, HK		gecoupeerd in proefsleuf
192L1	3	1	Kern			Gr en Br vl.		Mg, HK	Ce	
192L2	3	1	Insteek			Br-Gr m. Gr en LGr vl.		Mg, HK		
193L0	3	1	Paalkuil met kern	Ovaal	ReD	Br-Gr m. LGr vl.	ReZaLo Z>L	Mg		
193L1	3	1	Kern			Gr-Br vl.				
193L2	3	1	Insteek			LBr en Gr vl.				
194L0	3	1	Paalkuil	Ovaal	ReD	Br-Gr m. LGr vl.	ReZaLo Z>L	Mg		
194L1	3	1				Gr		HK	St	
195L0	3	1	Paalkuil	Cirkel	ZeD	LGr m. Br-Gr vl.	ReZaLo Z>L			

Spoor	Werkput/Sleuf	Vlak	Aard	Vorm	Aflijning	Kleur	Textuur	Bijmenging	Vondsten	Opmerkingen
195L1	3	1				Gr		HK, VL		
196L0	3	1	Paalkuil	Cirkel	ZeD	Br-Gr m. Br-Or en LGr vl.	ReZaLo Z>L			
196L1	3	1				Gr		HK		
197L0	3	1	Kuil	Rechthoekig	ReD	LBr-Gr m. Gr en Br-Or vl.	ReZaLo Z>L	Bio, Mg		zeer gevlekt, ijzerconcreties getekend op basis van foto
198L0	3	1	Paalkuil met kern	Rechthoekig	ReD	DGr m. LBr vl.	ReZaLo Z>L	BC, HK		
198L1	3	1	Kern			DGr		HK	Ce	
198L2	3	1	Insteek			LBr-Gl				
199L0	3	1	Paalkuil	Ovaal	ReD	Gr-Br m. LGr vl.	ReZaLo Z>L	HK		
199L1	3	1				Gr		VL		
200L0	3	1	Kuil	Ei-vormig	ZeD	Gr m. LGr en Or-Br vl.	ReZaLo Z>L			
200L1	3	1				DGr		HK		
201L0	3	1	Boomval	Niet zichtbaar	ReD	LGr m. Wt-Gr vl.	ReZaLo Z>L	HK		
202L0	3	1	Ploegsporen	Langwerpig	ReD	LBr-Gr m. LGr vl.	ReZaLo Z>L			
203L0	3	1	Natuurlijk	Cirkel	ZeD	LGr m. Br en LBr vl.	ReZaLo Z>L	Mg		
204L0	3	1	Paalkuil	Ovaal	ZeD	LBr-Gr m. LGr en Wt vl.	ReZaLo Z>L	Mg	Ce	
204L1	3	1	Kern			Gr m. Br en Br-Gr vl.				
204L2	3	1	Insteek			Br-Gr m. LGr vl.				
205L0	3	1	Paalkuil	Cirkel	ZeD	LBr-Gr m. LGr en LBr vl.	ReZaLo Z>L			
205L1	3	1				Br-Gr m. LGr vl.				
206L0	3	1	Natuurlijk	Ovaal	ZeD	LGr m. LBr-Gr en Br vl.	ReZaLo Z>L			
207L0	3	1	Paalkuil	Ovaal	ReD	Gr m. Br-Gr en Br vl.	ReZaLo Z>L	Mg		gedeeltelijk in proefsleuf, deel in proefsleuf 10-12 cm dieper afgegraven
207L1	3	1				Gr vl.				
208L0	3	1	Natuurlijk	Cirkel	ZeD	LGl-Br m. Br-Gr en Or-Br vl.	Z>L			3 sporen, 1 spoornummer. locatie van bomen die vlak voor de opgraving verwijderd zijn. veel wortels aanwezig. lengte en breedte variabel.
209L0	3	1	Kuil	Ovaal	ReD	Br-Gr vl.	ReZaLo Z>L			Niet getekend
209L1	3	1							Ce	
210L0	3	1	Paalkuil met kern	Cirkel		-Br-Gr vl.	ReZaLo Z>L			ligt tegen 172 aan, juist ten oosten
210L1	3	1				Br-Gr vl.			Ce	
210L2	3	1	Kern			Gr		HK		
210L3	3	1	Insteek			Gl m. Wt-Gr vl.				
210L4	3	1				DGr			St	
211L0	3	1	Paalkuil	Cirkel	ReD	LGr	ReZaLo Z>L			6de PK van spijker, doorsnijdt nat spoor

Spoor	Werkput/Sleuf	Vlak	Aard	Vorm	Aflijning	Kleur	Textuur	Bijmenging	Vondsten	Opmerkingen
211L1	3	1				LGr			Ce	
212L0	3	1	Paalkuil met kern	Ovaal		-Gr m. LBr-Gl-Gr vl.	ReZaLo Z>L			
212L1	3	1	Kern			Gr vl.			Ce	
212L2	3	1	Insteek			LBr-Gl				
213L0	3	1	Paalkuil met kern	Cirkel		LBr-Gl-Gr vl.	ReZaLo Z>L			
213L1	3	1	Kern			Gr vl.				
213L2	3	1	Insteek			LBr-Gl				
213L3	3	1				Gr-BI		HK	St	
214L0	3	1	Paalkuil met kern	Ovaal		Gr m. LBr-Gl-Br vl.	ReZaLo Z>L			
214L1	3	1	Kern			Gr vl.				
214L2	3	1	Insteek			LBr-Gl				
215L0	3	1	Paalkuil	Cirkel		LBr-Gl	ReZaLo Z>L			
215L1	3	1				LBr-Gl				
216L0	4	1	Natuurlijk	Ovaal	ReD	Br-Gr m. Gl-Br en LGr vl.	ReZaLo Z>L			
217L0	4	1	Natuurlijk	Ovaal	ReD	m. Gr en Br vl.	ReZaLo Z>L			
218L0	4	1	Greppel	Langwerpig	ReD	Gr m. Br-Gr vl.	ReZaLo Z>L	HK	Ce, St	
218L1	4	1				LGr m. Or-Gr vl.		HK	Ce	
219L0	4	1	Natuurlijk	Onregelmatig	ReD	Gr m. Br-Gr vl.	ReZaLo Z>L			
219L1	4	1				LGr				
220L0	4	1	Natuurlijk	Onregelmatig	ReD	Gr m. Br-Gr vl.	ReZaLo Z>L			
220L1	4	1				LGr				
221L0	4	1	Ploegsporen	Langwerpig	ReD	Gr m. Br-Gr vl.	ReZaLo Z>L			
222L0	4	1	Natuurlijk	Ovaal	ReD	Gr m. Br-Gr vl.	ReZaLo Z>L			
222L1	4	1				LGr m. DBr vl.				
223L0	4	1	Natuurlijk	Ovaal	ReD	Gr m. Br-Gr vl.	ReZaLo Z>L			
223L1	4	1				LGr				
224L0	4	1	Natuurlijk	Cirkel	ZeD	Br-Gr m. LGr en LGl-Br vl.	ReZaLo Z>L			
225L0	4	1	Paalkuil met kern	Vierkantig	ZeD	Br-Gr m. DGr sp.	ReZaLo Z>L	HK		
225L1	4	1	Kern			Gr		HK	St	
225L2	4	1	Insteek			LBr-Gr				
226L0	4	1	Natuurlijk	Ovaal	ZeD	Br-Gr m. Gr sp.	ReZaLo Z>L		Bo	
227L0	4	1	Paalkuil met kern	Ovaal	ReD	DGr m. Br-Gr vl.	ReZaLo Z>L	Mg		
227L1	4	1	Kern			DGr		HK		
227L2	4	1	Insteek			LGl-Br				
228L0	4	1	Paalkuil met	Ovaal	ReD	Gr m. Br vl.	ReZaLo	HK		

Spoor	Werkput/Sleuf	Vlak	Aard	Vorm	Aflijning	Kleur	Textuur	Bijmenging	Vondsten	Opmerkingen
			kern				Z>L			
228L1	4	1	Kern			Gr				
228L2	4	1	Insteek			LBr-Gl				
229L0	4	1	Kuil	Ovaal	ZeD	Br m. Zw-Gr en Gl-Br vl.	ReZaLo Z>L	HK		
229L1	4	1				Gr-Br m. Zw-Gl vl.		HK		
230L0	4	1	Paalkuil met kern	Cirkel	ReD	Gr m. Br-Gr vl.	ReZaLo Z>L	HK		
230L1	4	1	Kern			Gr		HK	St	
230L2	4	1	Insteek			LBr-Gr				
231L0	4	1	Natuurlijk	Ovaal	ReD	LGr m. Br vl.	ReZaLo Z>L	HK		
232L0	4	1	Natuurlijk	Cirkel	ReD	LGr-Wt m. Br-Gr vl.	ReZaLo Z>L	HK		
233L0	4	1	Natuurlijk	Ovaal	ReD	LGr m. Br-Gr vl.	ReZaLo Z>L	HK		
234L0	4	1	Paalkuil	Cirkel	ZeD	Br-Gr m. Gr en LGr-Wt vl.	ReZaLo Z>L	HK		
234L1	4	1				Gr		Bio		
235L0	4	1	Natuurlijk	Cirkel	ZeD	LGr-Wt m. LBr vl.	ReZaLo Z>L	HK		
236L0	4	1	Natuurlijk	Ovaal	ReD	LGr-Wt m. LBr-Gr vl.	ReZaLo Z>L	HK		
237L0	4	1	Natuurlijk	Ovaal	ReD	Gr m. LGr-Wt vl.	ReZaLo Z>L	HK		
238L0	4	1	Paalkuil	Cirkel	ReD	Gr m. Br-Gr vl.	ReZaLo Z>L			
238L1	4	1				LGr				
239L0	4	1	Kuil/Nat?	Niet zichtbaar	ZeD	LGr-Wt m. LGr en Br-Or vl.	ReZaLo Z>L			
240L0	4	1	Kuil/Nat?	Niet zichtbaar	ZeD	LWt-Gr m. LBr-Gr vl.	ReZaLo Z>L			
241L0	4	1	Natuurlijk	Cirkel	ReD	Br-Gr m. Gr vl.	ReZaLo Z>L			
242L0	4	1	Recent	Rechthoekig						betonnen fundament, onderdeel van speeltuin
243L0	4	1	Recent	Cirkel		Br				4 recente paaldorpen, onderdeel van speeltuin. 1 PKK bevat beton
244L0	4	1	Natuurlijk	Ovaal	ZeD	LGr m. Br-Gr vl.	ReZaLo Z>L	HK		
244L1	4	1				m. LGr en DGr vl.				
245L0	4	1	Natuurlijk	Ovaal	ZeD	Gr m. Br-Gr en DBr-Gr vl.	ReZaLo Z>L			
246L0	4	1	Paalkuil	Vierkantig	ReD	LGr m. LBr-Gr vl.	ReZaLo Z>L	HK		
246L1	4	1				LGr		HK		
247L0	4	1	Natuurlijk	Cirkel	ReD	DGr m. LGr sp.	ReZaLo Z>L			
248L0	4	1	Paalkuil met kern	Cirkel	ReD	DGr m. Or-Gl en LGr vl.	ReZaLo Z>L	HK		
248L1	4	1	Kern			Gr m. LGr vl.				
248L2	4	1	Insteek			LGr m. Gr en LGr- Br vl.				

Spoor	Werkput/Sleuf	Vlak	Aard	Vorm	Aflijning	Kleur	Textuur	Bijmenging	Vondsten	Opmerkingen
249L0	4	1	Recent	Cirkel		Br				4 recente paalkuilan, onderdeel van de speeltuin
250L0	4	1	Paalkuil met kern	Cirkel	Var	LBr-Gr m. Gr vl.	ReZaLo Z>L	HK		
250L1	4	1	Kern			Gr m. weinig Br-Gr vl.				
250L2	4	1	Insteek			LGr m. LGL-Br vl.				
251L0	4	1	Paalkuil met kern	Cirkel	ZeD	Br-Gr m. Gr vl.	ReZaLo Z>L	HK		
251L1	4	1	Kern			Gr m. DGr vl.				
251L2	4	1	Insteek			LGr m. LGL-Br en Br-Gr vl.				
252L0	4	1	Paalkuil met kern	Ovaal	ZeD	Br-Gr m. LGr vl.	ReZaLo Z>L			
252L1	4	1	Kern			LGr en Br-Gr vl.				
252L2	4	1	Insteek			LGr				
253L0	4	1	Kuil	Ovaal	ReD	Br-Gr m. LGr en Wt-Gr vl.	ReZaLo Z>L		Ce	
253L1	4	1	Kern			LGr en Gr lg.				
253L2	4	1	Insteek			Gr m. LGr en LBr-Gr vl.				
254L0	4	1	Paalkuil met kern	Cirkel	ZeD	LGr m. Wt-Gr en Or-Gl vl.	ReZaLo Z>L			
254L1	4	1	Kern			Gr m. LGr-Gl en Or-Br vl.				
254L2	4	1	Insteek			LGr m. Or-Br vl.				
255L0	4	1	Natuurlijk	Cirkel	ZeD	LGr m. LGL-Br vl.	ReZaLo Z>L			
256L0	4	1	Paalkuil met kern	Ovaal	ZeD	Gr m. LBr-Gr vl.	ReZaLo Z>L			
256L1	4	1	Kern			Gr m. Or-Br vl.				
256L2	4	1	Insteek			LGr-Wt m. Or-Br vl.				
257L0	4	1	Paalkuil met kern	Cirkel	ZeD	LGr m. LBr-Gr en LGL-Br vl.	ReZaLo Z>L			
257L1	4	1	Kern			LGr m. Or-Br vl.			Ce	
257L2	4	1	Insteek			LGr-Wt m. Or-Br vl.				
258L0	4	1	Paalkuil met kern	Cirkel	ZeD	LGr m. Br-Gr vl.	ReZaLo Z>L	HK	St	
258L1	4	1	Kern			Br-Gr m. Gr vl.				
258L2	4	1	Insteek			LGr m. Gl-Br vl.		Mg		
259L0	4	1	Natuurlijk	Langwerpig	ReD	LGr m. Br-Gr en DGr vl.	ReZaLo Z>L	HK		
259L1	4	1				Gr m. LGr en Br-Gr vl.				
260L0	4	1	Paalkuil	Ovaal	ZeD	Br m. Gr en LGL-Br vl.	ReZaLo Z>L			
260L1	4	1				DGr m. DGr-Br en Gl vl.				
261L0	4	1	Natuurlijk	Ei-vormig	ReD	Br m. Gl-Br vl.	ReZaLo Z>L			
262L0	4	1	Recent	Cirkel		Br		Beton		7 recente paalkuilan, onderdeel van speeltuin

Spoor	Werkput/Sleuf	Vlak	Aard	Vorm	Aflijning	Kleur	Textuur	Bijmenging	Vondsten	Opmerkingen
263L0	4	1	Natuurlijk	Cirkel	ReD	LBr-Gr m. LGr en Gl-Br sp.	ReZaLo Z>L			
264L0	4	1	Recent					Beton		9 recente paalkuilen, onderdeel speeltuin
265L0	4	1	Natuurlijk	Ovaal	ReD	Br-Gr m. Gr en Gl- Br vl.	ReZaLo Z>L	HK		
265L1	4	1				LGr m. Or vl.				
266L0	4	1	Boomval	Ovaal	ReD	Gr m. Br-Gr vl.	ReZaLo Z>L	HK		
266L1	4	1				LGr				
267L0	4	1	Recent			Br				5 recente PK, onderdeel van de speeltuin
268L0	4	1	Recent			Br		Beton		5 recente PK, onderdeel van de speeltuin
269L0	4	1	Paalkuil	Ei-vormig	ReD	Gr	ReZaLo Z>L	HK		
269L1	4	1				m. LGr en LBr vl.				
270L0	4	1	Natuurlijk	Ovaal	ZeD	Gr m. Gl-Or vl.	ReZaLo Z>L			
271L0	4	1	Kuil	Ei-vormig	ZeD	Br-Or m. LGl-Br en Or-Br vl.	ReZaLo Z>L	HK		waarsch brandkluis met resten houtschoor en verbrande leem
271L1	4	1				LBr-Or		HK		
271L2	4	1				LGl-Br				
272L0	4	1	Paalkuil met kern	Cirkel	ReD	Gr m. Br-Gl vl.	ReZaLo Z>L	HK		
272L1	4	1	Kern			Gr				
272L2	4	1	Insteek			LGl-Br				
273L0	4	1	Paalkuil	Ovaal	ZeD	LGr m. Br-Gr en Or vl.	ReZaLo Z>L			
273L1	4	1				LGr-Wt				
274L0	4	1	Natuurlijk	Ovaal	ReD	LGr m. Br-Gr vl.	ReZaLo Z>L			
275L0	4	1	Paalkuil	Cirkel	ZeD	DGr m. Br-Gr en Gl-Br vl.	ReZaLo Z>L	HK		
275L1	4	1				Gr en Wt vl.				
276L0	4	1	Natuurlijk	Ovaal	ReD	LGr m. Br-Gr vl.	ReZaLo Z>L			
277L0	4	1	Paalkuil met kern	Ovaal	ReD	DGr m. Br-Gr en Br vl.	ReZaLo Z>L	HK		
277L1	4	1	Kern			Gr		HK	Ce, St	
277L2	4	1	Insteek			LBr-Gl				
278L0	4	1	Natuurlijk	Ovaal	ReD	Br-Gr m. Wt-Gr vl.	ReZaLo Z>L	HK		
279L0	4	1	Natuurlijk	Cirkel	ZeD	Br-Gr m. Or-Br vl.	ReZaLo Z>L	HK		
280L0	4	1	Paalkuil	Cirkel	ReD	DGr m. Br-Gr vl.	ReZaLo Z>L	HK		
280L1	4	1				Gr en Wt vl.				
281L0	4	1	Paalkuil	Cirkel	ReD	Gr m. Wt-Gr vl.	ReZaLo Z>L	HK		
281L1	4	1				LGr-Wt				
282L0	4	1	Paalkuil met	Ovaal	ReD	Gr	ReZaLo	HK		

Spoor	Werkput/Sleuf	Vlak	Aard	Vorm	Aflijning	Kleur	Textuur	Bijmenging	Vondsten	Opmerkingen
			kern				Z>L			
282L1	4	1	Kern			Gr vl.			St	
282L2	4	1	Insteek			LBr-Gl				
283L0	4	1	Paalkuil	Ovaal	ReD	DGr m. Br-Gr vl.	ReZaLo Z>L	HK		
283L1	4	1				DGr		HK	St	
284L0	4	1	Paalkuil met kern	Ovaal	ReD	DGr m. Gr vl.	ReZaLo Z>L	HK		
284L1	4	1	Kern			Gr		HK		
284L2	4	1	Insteek			LBr-Gl				
285L0	4	1	Paalkuil	Ovaal	ReD	Gr m. Br-Gr vl.	ReZaLo Z>L	HK		
285L1	4	1				Gr-Gl		HK		
286L0	4	1	Paalkuil met kern	Cirkel	ReD	DGr m. LGr sp.	ReZaLo Z>L	HK, HK		
286L1	4	1	Kern			DGr		HK		
286L2	4	1	Insteek			LGI-Or vl.				
287L0	4	1	Paalkuil	Cirkel	ReD	LGr m. Or en Br-Gr vl.	ReZaLo Z>L			bodem PK?/ niet getekend in coupe
288L0	4	1	Paalkuil	Cirkel	ReD	DGr m. LGr en Or vl.	ReZaLo Z>L	HK		
288L1	4	1				Wt m. LBr en LGr vl.			St	
289L0	4	1	Paalkuil met kern	Cirkel	ReD	DGr m. LGr en Br-Go vl.	ReZaLo Z>L	HK		
289L1	4	1	Kern			LGr m. LGI vl.			St	
289L2	4	1	Insteek			LGI-Br				
290L0	4	1	Natuurlijk	Ovaal	ReD	DGr m. Br-Gr en GI-Br vl.	ReZaLo Z>L			
291L0	4	1	Natuurlijk	Cirkel	ReD	Gr m. LGI-Br vl.	ReZaLo Z>L			
292L0	4	1	Greppel	Langwerpig	ReD	Gr m. Br-Gr vl.	ReZaLo Z>L	HK		
292L1	4	1				LGr m. LGI vl.			St	
293L0	4	1	Natuurlijk	Ovaal	ReD	LGr m. LGI-Gr en LBr-Gr vl.	ReZaLo Z>L			
294L0	4	1	Natuurlijk	Ovaal	ReS	Br m. LGr vl.	ReZaLo Z>L	BC, HK		
295L0	4	1	Kuil	Ei-vormig	ReD	Gr m. Br-Gr vl.	ReZaLo Z>L	HK		
295L1	4	1				LGr-Br m. DBr vl.				
296L0	4	1	Paalkuil	Cirkel	ReD	Gr m. LGr sp.	ReZaLo Z>L	HK		oversnijdt of wordt oversneden door S292.
296L1	4	1				LGr m. LGI vl.				
297L0	4	1	Natuurlijk	Ovaal	ReD	LGr m. Br-Gr vl.	ReZaLo Z>L	HK		
298L0	4	1	Recent			Br				7 recente paalkuilen, onderdeel van de speeltuin
299L0	4	1	Natuurlijk	Ovaal	ZeD	DGr-Br m. LGr en GI-Br vl.	ReZaLo Z>L	HK		
300L0	4	1	Natuurlijk	Cirkel	ZeD	LGr-Wt m. LBr en Gr vl.	ReZaLo Z>L			

Spoor	Werkput/Sleuf	Vlak	Aard	Vorm	Aflijning	Kleur	Textuur	Bijmenging	Vondsten	Opmerkingen
301L0	4	1	Recent			Br				voorlopig 2 recente paalkuilen, onderdeel van speeltuin, mogelijk meer recente paalkuilen in WP 5
302L0	4	1	Kuil	Ovaal	ReD	LGr m. Br-Gr en Gl-Br vl.	ReZaLo Z>L	HK		
302L1	4	1				LGr				
303L0	4	1	Kuil	Ei-vormig	ReD	LGr m. Br-Gr en Gl-Br vl.	ReZaLo Z>L	HK		
303L1	4	1				LGr m. LGr vl.				
304L0	4	1	Natuurlijk	Cirkel	ZeD	Br-Gr m. LGr en Gl-Br vl.	ReZaLo Z>L	HK		
305L0	4	1	Natuurlijk	Ovaal	ZeD	LGr m. DGr en Or-Br vl.	ReZaLo Z>L	HK		
306L0	4	1	Natuurlijk	Ovaal	ReD	LGr m. Br-Gr en Gr vl.	ReZaLo Z>L			
307L0	4	1	Kuil	Nier-vormig	ReD	Gr m. LGr en Br-Gr vl.	ReZaLo Z>L			
308L0	4	1	Paalkuil met kern	Ovaal	ZeD	LGr m. Br-Gr en Gl-Br vl.	ReZaLo Z>L	HK		
308L1	4	1	Kern			Gr		HK		
308L2	4	1	Insteek			LBr en Gl vl.				
309L0	4	1	Natuurlijk	Cirkel	ZeD	Gr m. LBr-Gr en Wt-Gr vl.	ReZaLo Z>L			
310L0	4	1	Paalkuil met kern	Ovaal	ReD	Bl-Gr m. Gr-Br en Wt-Gr vl.	ReZaLo Z>L	HK		
310L1	4	1	Kern			LGr m. LGr vl.				
310L2	4	1	Insteek			DGr-Br				
311L0	4	1	Paalkuil met kern	Cirkel	ReD	DGr m. Gr-Wt vl.	ReZaLo Z>L	HK		reeds gecoupeerd in de proefsleuf
311L1	4	1	Kern			LGr		HK	St	
311L2	4	1	Insteek			LGr				
312L0	4	1	Paalkuil	Ovaal	ReD	Gr m. LBr-Gr vl.	ReZaLo Z>L	HK		
312L1	4	1				Gr		HK	St	
313L0	4	1	Paalkuil	Cirkel	ReD	DGr-Zw m. LGr vl.	ReZaLo Z>L	HK		
313L1	4	1				DGr en		HK	St	
314L0	4	1	Paalkuil	Cirkel	ReD	Wt-Gr m. Gr vl.	ReZaLo Z>L	HK		
314L1	4	1				LGr-Wt en Gr vl.		HK		
315L0	4	1	Natuurlijk	Niet zichtbaar	ReD	Gr m. Br-Gr en Gl-Br vl.	ReZaLo Z>L	HK		
315L1	4	1				Gr m. LGr en Or-Gl vl.				
316L0	4	1	Paalkuil met kern	Cirkel	ReD	Gr m. Gr-Wt en LBr vl.	ReZaLo Z>L	HK		
316L1	4	1	Kern			Gr m. LGo-Gr en Gl-Or vl.				
316L2	4	1	Insteek			LGo-Gr m. Or-Gl en Gr vl.				
317L0	4	1	Paalkuil met kern	Ovaal	ZeD	Gr m. LGr-Go vl.	ReZaLo Z>L	HK		

Spoor	Werkput/Sleuf	Vlak	Aard	Vorm	Aflijning	Kleur	Textuur	Bijmenging	Vondsten	Opmerkingen
317L1	4	1	Kern			Gr en LGo-Gr vl.				
317L2	4	1	Insteek			LGo-Gr				
318L0	4	1	Natuurlijk	Onregelmatig	ReD	Gr m. Br-Gr en Gr-Wt vl.	ReZaLo Z>L	HK		8-vormig, mogelijk 2 PK
319L0	4	1	Ploegsporen	Langwerpig	ReD	Br-Gr m. LGr vl.	ReZaLo Z>L			
320L0	4	1	Kuil	Ovaal	ReD	Br-Gr m. LGr en Or-Br vl.	ReZaLo Z>L	HK, HK		
320L1	4	1				Wt-Gr m. LBr-Gr en Br vl.				
321L0	4	1	Boomval	Nier-vormig	ReD	Wt-Gr m. LBr-Gr en Gr vl.	ReZaLo Z>L			
321L1	4	1				Wt-Gr vl.			Ce, Bo	
322L0	4	1	Natuurlijk		ReD	Wt-Gr m. DGr vl.	Z>L			
323L0	4	1	Boomval	Nier-vormig	ReD	Wt-Gr m. Br en Gr vl.	ReZaLo Z>L			
324L0	4	1	Natuurlijk	Onregelmatig	ZeD	LBr-Gr m. Gl-Br en Gr vl.	ReZaLo Z>L			
325L0	4	1	Boomval	Langwerpig	ReD	Wt-Gr m. LBr-Gr en Gr vl.	ReZaLo Z>L			
325L1	4	1				Wt-Gr vl.			Ce	
326L0	5	1	Paalkuil	Cirkel	ReD	DZw-Gr m. DBr vl.	ReZaLo Z>L	HK	Ce	doorsneden door ploegspoor
326L1	5	1				DGr-Zw m. LBr vl.				
327L0	5	1	Recent			Br	Z>L			3 recente PK, onderdeel van speeltuin
328L0	5	1	Greppel	Langwerpig	ReD	Gr m. LBr-Gr en Gl vl.	ReZaLo Z>L	HK		
328L1	5	1				LGr en Br vl.				
329L0	5	1	Natuurlijk	Cirkel	ReD	Gr m. Br-Gr vl.	ReZaLo Z>L	HK		
330L0	5	1	Natuurlijk	Nier-vormig	ReD	Br-Gr m. Gr en Or-Br vl.	ReZaLo Z>L			dubbel paalspoor?
331L0	5	1	Recent			Br	Z>L			4 recente paalkuilen, onderdeel van speeltuin
332L0	5	1	Paalkuil	Cirkel	ReD	-Gr m. Br-Gr en Gl-Br vl.	ReZaLo Z>L	HK		
333L0	5	1	Natuurlijk	Ovaal	ReD	DGr-Zw m. LBr-Gl-Br vl.	ReZaLo Z>L	HK, HK		
334L0	5	1	Natuurlijk	Ovaal	ZeD	Wt-Gr m. Br-Gr en Or-Gl vl.	ReZaLo Z>L			
335L0	5	1	Paalkuil	Cirkel	ReD	Gr m. LBr-Gr en Gl-Br vl.	ReZaLo Z>L	HK, HK		
335L1	5	1							St	
336L0	5	1	Paalkuil met kern	Ei-vormig	ReD	Gr m. LBr-Gr vl.	ReZaLo Z>L	HK		
336L1	5	1	Kern			Gr m. LGr en Br-Gr vl.		HK		
336L2	5	1	Insteek			Wt-Gr		HK		
337L0	5	1	Paalkuil met kern	Cirkel	ReD	LGr m. DGr-Zw vl.	ReZaLo Z>L	HK		
337L1	5	1	Kern			Gr				
337L2	5	1	Insteek			LBr				

Spoor	Werkput/Sleuf	Vlak	Aard	Vorm	Aflijning	Kleur	Textuur	Bijmenging	Vondsten	Opmerkingen
338L0	5	1	Paalkuil met kern	Ovaal	ReD	LBr m. DGr-Zw en LGr vl.	ReZaLo Z>L	VL, HK	Ce	
338L1	5	1				DGr m. Br-Gr en LGr vl.		HK	Ce	
338L2	5	1	Kern			LGr m. Gr en Br vl.		HK, VL	Ce, St	
338L3	5	1	Insteek			Or-Br m. LGr-Br en LGr vl.		Mg		
338L4	5	1				Wt en Or lg.		HK		
339L0	5	1	Paalkuil	Cirkel	ReD	Gr m. LBr-Gr en Or-Br vl.	ReZaLo Z>L	HK		
339L1	5	1				Gr vl.				
340L0	5	1	Paalkuil met kern	Ovaal	ReD	Gr-Br	ReZaLo Z>L	HK	Ce	
340L1	5	1	Kern			Gr vl.				
340L2	5	1	Insteek			LBr-Gl				
341L0	5	1	Paalkuil met kern	Cirkel	ReD	Gr m. LBr-Gr en Or-Br vl.	ReZaLo Z>L	HK		
341L1	5	1				Br-Gr en Gr vl.		HK	Ce	
341L2	5	1	Kern			Gr m. Or-Br en LGr vl.		HK		
341L3	5	1	Insteek			LGr m. Or-Br vl.				
342L0	5	1	Paalkuil met kern	Cirkel	ReD	Gr m. DGr-Zw en Br vl.	ReZaLo Z>L	VL, HK	Ce	
342L1	5	1				Br-Gr		HK, Verbrand bot	Ce, St	
342L2	5	1	Kern			DGr-Br		HK		
342L3	5	1	Insteek			LBr-Gl				
343L0	5	1	Paalkuil	Cirkel	ReD	LGr m. LBr-Gr en Gr vl.	ReZaLo Z>L			
343L1	5	1				Gr m. LGr vl.				
344L0	5	1	Paalkuil	Cirkel	ReD	Gr m. LBr-Gr en Gl-Br vl.	ReZaLo Z>L	HK		
344L1	5	1				Gr m. LBr-Gl vl.				
345L0	5	1	Paalkuil	Cirkel	ReD	Br m. LGr sp.	ReZaLo Z>L	HK		
345L1	5	1				Br m. LGo-Gr vl.		HK		
346L0	5	1	Kuil	Nier-vormig	ReD	LGr m. LBr-Gr vl.	ReZaLo Z>L			
346L1	5	1				LGr-Wt vl.				
347L0	5	1	Paalkuil	Ovaal	ReD	LGr m. Br en Br-Gr vl.	ReZaLo Z>L			
347L1	5	1				LGr-Wt			Si	
348L0	5	1	Paalkuil	Rechthoekig	ReD	LGr m. Br-Gr vl.	ReZaLo Z>L			
348L1	5	1				LGr-Wt				
349L0	5	1	Paalkuil met kern	Cirkel	ReD	Gr-Br m. LGr vl.	ReZaLo Z>L			
349L1	5	1				Gr m. LGr en Br-Gr vl.		HK		
349L2	5	1	Kern			LGr m. Gr en LOr-Br vl.		HK		

Spoor	Werkput/Sleuf	Vlak	Aard	Vorm	Aflijning	Kleur	Textuur	Bijmenging	Vondsten	Opmerkingen
349L3	5	1	Insteek			LGr m. Or-Br vl.	ReZaLo Z>L			
350L0	5	1	Paalkuil met kern	Cirkel	ReD	Gr-Br m. LBr-Gr vl.	ReZaLo Z>L	HK	Ce	
350L1	5	1				LGr m. LBr en Or-Br vl.		Mg		
350L2	5	1				Br-Wt m. LGr en Or-Br vl.		Mg		
351L0	5	1	Paalkuil met kern	Cirkel	ReD	Gr m. Br-Gr vl.	ReZaLo Z>L	HK		
351L1	5	1				Gr m. LGr en Or-Br vl.		HK		
352L0	5	1	Paalkuil	Cirkel	ReD	Gr m. Br-Gr en LGr vl.	ReZaLo Z>L	HK		
352L1	5	1				Gr m. LGr-Gr en Or-Br vl.				
353L0	5	1	Paalkuil met kern	Cirkel	ReD	Br-Gr m. LGr sp.	ReZaLo Z>L	HK		
353L1	5	1				Gr m. LBr-Gr en Or-Br vl.			Ce	
354L0	5	1	Paalkuil met kern	Cirkel	ReD	Gr m. Br-Gr en LGr-Wt vl.	ReZaLo Z>L	HK		
354L1	5	1	Kern			Gr m. LGr en Or-Br sp.		HK		
354L2	5	1	Insteek			LGr m. Or-Br vl.				
355L0	5	1	Paalkuil met kern	Ovaal	ReD	DGr m. Br-Gr en LGr sp.	ReZaLo Z>L	VL, HK		
355L1	5	1				Gr m. Br vl.		HK	St	
355L2	5	1	Kern			Gr m. Gr-Wt vl.		HK		
355L3	5	1	Insteek			Wt-Gr m. Or-Br vl.		HK		
356L0	5	1	Paalkuil met kern	Cirkel	ReD	LGr m. LBr-Gr en DGr vl.	ReZaLo Z>L	HK		
356L1	5	1	Kern			Gr m. Or-Br vl.		HK	Ce	
356L2	5	1	Insteek			Or-Br m. Wt-Gr vl.		HK		
357L0	5	1	Paalkuil met kern	Ovaal	ReD	LBr-Gr m. LGr vl.	ReZaLo Z>L	HK		
357L1	5	1	Kern			Gr-Br m. LGr en Rd-Br vl.				
357L2	5	1	Insteek			Wt-Gr m. Or-Br en LGr vl.		HK		
358L0	5	1	Natuurlijk	Ovaal	ReD	LGr m. LBr-Gr vl.	ReZaLo Z>L	HK		
359L0	5	1	Paalkuil met kern	Cirkel	ReD	LGr m. LBr-Gr vl.	ReZaLo Z>L	HK		
359L1	5	1	Kern			Br-Gr m. Wt-Gr lg.		HK		
359L2	5	1	Insteek			Wt-Gr m. Gr en Br-Gr vl.		HK		
360L0	5	1	Paalkuil met kern	Cirkel	ReD	LGr m. LGr-Br vl.	ReZaLo Z>L			
360L1	5	1				LGr m. Wt-Gr en Br-Gr vl.		Mg		
360L2	5	1	Kern			Wt-Gr m. Or-Br vl.		Mg		

Spoor	Werkput/Sleuf	Vlak	Aard	Vorm	Aflijning	Kleur	Textuur	Bijmenging	Vondsten	Opmerkingen
360L3	5	1	Insteek			Or-Br m. Wt-Gr vl.				
361L0	5	1	Paalkuil met kern	Cirkel	ReD	LBr-Gr m. Gr-Br vl.	ReZaLo Z>L			
361L1	5	1				Gr-Br m. Br vl.		Mg		
361L2	5	1	Kern			Wt-Gr m. LGr en Or-Br vl.		Mg		
361L3	5	1	Insteek			Wt-Gr m. Br vl.		Mg		
362L0	5	1	Paalkuil	Cirkel	ReD	LGr m. LBr-Gr vl.	ReZaLo Z>L	HK		
362L1	5	1				Gr-Br m. Wt-Gr en Or-Br vl.		HK		
362L2	5	1				Wt-Gr m. Or-Br vl.		HK		
363L0	5	1	Paalkuil met kern	Cirkel	ReD	LGr m. LBr-Gr vl.	ReZaLo Z>L	HK		
363L1	5	1				Gr-Br m. LGr en Or-Br vl.		HK		
363L2	5	1	Kern			Wt-Gr m. Or-Br vl.		HK		
363L3	5	1	Insteek			Or-Br m. Wt-Gr		HK		
364L0	5	1	Paalkuil met kern	Cirkel	ReD	Gr m. LBr-Gr en Gr vl.	ReZaLo Z>L	HK		
364L1	5	1				Gr m. LGr en Or-Br vl.		HK		
364L2	5	1	Kern			Gr-Wt m. Or-Br en LGr vl.		HK		
364L3	5	1	Insteek			Wt-Gr en Or-Br vl.				
365L0	5	1	Paalkuil	Cirkel	ZeD	LBr-Gr m. Or-Br en LGr sp.	ReZaLo Z>L	HK		
365L1	5	1				Br en Gr vl.				
366L0	5	1	Kuil	Rechthoekig	ReD	Gr m. LBr vl.	ReZaLo Z>L			oversnijdt s367
366L1	5	1				Gr m. Br-Gr en Br vl.				
367L0	5	1	Natuurlijk	Onregelmatig	ReD	LGr m. GI-Br vl.	ReZaLo Z>L			
368L0	5	1	Kuil	Ovaal	ReD	LGr-Wt m. LBr-Gr sp.	ReZaLo Z>L			
368L1	5	1				Gr m. Wt-Gr vl.				
369L0	5	1	Natuurlijk	Cirkel	ReD	LBr-Gr m. LGr vl.	ReZaLo Z>L			
370L0	5	1	Natuurlijk	Cirkel	ReD	LBr-Gr m. LGr vl.	ReZaLo Z>L			
371L0	5	1	Paalkuil	Ovaal	ReD	LGr m. Br-Gr vl.	ReZaLo Z>L			
371L1	5	1				LGr en Br-Gr vl.				
372L0	5	1	Natuurlijk	Cirkel	ReD	Gr m. Br-Gr vl.	ReZaLo Z>L	HK		
373L0	5	1	Paalkuil	Cirkel	ReD	Gr m. Br-Gr vl.	ReZaLo Z>L	HK		
374L0	5	1	Paalkuil	Ovaal	ZeD	LBr-Gr	ReZaLo Z>L			
375L0	5	1	Paalkuil met	Ovaal	ReD	Wt-Gr m. LBr-Gr	ReZaLo			

Spoor	Werkput/Sleuf	Vlak	Aard	Vorm	Aflijning	Kleur	Textuur	Bijmenging	Vondsten	Opmerkingen
			kern			vl.	Z>L			
376L0	5	1	Natuurlijk	Ovaal	ReD	Gr m. Br-Gr en LGr-Br vl.	ReZaLo Z>L			
377L0	5	1	Paalkuil met kern	Ovaal	ReD	LBr-Gr m. LGr en LGr-Br vl.	ReZaLo Z>L			
377L1	5	1	Kern			LGr-Br vl.		HK		
377L2	5	1	Insteek			LBr-Gr m. LBr vl.				
378L0	5	1	Natuurlijk	Cirkel	ReD	DGr m. Br-Gr vl.	ReZaLo Z>L	HK		
379L0	5	1	Kuil	Ovaal	ReD	Gr m. LGr en LBr vl.	ReZaLo Z>L	HK		
379L1	5	1				Gr m. Br-Or vl.				
380L0	6	1	Paalkuil	Ovaal	ReD	Br-Gr m. LGr vl.	ReZaLo Z>L			
380L1	6	1				Gr gebioturbeerd		Bio		
380L2	6	1				LGr-Wt				
381L0	6	1	Natuurlijk	Cirkel	ZeD	LGr-Br m. Br en Gr vl.	ReZaLo Z>L			
382L0	6	1	Natuurlijk	Ovaal	ReD	Br-Gr m. LGr vl.	ReZaLo Z>L			
383L0	6	1	Natuurlijk	Ovaal	ReD	LGr m. Br-Gr en LGr-Br vl.	ReZaLo Z>L	HK		
384L0	6	1	Greppel	Langwerpig	ReD	LGr m. Br-Gr vl.	ReZaLo Z>L	HK		
384L1	6	1				m. Br-Gr en Wt-Gr vl.		Mg, HK	Ce	
384L2	6	1				m. LGr en Gr vl.				
385L0	6	1	Natuurlijk	Ovaal	ReD	Gr-Br m. LGr en Or-Br vl.	ReZaLo Z>L	HK		
386L0	6	1	Natuurlijk	Ovaal	ZeD	Gr m. LGr en Br-Gr vl.	ReZaLo Z>L			
387L0	6	1	Natuurlijk	Cirkel	ZeD	LGr-Br m. Br vl.	ReZaLo Z>L	Mg		
388L0	6	1	Natuurlijk	Cirkel	ReD	LGr m. LBr vl.	ReZaLo Z>L	HK		
388L1	6	1				LGr m. LBr-Gr vl.				
389L0	6	1	Natuurlijk	Onregelmatig	ReD	LGr m. Gr en Br vl.	ReZaLo Z>L	HK		
389L1	6	1				Gr m. LGr en Br vl.				
390L0	6	1	Paalkuil	Cirkel	ReD	LGr m. Br-Gr vl.	ReZaLo Z>L	HK		
390L1	6	1				LGr m. LBr-Or en Or-Br vl.				
391L0	6	1	Natuurlijk	Cirkel	ReD	LGr m. LBr vl.	ReZaLo Z>L	HK		
391L1	6	1				Gr m. DGr en LBr vl.				
392L0	6	1	Natuurlijk	Langwerpig	ReD	Gr m. LGr en LBr-Gr vl.	ReZaLo Z>L	HK		
392L1	6	1				Gr m. DGr en LBr vl.				
393L0	6	1	Paalkuil met kern	Vierkantig	ReD	Gr m. LGr en LBr vl.	ReZaLo Z>L	HK		

Spoor	Werkput/Sleuf	Vlak	Aard	Vorm	Aflijning	Kleur	Textuur	Bijmenging	Vondsten	Opmerkingen
393L1	6	1	Kern			Gr m. Br-Gr vl.				
393L2	6	1	Insteek			Wt-Gr m. Or-Gl vl.				
394L0	6	1	Natuurlijk	Langwerpig	ReD	m. LGr en Br-Gr vl.	ReZaLo Z>L			
395L0	6	1	Natuurlijk	Ovaal	ReD	Gr m. Br-Gr en DGr vl.	ReZaLo Z>L	HK		
396L0	6	1	Natuurlijk	Cirkel	ReD	DGr m. Br vl.	ReZaLo Z>L	HK		
397L0	6	1	Ploegsporen	Langwerpig	ReS	Br-Gr	ReZaLo Z>L	HK, BC		
398L0	6	1	Kuil	Rechthoekig	ReS	Br-Gr m. Gl-Br vl.	ReZaLo Z>L	BC, HK	Fa	bevatte bot van een groot zoogdier, mogelijk paard, ook hoefijzer gevonden, vrij recent
399L0	6	1	Paalkuil met kern	Cirkel	ReD	m. LGr en Br-Gr vl.	ReZaLo Z>L	HK		
399L1	6	1	Kern			Gr m. Or-Br vl.		HK	St	
399L2	6	1	Insteek			Gr m. LGr en Or-Br vl.				
400L0	6	1	Paalkuil met kern	Cirkel	ReD	LGr m. Gr-Wt vl.	ReZaLo Z>L	HK		
400L1	6	1				Gr-Br m. Wt-Gr vl.		HK		
401L0	6	1	Paalkuil met kern	Ovaal	ZeD	LBr-Gr m. LGr en Or-Gl vl.	ReZaLo Z>L			
401L1	6	1	Kern			m. Gr en LBr-Gr vl.				
401L2	6	1	Insteek			m. Or-Br en Gr-Wt vl.				
402L0	6	1	Natuurlijk	Ovaal	ReD	Gr m. LGr en Or-Gl vl.	ReZaLo Z>L	HK		
403L0	6	1	Paalkuil met kern	Cirkel	ZeD	LGr m. LBr-Gr en LGl vl.	ReZaLo Z>L			
403L1	6	1	Kern			Gr en LBr-Gr vl.		HK		
403L2	6	1	Insteek			LGl-Br m. Or-Br vl.				
404L0	6	1	Paalkuil met kern	Cirkel	ReD	LGr m. LBr-Gr en LGr-Wt vl.	ReZaLo Z>L	HK		
404L1	6	1	Kern			m. Gr en LGr vl.		Mg		
404L2	6	1	Insteek			LGl-Br m. Or-Gl vl.				
405L0	6	1	Paalkuil met kern	Cirkel	ZeD	LGr m. LBr-Gr en LGl vl.	ReZaLo Z>L	HK		
405L1	6	1	Kern			Gr en LGr-Gl vl.				
405L2	6	1	Insteek			LGr-Wt m. Or-Gl en LBr vl.				
406L0	6	1	Paalkuil met kern	Rechthoekig	ReD	DGr-Zw m. Gl-Br en Or-Br vl.	ReZaLo Z>L	HK		
406L1	6	1	Kern			DGr-Zw m. Gr-Wt vl.		HK		
406L2	6	1	Insteek			LBr-Gr m. Gr en Wt-Gr vl.				
407L0	6	1	Paalkuil	Rechthoekig	ReD	DGr-Zw m. Gl-Br en Or-Br vl.	ReZaLo Z>L	HK		

Spoor	Werkput/Sleuf	Vlak	Aard	Vorm	Aflijning	Kleur	Textuur	Bijmenging	Vondsten	Opmerkingen
407L1	6	1				DGr-Zw m. Wt-Gr en Or-Gl vl.		HK		
408	6	1	Paalkuil	Rechthoekig	ReD	DGr-Zw m. Gl-Br en LBr vl.	ReZaLo Z>L	HK		
408L1	6	1				DGr-Zw m. LGr en Or-Gl vl.				
409	6	1	Paalkuil met kern	Ovaal	ReD	LGr m. Wt-Gr vl.	ReZaLo Z>L			
409L1	6	1	Kern			Gr m. Wt-Gr en Or-Br vl.				
409L2	6	1	Insteek			m. Br-Gr en LGr-Gl vl.				
409L3	6	1				m. Wt-Gr en Or-Gl vl.				
410	6	1	Paalkuil met kern	Cirkel	ReD	LBr-Gr m. Wt-Gr vl.	ReZaLo Z>L			
410L1	6	1	Kern			LGr m. Wt-Gr vl.		HK		
410L2	6	1	Insteek			LGr m. Or-Gl vl.				
411	6	1	Paalkuil	Cirkel	ReD	Gr m. LGr vl.	ReZaLo Z>L			
411L1	6	1				Gr en LGr lg.				
412	6	1	Paalkuil	Cirkel	ZeD	m. LBr-Gr en LGr vl.	ReZaLo Z>L			
412L1	6	1				Br-Gr m. LGr en Or-Gl vl.				
412L2	6	1				LGr m. LBr-Gr vl.				
413	6	1	Natuurlijk	Ovaal		LGr m. Br-Gr vl.	ReZaLo Z>L	HK		
414	6	1	Paalkuil met kern	Ovaal	ZeD	Or-Gl m. LGr en Gr vl.	ReZaLo Z>L			
414L1	6	1	Kern			LGr m. Or-Br vl.				
414L2	6	1	Insteek			LBr-Gr m. LGr en Or-Gl vl.		HK		
415	6	1	Paalkuil	Ovaal	ZeD	Or-Gl m. LGr en Gr vl.	ReZaLo Z>L			
415L1	6	1				LBr-Gr en LGr vl.		HK		
416	6	1	Paalkuil met kern	Cirkel	ZeD	Or-Gl m. LGr en Gr vl.	ReZaLo Z>L			
416L1	6	1	Kern			LBr-Gr m. LGr en Wt-Gr vl.		HK	St	
416L2	6	1	Insteek			Or-Gl m. Wt-Gr vl.				
417	6	1	Paalkuil met kern	Ovaal	ZeD	LGr m. LBr-Gr vl.	ReZaLo Z>L	HK		
417L1	6	1	Kern			Wt-Gr en LBr-Gr vl.		HK		
417L2	6	1	Insteek			Or-Gl m. Wt-Gr vl.				
418	6	1	Paalkuil met kern	Ovaal	ZeD	LGr m. LBr-Gr vl.	ReZaLo Z>L			
418L1	6	1	Kern			LGr m. Wt-Gr en Or-Br vl.		HK		
418L2	6	1	Insteek			Wt-Gr m. Or-Gl vl.				
419	6	1	Recent							

Spoor	Werkput/Sleuf	Vlak	Aard	Vorm	Aflijning	Kleur	Textuur	Bijmenging	Vondsten	Opmerkingen
420	6	1	Paalkuil met kern	Cirkel	ReD	LGr m. LBr-Gr vl.	ReZaLo Z>L			
420L1	6	1				LBr-Gr m. LGr en Or-Br vl.				
420L2	6	1	Kern			Gr m. Or-Br vl.		HK		
420L3	6	1	Insteek			Wt-Gr en Or-Gl vl.				
421	6	1	Natuurlijk	Ei-vormig	ReD	DGr-Zw	ReZaLo Z>L	HK		
421L1	6	1				DGr m. Gr en Gl-Br vl.				
422	6	1	Natuurlijk	Ovaal	ReD	DGr m. Br-Gr vl.	ReZaLo Z>L	HK		
423	6	1	Natuurlijk	Ovaal	ReD	DGr-Zw m. LGl vl.	ReZaLo Z>L	HK		
423L1	6	1				DGr-Zw m. Br en Gl-Br vl.				
424	7	1	Kuil	Niet zichtbaar	ZeD	m. Wt-Gr en LBr-Gr vl.	ReZaLo Z>L			
424L1	7	1				Wt-Gr m. LBr-Gr lg.			Ce	
425	7	1	Kuil	Ovaal	ReD	m. Gr en Br-Gr vl.	ReZaLo Z>L			
426	7	1	Natuurlijk	Ovaal	ReD	Wt-Gr m. Br-Gr vl.	ReZaLo Z>L			
427	7	1	Natuurlijk	Ovaal	ReD	Wt-Gr m. Br-Gr en Or vl.	ReZaLo Z>L			
428	7	1	Natuurlijk	Ovaal	ReD	LGr m. Br-Gr vl.	ReZaLo Z>L			
429	7	1	Natuurlijk	Onregelmatig	ReD	LGr m. Br-Gr vl.	ReZaLo Z>L			
430	7	1	Greppel	Langwerpig	ReD	Gr m. LGr en Gl-Br vl.	ReZaLo Z>L	HK		
430L1	7	1				Gr m. Br-Gr en Gl-Or vl.				
431	7	1	Paalkuil	Rechthoekig	ReD	Gr m. Br-Gr en DGr-Zw vl.	ReZaLo Z>L	HK, HK		
431L1	7	1				DGr m. LGr en Br-Gr vl.		HK		
432	7	1	Natuurlijk	Ovaal	ReD	Wt-Gr m. Br-Gr vl.	ReZaLo Z>L			
433	7	1	Natuurlijk	Cirkel	ReD	Wt-Gr m. Br-Gr vl.	ReZaLo Z>L			
434	7	1	Natuurlijk	Niet zichtbaar	ReD	m. Wt-Gr en Br-Gr vl.	ReZaLo Z>L			
435	7	1	Natuurlijk	Cirkel	ReD	Wt-Gr m. Br-Gr vl.	ReZaLo Z>L			
436	7	1	Natuurlijk	Niet zichtbaar	ReD	Wt-Gr m. LGl-Br en Br-Gr vl.	ReZaLo Z>L			
437	7	1	Natuurlijk	Ovaal	ReD	en Gr vl.	ReZaLo Z>L	HK		
438	7	1	Natuurlijk	Ovaal	ReD	DGr m. Gl-Br vl.	ReZaLo Z>L	HK		
439	7	1	Paalkuil	Ovaal	ReD	Gr m. Br-Gr vl.	ReZaLo Z>L			
439L1	7	1				Gr m. Or-Gl sp.				

Het archeologisch onderzoek aan het Molenveld te Elewijt

Spoor	Werkput/Sleuf	Vlak	Aard	Vorm	Aflijning	Kleur	Textuur	Bijmenging	Vondsten	Opmerkingen
440	7	1	Paalkuil	Ovaal	ReD	Gr m. Br-Gr vl.	ReZaLo Z>L	HK		
440L1	7	1				Gr m. Or-Gl en LGI-Br vl.		HK		
441	7	1	Paalkuil	Cirkel	ReD	LGr m. Br-Gr vl.	ReZaLo Z>L			
441L1	7	1				Gr m. Or-Gl sp.				
442	7	1								

Afkortingen:

Kleur:

L- Licht
 D- Donker
 Br Bruin
 Gl Geel
 Go Groen
 Gr Grijs
 Or Oranje
 Rd Rood
 Wt Wit
 Zw Zwart
 Bl Blauw

m met
 vl vlekken
 sp spikkels

Aflijning:

Re Redelijk
 Ze Zeer
 S Scherp
 D Diffuus
 Var Variabel
 Nat Niet af te lijnen

Textuur:

Re Redelijk
 Ze Zeer
 Za Zacht
 Ha Hard
 Va Vast
 Lo Los
 Z Zand
 L Leem

Bijmenging:

Bio Bioturbatie
 BC Bouwceramiek
 HK Houtskool
 Mg Mangaan
 Vl Verbr. leem
 Hu Humus

Bijlage 2 Vondsteninventaris

Inventarisnummer	Spoor	Werkput	Vlak	Aard
2012-200-S15L1-Ce	15	1	1	Ceramiek
2012-200-S24L1-Ce	24	1	1	Ceramiek
2012-200-S25L0-Ce	25	1	1	Ceramiek
2012-200-S36L0-Ce	36	1	1	Ceramiek
2012-200-S37L0-Ce	37	1	1	Ceramiek
2012-200-S38L0-Ce	38	1	1	Ceramiek
2012-200-S46L1-Ce	46	1	1	Ceramiek
2012-200-S53L1-Ce	53	1	1	Ceramiek
2012-200-S54L0-Si	54	1	1	Silex
2012-200-S58L1-Na	58	1	1	Natuursteen
2012-200-S64L1-Ce	64	1	1	Ceramiek
2012-200-S65L1-Ce	65	1	1	Ceramiek
2012-200-S66L1-Ce	66	1	1	Ceramiek
2012-200-S69L0-Ce	69	1	1	Ceramiek
2012-200-S80L1-Ce	80	1	1	Ceramiek
2012-200-S81L1-Ce	81	1	1	Ceramiek
2012-200-S83L0-Ce	83	1	1	Ceramiek
2012-200-S83L1-Ce	83	1	1	Ceramiek
2012-200-S84L0-Ce	84	1	1	Ceramiek
2012-200-S86L1-Ce	86	1	1	Ceramiek
2012-200-S87L1-Ce	87	1	1	Ceramiek
2012-200-S88L1-Ce	88	1	1	Ceramiek
2012-200-S89L1-Ce	89	1	1	Ceramiek
2012-200-S93L1-Ce	93	1	1	Ceramiek
2012-200-S95L0-Ce	95	1	1	Ceramiek
2012-200-S95L1-Ce	95	1	1	Ceramiek
2012-200-S96L0-Ce	96	1	1	Ceramiek
2012-200-S98L0-Ce	98	1	1	Ceramiek
2012-200-S98L1-Ce	98	1	1	Ceramiek
2012-200-S99L1-Ce	99	1	1	Ceramiek
2012-200-S104L0-Ce	104	1	1	Ceramiek
2012-200-S109L0-Ce	109	1	1	Ceramiek
2012-200-S110L1-St-HK	110	1	1	Staalname:
2012-200-S113L1-St-HK	113	1	1	Staalname:
2012-200-S114L1-St-HK	114	1	1	Staalname:
2012-200-S115L1-Ce	115	1	1	Ceramiek
2012-200-S116L1-Ce	116	1	1	Ceramiek
2012-200-S123L0-Ce	123	2	1	Ceramiek
2012-200-S130L1-Ce	130	2	1	Ceramiek
2012-200-S137L1-Ce	137	2	1	Ceramiek
2012-200-S151L1-Na	151	2	1	Natuursteen
2012-200-S153L1-Ce	153	2	1	Ceramiek
2012-200-S160L1-Ce	160	2	1	Ceramiek
2012-200-S160L2-Ce	160	2	1	Ceramiek

Inventarisnummer	Spoor	Werkput	Vlak	Aard
2012-200-S160L3-Ce	160	2	1	Ceramiek
2012-200-S160L4-Ce	160	2	1	Ceramiek
2012-200-S160L1-Na	160	2	1	Natuursteen
2012-200-S160L5-Fl	160	2	1	Floraresten
2012-200-S160L6-Fl	160	2	1	Floraresten
2012-200-S160L7-Fl	160	2	1	Floraresten
2012-200-S160L4-St	160	2	1	Staalname:
2012-200-S160L4-St-Ze-4mm	160	2	1	Staalname:
2012-200-S160L4-St-Ze-2mm	160	2	1	Staalname:
2012-200-S160L4-St-Ze-0,5mm	160	2	1	Staalname:
2012-200-S160L4-St-Ze-0,25mm	160	2	1	Staalname:
2012-200-S160L0-St-Po	160	2	1	Staalname:
2012-200-S160L2-St-Po	160	2	1	Staalname:
2012-200-S160L3-St-Po	160	2	1	Staalname:
2012-200-S160L4-St-Po	160	2	1	Staalname:
2012-200-S160L4-St-HK	160	2	1	Staalname:
2012-200-S163L1-Ce	163	3	1	Ceramiek
2012-200-S163L1-Bo	163	3	1	Bouwmateriaal
2012-200-S170L0-Ce	170	3	1	Ceramiek
2012-200-S172L1-St-HK	172	3	1	Staalname:
2012-200-S173L1-St-HK	173	3	1	Staalname:
2012-200-S176L2-Ce	176	3	1	Ceramiek
2012-200-S176L1-St-HK	176	3	1	Staalname:
2012-200-S177L1-St-HK	177	3	1	Staalname:
2012-200-S179L1-Ce	179	3	1	Ceramiek
2012-200-S179L2-Si	179	3	1	Silex
2012-200-S179L1-St-HK	179	3	1	Staalname:
2012-200-S181L1-St-HK	181	3	1	Staalname:
2012-200-S183L1-Ce	183	3	1	Ceramiek
2012-200-S184L0-Ce	184	3	1	Ceramiek
2012-200-S192L1-Ce	192	3	1	Ceramiek
2012-200-S194L1-St-HK	194	3	1	Staalname:
2012-200-S198L1-Ce	198	3	1	Ceramiek
2012-200-S204L0-Ce	204	3	1	Ceramiek
2012-200-S209L1-Ce	209	3	1	Ceramiek
2012-200-S210L1-Ce	210	3	1	Ceramiek
2012-200-S210L4-St-HK	210	3	1	Staalname:
2012-200-S211L1-Ce	211	3	1	Ceramiek
2012-200-S212L1-Ce	212	3	1	Ceramiek
2012-200-S213L3-St-HK	213	3	1	Staalname:
2012-200-S218L0-Ce	218	4	1	Ceramiek
2012-200-S218L1-Ce	218	4	1	Ceramiek
2012-200-S218L0-St-HK	218	4	1	Staalname:
2012-200-S225L1-St-HK	225	4	1	Staalname:
2012-200-S226L0-Bo	226	4	1	Bouwmateriaal

Inventarisnummer	Spoor	Werkput	Vlak	Aard
2012-200-S230L1-St-HK	230	4	1	Staalname:
2012-200-S253L0-Ce	253	4	1	Ceramiek
2012-200-S257L1-Ce	257	4	1	Ceramiek
2012-200-S258L0-St-HK	258	4	1	Staalname:
2012-200-S277L1-Ce	277	4	1	Ceramiek
2012-200-S277L1-St-HK	277	4	1	Staalname:
2012-200-S282L1-St-HK	282	4	1	Staalname:
2012-200-S283L1-St-HK	283	4	1	Staalname:
2012-200-S288L1-St-HK	288	4	1	Staalname:
2012-200-S289L1-St-HK	289	4	1	Staalname:
2012-200-S292L1-St-Po	292	4	1	Staalname:
2012-200-S311L1-St-HK	311	4	1	Staalname:
2012-200-S312L1-St-HK	312	4	1	Staalname:
2012-200-S313L1-St-HK	313	4	1	Staalname:
2012-200-S321L1-Ce	321	4	1	Ceramiek
2012-200-S321L1-Bo	321	4	1	Bouwmateriaal
2012-200-S325L1-Ce	325	4	1	Ceramiek
2012-200-S326L0-Ce	326	5	1	Ceramiek
2012-200-S335L1-St-HK	335	5	1	Staalname:
2012-200-S338L0-Ce	338	5	1	Ceramiek
2012-200-S338L1-Ce	338	5	1	Ceramiek
2012-200-S338L2-Ce	338	5	1	Ceramiek
2012-200-S338L2-St-HK	338	5	1	Staalname:
2012-200-S340L0-Ce	340	5	1	Ceramiek
2012-200-S341L1-Ce	341	5	1	Ceramiek
2012-200-S342L0-Ce	342	5	1	Ceramiek
2012-200-S342L1-Ce	342	5	1	Ceramiek
2012-200-S342L1-St-HK	342	5	1	Staalname:
2012-200-S347L1-Si	347	5	1	Silex
2012-200-S350L0-Ce	350	5	1	Ceramiek
2012-200-S353L1-Ce	353	5	1	Ceramiek
2012-200-S355L1-St-HK	355	5	1	Staalname:
2012-200-S356L1-Ce	356	5	1	Ceramiek
2012-200-S384L1-Ce	384	6	1	Ceramiek
2012-200-S398L0-Fa	398	6	1	Faunaresten
2012-200-S399L1-St-HK	399	6	1	Staalname:
2012-200-S416L1-St-HK	416	6	1	Staalname:
2012-200-S424L1-Ce	424	7	1	Ceramiek
2012-200-LV1-Si	LV1	1	1	Silex
2012-200-LV2-Ce	LV2	1	akkerlaag ME	Ceramiek
2012-200-LV3-Ce	LV3	1	1	Ceramiek
2012-200-LV4-Ce	LV4	1	1	Ceramiek
2012-200-LV5-Ce	LV5	1	1	Ceramiek
2012-200-LV6-Ce	LV6	1	1	Ceramiek
2012-200-LV7-Ce	LV7	2	1	Ceramiek
2012-200-LV8-Me	LV8	3	1	Metaal
2012-200-LV9-Me	LV9	3	1	Metaal

Inventarisnummer	Spoor	Werkput	Vlak	Aard
2012-200-LV10-Si	LV10	4	1	Silex
2012-200-LV11-Si	LV11	6	1	Silex
2012-200-LV12-Ce	LV12		Bouwvoor	Ceramiek
2012-200-LV13-Ce	LV13		akkerlaag ME	Ceramiek
2012-200-LV15-Si	LV15		stort in zuiden van WP1 en WP2	Silex
2012-200-LV16-Na	LV16	6	Bouwvoor	Natuursteen
2012-200-LV17-Ce	LV17	7	1	Ceramiek
2012-200-LV18-Me	LV18		akkerlaag ME	Metaal

Bijlage 3 Fotoinventaris

Fotonummer	Spoor	WP	Aard
2012-200-0001	1	1	sporen vlak
2012-200-0002	2	1	sporen vlak
2012-200-0003	3	1	sporen vlak
2012-200-0004	4	1	sporen vlak
2012-200-0005	5	1	sporen vlak
2012-200-0006	6	1	sporen vlak
2012-200-0007	7	1	sporen vlak
2012-200-0008	8	1	sporen vlak
2012-200-0009	9	1	sporen vlak
2012-200-0010	10	1	sporen vlak
2012-200-0011	11	1	sporen vlak
2012-200-0012	12	1	sporen vlak
2012-200-0013	13	1	sporen vlak
2012-200-0014	14	1	sporen vlak
2012-200-0015	15	1	sporen vlak
2012-200-0016	16	1	sporen vlak
2012-200-0017	17	1	sporen vlak
2012-200-0018	18	1	sporen vlak
2012-200-0019	19	1	sporen vlak
2012-200-0020	20	1	sporen vlak
2012-200-0021	21	1	sporen vlak
2012-200-0022	22,23	1	sporen vlak
2012-200-0023	(31),24	1	sporen vlak
2012-200-0024	26,25	1	sporen vlak
2012-200-0025	27	1	sporen vlak
2012-200-0026	29,28	1	sporen vlak
2012-200-0027	30	1	sporen vlak
2012-200-0028	31,(24)	1	sporen vlak
2012-200-0029	32	1	sporen vlak
2012-200-0030	33,34	1	sporen vlak
2012-200-0031	35	1	sporen vlak
2012-200-0032	36	1	sporen vlak
2012-200-0033	1-6	1	overzicht
2012-200-0034	1-6	1	overzicht
2012-200-0035	9-14	1	overzicht
2012-200-0036	15-21	1	overzicht
2012-200-0037	-	1	werk
2012-200-0038	24-30	1	overzicht

Fotonummer	Spoor	WP	Aard
2012-200-0039	37	1	sporen vlak
2012-200-0040	38	1	sporen vlak
2012-200-0041	40,39	1	sporen vlak
2012-200-0042	42,41	1	sporen vlak
2012-200-0043	43	1	sporen vlak
2012-200-0044	44	1	sporen vlak
2012-200-0045	45	1	sporen vlak
2012-200-0046	46	1	sporen vlak
2012-200-0047	48,47	1	sporen vlak
2012-200-0048	49	1	sporen vlak
2012-200-0049	50	1	sporen vlak
2012-200-0050	52,51	1	sporen vlak
2012-200-0051	53	1	sporen vlak
2012-200-0052	54	1	sporen vlak
2012-200-0053	55	1	sporen vlak
2012-200-0054	56	1	sporen vlak
2012-200-0055	57-62	1	overzicht
2012-200-0056	63	1	sporen vlak
2012-200-0057	64	1	sporen vlak
2012-200-0058	65	1	sporen vlak
2012-200-0059	66	1	sporen vlak
2012-200-0060	67	1	sporen vlak
2012-200-0061	68	1	sporen vlak
2012-200-0062	70,69	1	sporen vlak
2012-200-0063	72,71	1	sporen vlak
2012-200-0064	73	1	sporen vlak
2012-200-0065	74	1	sporen vlak
2012-200-0066	37-66	1	overzicht
2012-200-0067	37-66	1	overzicht
2012-200-0068	75	1	sporen vlak
2012-200-0069	76	1	sporen vlak
2012-200-0070	77	1	sporen vlak
2012-200-0071	78	1	sporen vlak
2012-200-0072	79	1	sporen vlak
2012-200-0073	80	1	sporen vlak
2012-200-0074	81	1	sporen vlak
2012-200-0075	82	1	sporen vlak
2012-200-0076	83	1	sporen vlak
2012-200-0077	84	1	sporen vlak

Fotonummer	Spoor	WP	Aard
2012-200-0078	85	1	sporen vlak
2012-200-0079	86	1	sporen vlak
2012-200-0080	88	1	sporen vlak
2012-200-0081	89,90	1	sporen vlak
2012-200-0082	87	1	sporen vlak
2012-200-0083	91	1	sporen vlak
2012-200-0084	92	1	sporen vlak
2012-200-0085	93	1	sporen vlak
2012-200-0086	69-85	1	overzicht
2012-200-0087	96	1	sporen vlak
2012-200-0088	95	1	sporen vlak
2012-200-0089	98	1	sporen vlak
2012-200-0090	97	1	sporen vlak
2012-200-0091	99	1	sporen vlak
2012-200-0092	81-87	1	overzicht
2012-200-0093	102	1	sporen vlak
2012-200-0094	101	1	sporen vlak
2012-200-0095	100	1	sporen vlak
2012-200-0096	103	1	sporen vlak
2012-200-0097	104	1	sporen vlak
2012-200-0098	87-95	1	overzicht
2012-200-0099	1-75	1	overzicht
2012-200-0100	100-104	1	overzicht
2012-200-0101	105	1	overzicht
2012-200-0102	81-106	1	overzicht
2012-200-0103	105,106	1	sporen vlak
2012-200-0104	107	1	sporen vlak
2012-200-0105	-	-	werk
2012-200-0106	-	-	werk
2012-200-0107	-	-	werk
2012-200-0108	-	-	werk
2012-200-0109	-	-	werk
2012-200-0110	-	-	werk
2012-200-0111	-	1	werk
2012-200-0112	-	1	bodemprofielen
2012-200-0113	-	1	bodemprofielen
2012-200-0114	-	1	bodemprofielen
2012-200-0115	-	1	bodemprofielen
2012-200-0116	-	1	bodemprofielen
2012-200-0117	-	1	bodemprofielen

Fotonummer	Spoor	WP	Aard
2012-200-0118	4	1	sporen coupes
2012-200-0119	3	1	sporen coupes
2012-200-0120	5	1	sporen coupes
2012-200-0121	6	1	sporen coupes
2012-200-0122	7	1	sporen coupes
2012-200-0123	9	1	sporen coupes
2012-200-0124	10	1	sporen coupes
2012-200-0125	13	1	sporen coupes
2012-200-0126	12	1	sporen coupes
2012-200-0127	11	1	sporen coupes
2012-200-0128	15	1	sporen coupes
2012-200-0129	17	1	sporen coupes
2012-200-0130	2,1	1	sporen coupes
2012-200-0131	2	1	sporen coupes
2012-200-0132	8	1	sporen coupes
2012-200-0133	14	1	sporen coupes
2012-200-0134	16	1	sporen coupes
2012-200-0135	22,23	1	sporen coupes
2012-200-0136	21	1	sporen coupes
2012-200-0137	20	1	sporen coupes
2012-200-0138	19	1	sporen coupes
2012-200-0139	18	1	sporen coupes
2012-200-0140	27	1	sporen coupes
2012-200-0141	28,29	1	sporen coupes
2012-200-0142	59	1	sporen coupes
2012-200-0143	31,24	1	sporen coupes
2012-200-0144	32	1	sporen coupes
2012-200-0145	33,34	1	sporen coupes
2012-200-0146	62	1	sporen coupes
2012-200-0147	63	1	sporen coupes
2012-200-0148	35	1	sporen coupes
2012-200-0149	30	1	sporen coupes
2012-200-0150	51,52	1	sporen coupes
2012-200-0151	58	1	sporen coupes
2012-200-0152	30	1	sporen coupes
2012-200-0153	56	1	sporen coupes
2012-200-0154	61	1	sporen coupes
2012-200-0155	47,48	1	sporen coupes
2012-200-0156	25,26	1	sporen coupes
2012-200-0157	50,49	1	sporen coupes

Fotonummer	Spoor	WP	Aard
2012-200-0158	65	1	sporen coupes
2012-200-0159	53	1	sporen coupes
2012-200-0160	64	1	sporen coupes
2012-200-0161	36	1	sporen coupes
2012-200-0162	36	1	sporen coupes
2012-200-0163	73,72,71	1	sporen coupes
2012-200-0164	77	1	sporen coupes
2012-200-0165	66	1	sporen coupes
2012-200-0166	92	1	sporen coupes
2012-200-0167	76	1	sporen coupes
2012-200-0168	43	1	sporen coupes
2012-200-0169	37	1	sporen coupes
2012-200-0170	37	1	sporen coupes
2012-200-0171	37	1	sporen coupes
2012-200-0172	37	1	sporen coupes
2012-200-0173	37	1	sporen coupes
2012-200-0174	54	1	sporen coupes
2012-200-0175	85	1	sporen coupes
2012-200-0176	55	1	sporen coupes
2012-200-0177	44	1	sporen coupes
2012-200-0178	75,70,69	1	sporen coupes
2012-200-0179	46	1	sporen coupes
2012-200-0180	56	1	sporen coupes
2012-200-0181	42,41	1	sporen coupes
2012-200-0182	74	1	sporen coupes
2012-200-0183	45	1	sporen coupes
2012-200-0184	107	1	sporen coupes
2012-200-0185	68	1	sporen coupes
2012-200-0186	67	1	sporen coupes
2012-200-0187	78	1	sporen coupes
2012-200-0188	79	1	sporen coupes
2012-200-0189	84	1	sporen coupes
2012-200-0190	80	1	sporen coupes
2012-200-0191	81	1	sporen coupes
2012-200-0192	84	1	sporen coupes
2012-200-0193	57,60	1	sporen coupes
2012-200-0194	38	1	sporen coupes
2012-200-0195	94	1	sporen coupes
2012-200-0196	82	1	sporen coupes
2012-200-0197	83	1	sporen coupes

Fotonummer	Spoor	WP	Aard
2012-200-0198	86	1	sporen coupes
2012-200-0199	95	1	sporen coupes
2012-200-0200	101	1	sporen coupes
2012-200-0201	102	1	sporen coupes
2012-200-0202	99	1	sporen coupes
2012-200-0203	98	1	sporen coupes
2012-200-0204	100	1	sporen coupes
2012-200-0205	101	1	sporen coupes
2012-200-0206	103	1	sporen coupes
2012-200-0207	106,105	1	sporen coupes
2012-200-0208	97	1	sporen coupes
2012-200-0209	104	1	sporen coupes
2012-200-0210	40,39	1	sporen coupes
2012-200-0211	96	1	sporen coupes
2012-200-0212	-	-	werk
2012-200-0213	88	1	sporen coupes
2012-200-0214	88	1	sporen coupes
2012-200-0215	87	1	sporen coupes
2012-200-0216	87	1	sporen coupes
2012-200-0217	89,90	1	sporen coupes
2012-200-0218	93	1	sporen coupes
2012-200-0219	-	1	werk
2012-200-0220	-	1	werk
2012-200-0221	-	1	overzicht
2012-200-0222	-	1	overzicht
2012-200-0223	-	1	overzicht
2012-200-0224	-	1	overzicht
2012-200-0225	108-116	1	overzicht
2012-200-0226	108-116	1	overzicht
2012-200-0227	108-116	1	overzicht
2012-200-0228	108-116	1	overzicht
2012-200-0229	108-116	1	overzicht
2012-200-0230	108-116	1	overzicht
2012-200-0231	-	1	overzicht
2012-200-0232	112	1	sporen vlak
2012-200-0233	113	1	sporen vlak
2012-200-0234	109	1	sporen vlak
2012-200-0235	110	1	sporen vlak
2012-200-0236	108	1	sporen vlak
2012-200-0237	111	1	sporen vlak

Fotonummer	Spoor	WP	Aard
2012-200-0238	114	1	sporen vlak
2012-200-0239	115	1	sporen vlak
2012-200-0240	116	1	sporen vlak
2012-200-0241	117-119	1	overzicht
2012-200-0242	-	1	overzicht
2012-200-0243	117	1	sporen vlak
2012-200-0244	119	1	sporen vlak
2012-200-0245	118	1	sporen vlak
2012-200-0246	112	1	sporen coupes
2012-200-0247	108	1	sporen coupes
2012-200-0248	111	1	sporen coupes
2012-200-0249	-	1	bodemprofielen
2012-200-0250	-	1	bodemprofielen
2012-200-0251	113	1	sporen coupes
2012-200-0252	114	1	sporen coupes
2012-200-0253	115	1	sporen coupes
2012-200-0254	110	1	sporen coupes
2012-200-0255	116	1	sporen coupes
2012-200-0256	109	1	sporen coupes
2012-200-0257	117	1	sporen coupes
2012-200-0258	119	1	sporen coupes
2012-200-0259	118	1	sporen coupes
2012-200-0260	-	1	bodemprofielen
2012-200-0261	108-116	1	overzicht
2012-200-0262	108-116	1	overzicht
2012-200-0263	120	2	sporen vlak
2012-200-0264	121	2	sporen vlak
2012-200-0265	122	2	sporen vlak
2012-200-0266	123	2	sporen vlak
2012-200-0267	124	2	sporen vlak
2012-200-0268	125	2	sporen vlak
2012-200-0269	126	2	sporen vlak
2012-200-0270	127	2	sporen vlak
2012-200-0271	128	2	sporen vlak
2012-200-0272	129	2	sporen vlak
2012-200-0273	130	2	sporen vlak
2012-200-0274	131	2	sporen vlak
2012-200-0275	132	2	sporen vlak
2012-200-0276	133	2	sporen vlak
2012-200-0277	134	2	sporen vlak

Fotonummer	Spoor	WP	Aard
2012-200-0278	135	2	sporen vlak
2012-200-0279	136	2	sporen vlak
2012-200-0280	137	2	sporen vlak
2012-200-0281	138	2	sporen vlak
2012-200-0282	139	2	sporen vlak
2012-200-0283	140	2	sporen vlak
2012-200-0284	141	2	sporen vlak
2012-200-0285	120	2	overzicht
2012-200-0286	121-132	2	overzicht
2012-200-0287	133-138	2	overzicht
2012-200-0288	136-138	2	overzicht
2012-200-0289	121-134	2	overzicht
2012-200-0290	120-123	2	overzicht
2012-200-0291	121-132	2	overzicht
2012-200-0292	142	2	sporen vlak
2012-200-0293	143	2	sporen vlak
2012-200-0294	144	2	sporen vlak
2012-200-0295	145	2	sporen vlak
2012-200-0296	146	2	sporen vlak
2012-200-0297	147	2	sporen vlak
2012-200-0298	148	2	sporen vlak
2012-200-0299	148	2	sporen vlak
2012-200-0300	148	2	sporen vlak
2012-200-0301	149	2	sporen coupes
2012-200-0302	149	2	sporen vlak
2012-200-0303	150	2	sporen vlak
2012-200-0304	151	2	sporen vlak
2012-200-0305	152	2	sporen vlak
2012-200-0306	153	2	sporen vlak
2012-200-0307	154	2	sporen vlak
2012-200-0308	154,155	2	sporen vlak
2012-200-0309	156	2	sporen vlak
2012-200-0310	157	2	sporen vlak
2012-200-0311	158	2	sporen vlak
2012-200-0312	160	2	sporen vlak
2012-200-0313	160	2	sporen vlak
2012-200-0314	159	2	sporen vlak
2012-200-0315	161	2	sporen vlak
2012-200-0316	-	2	overzicht
2012-200-0317	159-161	2	overzicht

Fotonummer	Spoor	WP	Aard
2012-200-0318	153-158	2	overzicht
2012-200-0319	149-153	2	overzicht
2012-200-0320	148	2	overzicht
2012-200-0321	124	2	sporen coupes
2012-200-0322	120	2	sporen coupes
2012-200-0323	135	2	sporen coupes
2012-200-0324	122	2	sporen coupes
2012-200-0325	132	2	sporen coupes
2012-200-0326	130	2	sporen coupes
2012-200-0327	121	2	sporen coupes
2012-200-0328	126	2	sporen coupes
2012-200-0329	138-145	2	overzicht
2012-200-0330	121-133	2	overzicht
2012-200-0331	160	2	sporen vlak
2012-200-0332	125	2	sporen coupes
2012-200-0333	134	2	sporen coupes
2012-200-0334	129	2	sporen coupes
2012-200-0335	133	2	sporen coupes
2012-200-0336	127	2	sporen coupes
2012-200-0337	136	2	sporen coupes
2012-200-0338	140	2	sporen coupes
2012-200-0339	137	2	sporen coupes
2012-200-0340	146	2	sporen coupes
2012-200-0341	147	2	sporen coupes
2012-200-0342	139	2	sporen coupes
2012-200-0343	145	2	sporen coupes
2012-200-0344	131	2	sporen coupes
2012-200-0345	141	2	sporen coupes
2012-200-0346	128	2	sporen coupes
2012-200-0347	144	2	sporen coupes
2012-200-0348	151	2	sporen coupes
2012-200-0349	150	2	sporen coupes
2012-200-0350	149	2	sporen coupes
2012-200-0351	152	2	sporen coupes
2012-200-0352	143	2	sporen coupes
2012-200-0353	157	2	sporen coupes
2012-200-0354	158	2	sporen coupes
2012-200-0355	142	2	sporen coupes
2012-200-0356	142	2	sporen coupes
2012-200-0357	156	2	sporen coupes

Fotonummer	Spoor	WP	Aard
2012-200-0358	159	2	sporen coupes
2012-200-0359	161	2	sporen coupes
2012-200-0360	155,154	2	sporen vlak
2012-200-0361	155,154	2	sporen vlak
2012-200-0362	154-158	2	overzicht
2012-200-0363	155	2	sporen coupes
2012-200-0364	155	2	sporen coupes
2012-200-0365	153	2	sporen coupes
2012-200-0366	-	2	bodemprofielen
2012-200-0367	-	2	bodemprofielen
2012-200-0368	-	2	bodemprofielen
2012-200-0369	157	2	sporen coupes
2012-200-0370	160	2	sporen coupes
2012-200-0371	160	2	sporen coupes
2012-200-0372	160	2	sporen coupes
2012-200-0373	160	2	sporen coupes
2012-200-0374	155,154	2	sporen coupes
2012-200-0375	160	2	sporen coupes
2012-200-0376	160	2	sporen coupes
2012-200-0377	160	2	sporen coupes
2012-200-0378	160	2	sporen coupes
2012-200-0379	160	2	sporen coupes
2012-200-0380	160	2	sporen coupes
2012-200-0381	160	2	werk
2012-200-0382	160	2	sporen coupes
2012-200-0383	160	2	sporen coupes
2012-200-0384	162	3	sporen vlak
2012-200-0385	163	3	sporen vlak
2012-200-0386	164	3	sporen vlak
2012-200-0387	165	3	sporen vlak
2012-200-0388	166	3	sporen vlak
2012-200-0389	167	3	sporen vlak
2012-200-0390	168	3	sporen vlak
2012-200-0391	169	3	sporen vlak
2012-200-0392	170	3	sporen vlak
2012-200-0393	171	3	sporen vlak
2012-200-0394	172	3	sporen vlak
2012-200-0395	162-169	3	overzicht
2012-200-0396	173	3	sporen vlak
2012-200-0397	174	3	sporen vlak

Fotonummer	Spoor	WP	Aard
2012-200-0398	175	3	sporen vlak
2012-200-0399	176	3	sporen vlak
2012-200-0400	177	3	sporen vlak
2012-200-0401	178	3	sporen vlak
2012-200-0402	179	3	sporen vlak
2012-200-0403	180	3	sporen vlak
2012-200-0404	181	3	sporen vlak
2012-200-0405	182	3	sporen vlak
2012-200-0406	183	3	sporen vlak
2012-200-0407	185	3	sporen vlak
2012-200-0408	187	3	sporen vlak
2012-200-0409	188	3	sporen vlak
2012-200-0410	189	3	sporen vlak
2012-200-0411	190	3	sporen vlak
2012-200-0412	191	3	sporen vlak
2012-200-0413	192	3	sporen vlak
2012-200-0414	193	3	sporen vlak
2012-200-0415	186	3	sporen vlak
2012-200-0416	194	3	sporen vlak
2012-200-0417	195	3	sporen vlak
2012-200-0418	184	3	sporen vlak
2012-200-0419	184	3	sporen vlak
2012-200-0420	196	3	sporen vlak
2012-200-0421	170-179	3	overzicht
2012-200-0422	184	3	overzicht
2012-200-0423	195-187	3	overzicht
2012-200-0424	182-196	3	overzicht
2012-200-0425	182-196	3	overzicht
2012-200-0426	197	3	sporen vlak
2012-200-0427	198	3	sporen vlak
2012-200-0428	199	3	sporen vlak
2012-200-0429	200	3	sporen vlak
2012-200-0430	201	3	sporen vlak
2012-200-0431	202	3	sporen vlak
2012-200-0432	202	3	sporen vlak
2012-200-0433	168-179	3	overzicht
2012-200-0434	170-184	3	overzicht
2012-200-0435	181-195	3	overzicht
2012-200-0436	-	3	overzicht
2012-200-0437	197-199	3	overzicht

Fotonummer	Spoor	WP	Aard
2012-200-0438	200-202	3	overzicht
2012-200-0439	202	3	overzicht
2012-200-0440	202	3	overzicht
2012-200-0441	203	3	sporen vlak
2012-200-0442	204	3	sporen vlak
2012-200-0443	205	3	sporen vlak
2012-200-0444	206	3	sporen vlak
2012-200-0445	207	3	sporen vlak
2012-200-0446	208	3	sporen vlak
2012-200-0447	208	3	sporen vlak
2012-200-0448	208	3	sporen vlak
2012-200-0449	207	3	overzicht
2012-200-0450	208	3	overzicht
2012-200-0451	208	3	overzicht
2012-200-0452	208	3	overzicht
2012-200-0453	208	3	overzicht
2012-200-0454	-	3	overzicht
2012-200-0455	203	3	sporen coupes
2012-200-0456	204	3	sporen coupes
2012-200-0457	205	3	sporen coupes
2012-200-0458	206	3	sporen coupes
2012-200-0459	166	3	sporen coupes
2012-200-0460	163	3	sporen coupes
2012-200-0461	162	3	sporen coupes
2012-200-0462	164	3	sporen coupes
2012-200-0463	165	3	sporen coupes
2012-200-0464	167	3	sporen coupes
2012-200-0465	168	3	sporen coupes
2012-200-0466	169	3	sporen coupes
2012-200-0467	207	3	sporen coupes
2012-200-0468	181-196	3	overzicht
2012-200-0469	181-196	3	overzicht
2012-200-0470	181	3	sporen coupes
2012-200-0471	182	3	sporen coupes
2012-200-0472	196	3	sporen coupes
2012-200-0473	189	3	sporen coupes
2012-200-0474	190	3	sporen coupes
2012-200-0475	191	3	sporen coupes
2012-200-0476	193	3	sporen coupes
2012-200-0477	194	3	sporen coupes

Fotonummer	Spoor	WP	Aard
2012-200-0478	195	3	sporen coupes
2012-200-0479	174	3	sporen coupes
2012-200-0480	185	3	sporen coupes
2012-200-0481	186	3	sporen coupes
2012-200-0482	190-195	3	overzicht
2012-200-0483	190-195	3	overzicht
2012-200-0484	178	3	sporen coupes
2012-200-0485	170	3	sporen coupes
2012-200-0486	-	3	werk
2012-200-0487	171	3	sporen coupes
2012-200-0488	192	3	sporen coupes
2012-200-0489	177	3	sporen coupes
2012-200-0490	179	3	sporen coupes
2012-200-0491	192	3	sporen coupes
2012-200-0492	197	3	sporen coupes
2012-200-0493	198	3	sporen coupes
2012-200-0494	199	3	sporen coupes
2012-200-0495	201	3	sporen coupes
2012-200-0496	200	3	sporen coupes
2012-200-0497	172-210	3	sporen coupes
2012-200-0498	209	3	sporen vlak
2012-200-0499	209	3	overzicht
2012-200-0500	211	3	sporen coupes
2012-200-0501	209	3	sporen coupes
2012-200-0502	180,212	3	sporen coupes
2012-200-0503	176,213	3	sporen vlak
2012-200-0504	175,214	3	sporen coupes
2012-200-0505	170	3	sporen coupes
2012-200-0506	171	3	sporen coupes
2012-200-0507	170-179	3	overzicht
2012-200-0508	176,213	3	sporen coupes
2012-200-0509	170-214	3	overzicht
2012-200-0510	170-214	3	overzicht
2012-200-0511	170-214	3	overzicht
2012-200-0512	179,215	3	sporen coupes
2012-200-0513	177	3	sporen coupes
2012-200-0514	173	3	sporen coupes
2012-200-0515	183	3	sporen coupes
2012-200-0516	216	4	sporen vlak
2012-200-0517	217	4	sporen vlak

Fotonummer	Spoor	WP	Aard
2012-200-0518	218	4	sporen vlak
2012-200-0519	219	4	sporen vlak
2012-200-0520	220	4	sporen vlak
2012-200-0521	221	4	sporen vlak
2012-200-0522	217-220	4	overzicht
2012-200-0523	216	4	overzicht
2012-200-0524	220-221	4	overzicht
2012-200-0525	222	4	sporen vlak
2012-200-0526	223	4	sporen vlak
2012-200-0527	224	4	sporen vlak
2012-200-0528	225	4	sporen vlak
2012-200-0529	226	4	sporen vlak
2012-200-0530	227	4	sporen vlak
2012-200-0531	228	4	sporen vlak
2012-200-0532	229	4	sporen vlak
2012-200-0533	230	4	sporen vlak
2012-200-0534	231	4	sporen vlak
2012-200-0535	232	4	sporen vlak
2012-200-0536	234-233	4	sporen vlak
2012-200-0537	-	4	overzicht
2012-200-0538	217-220	4	overzicht
2012-200-0539	221-222	4	overzicht
2012-200-0540	224-227	4	overzicht
2012-200-0541	230-234	4	overzicht
2012-200-0542	-	4	overzicht
2012-200-0543	236	4	overzicht
2012-200-0544	235	4	sporen vlak
2012-200-0545	236	4	sporen vlak
2012-200-0546	237	4	sporen vlak
2012-200-0547	238	4	sporen vlak
2012-200-0548	239	4	sporen vlak
2012-200-0549	240	4	sporen vlak
2012-200-0550	236-238	4	overzicht
2012-200-0551	237-240	4	overzicht
2012-200-0552	241	4	sporen vlak
2012-200-0553	242	4	sporen vlak
2012-200-0554	243	4	sporen vlak
2012-200-0555	244	4	sporen vlak
2012-200-0556	245	4	sporen vlak
2012-200-0557	246	4	sporen vlak

Fotonummer	Spoor	WP	Aard
2012-200-0558	247	4	sporen vlak
2012-200-0559	248	4	sporen vlak
2012-200-0560	249	4	sporen vlak
2012-200-0561	250	4	sporen vlak
2012-200-0562	251	4	sporen vlak
2012-200-0563	252	4	sporen vlak
2012-200-0564	253	4	sporen vlak
2012-200-0565	254	4	sporen vlak
2012-200-0566	255	4	sporen vlak
2012-200-0567	256	4	sporen vlak
2012-200-0568	257	4	sporen vlak
2012-200-0569	258	4	sporen vlak
2012-200-0570	259	4	sporen vlak
2012-200-0571	248-258	4	overzicht
2012-200-0572	248-258	4	overzicht
2012-200-0573	248-258	4	overzicht
2012-200-0574	218-264	4	overzicht
2012-200-0575	-	4	werk
2012-200-0576	260	4	sporen vlak
2012-200-0577	261	4	sporen vlak
2012-200-0578	262	4	sporen vlak
2012-200-0579	263	4	sporen vlak
2012-200-0580	264	4	sporen vlak
2012-200-0581	216-264	4	overzicht
2012-200-0582	248,247	4	sporen coupes
2012-200-0583	250	4	sporen coupes
2012-200-0584	255	4	sporen coupes
2012-200-0585	254	4	sporen coupes
2012-200-0586	256	4	sporen coupes
2012-200-0587	256	4	sporen coupes
2012-200-0588	257	4	sporen coupes
2012-200-0589	258	4	sporen coupes
2012-200-0590	251	4	sporen coupes
2012-200-0591	252	4	sporen coupes
2012-200-0592	263	4	sporen coupes
2012-200-0593	260	4	sporen coupes
2012-200-0594	241	4	sporen coupes
2012-200-0595	217	4	sporen coupes
2012-200-0596	216	4	sporen coupes
2012-200-0597	218	4	sporen coupes

Fotonummer	Spoor	WP	Aard
2012-200-0598	259	4	sporen vlak
2012-200-0599	292	4	sporen vlak
2012-200-0600	290	4	sporen vlak
2012-200-0601	-	4	werk
2012-200-0602	291	4	sporen vlak
2012-200-0603	266	4	sporen vlak
2012-200-0604	265	4	sporen vlak
2012-200-0605	242	4	sporen vlak
2012-200-0606	267	4	sporen vlak
2012-200-0607	293	4	sporen vlak
2012-200-0608	268	4	sporen vlak
2012-200-0609	270	4	sporen vlak
2012-200-0610	269	4	sporen vlak
2012-200-0611	271	4	sporen vlak
2012-200-0612	272	4	sporen vlak
2012-200-0613	-	4	werk
2012-200-0614	228	4	sporen vlak
2012-200-0615	-	4	werk
2012-200-0616	-	4	werk
2012-200-0617	-	4	werk
2012-200-0618	273	4	sporen vlak
2012-200-0619	274	4	sporen vlak
2012-200-0620	275	4	sporen vlak
2012-200-0621	276	4	sporen vlak
2012-200-0622	277	4	sporen vlak
2012-200-0623	278	4	sporen vlak
2012-200-0624	284	4	sporen vlak
2012-200-0625	285	4	sporen vlak
2012-200-0626	286	4	sporen vlak
2012-200-0627	287	4	sporen vlak
2012-200-0628	288	4	sporen vlak
2012-200-0629	289	4	sporen vlak
2012-200-0630	280-283	4	overzicht
2012-200-0631	280-283	4	overzicht
2012-200-0632	280-283	4	overzicht
2012-200-0633	280-283	4	overzicht
2012-200-0634	287-289	4	overzicht
2012-200-0635	225-282	4	overzicht
2012-200-0636	269-271	4	overzicht
2012-200-0637	242-270	4	overzicht

Fotonummer	Spoor	WP	Aard
2012-200-0638	294	4	sporen vlak
2012-200-0639	-	4	overzicht
2012-200-0640	-	4	overzicht
2012-200-0641	295	4	sporen vlak
2012-200-0642	296	4	sporen vlak
2012-200-0643	297	4	sporen vlak
2012-200-0644	298	4	sporen vlak
2012-200-0645	299	4	sporen vlak
2012-200-0646	300	4	sporen vlak
2012-200-0647	301	4	sporen vlak
2012-200-0648	302	4	sporen vlak
2012-200-0649	303	4	sporen vlak
2012-200-0650	304	4	sporen vlak
2012-200-0651	305	4	sporen vlak
2012-200-0652	306	4	sporen vlak
2012-200-0653	307	4	sporen vlak
2012-200-0654	308	4	sporen vlak
2012-200-0655	309	4	sporen vlak
2012-200-0656	310	4	sporen vlak
2012-200-0657	311	4	sporen vlak
2012-200-0658	312	4	sporen vlak
2012-200-0659	313	4	sporen vlak
2012-200-0660	314	4	sporen vlak
2012-200-0661	315	4	sporen vlak
2012-200-0662	292-303	4	overzicht
2012-200-0663	304-305	4	overzicht
2012-200-0664	306	4	overzicht
2012-200-0665	307-308	4	overzicht
2012-200-0666	311-312	4	overzicht
2012-200-0667	311-314	4	overzicht
2012-200-0668	311-315	4	overzicht
2012-200-0669	-	4	overzicht
2012-200-0670	316-319	4	overzicht
2012-200-0671	320	4	overzicht
2012-200-0672	-	4	overzicht
2012-200-0673	316	4	sporen vlak
2012-200-0674	317	4	sporen vlak
2012-200-0675	318	4	sporen vlak
2012-200-0676	319	4	sporen vlak
2012-200-0677	320	4	sporen vlak

Fotonummer	Spoor	WP	Aard
2012-200-0678	244	4	sporen coupes
2012-200-0679	246	4	sporen coupes
2012-200-0680	317	4	sporen coupes
2012-200-0681	316	4	sporen coupes
2012-200-0682	318	4	sporen coupes
2012-200-0683	320	4	sporen coupes
2012-200-0684	259	4	sporen coupes
2012-200-0685	253	4	sporen coupes
2012-200-0686	245	4	sporen coupes
2012-200-0687	297	4	sporen coupes
2012-200-0688	303,302	4	sporen coupes
2012-200-0689	220	4	sporen coupes
2012-200-0690	218	4	sporen coupes
2012-200-0691	225-283	4	overzicht
2012-200-0692	225-283	4	overzicht
2012-200-0693	225-283	4	overzicht
2012-200-0694	225-283	4	overzicht
2012-200-0695	225-283	4	overzicht
2012-200-0696	225-283	4	overzicht
2012-200-0697	225-283	4	overzicht
2012-200-0698	225-283	4	overzicht
2012-200-0699	280-283	4	overzicht
2012-200-0700	234-277	4	overzicht
2012-200-0701	225-272	4	overzicht
2012-200-0702	290	4	sporen coupes
2012-200-0703	291	4	sporen coupes
2012-200-0704	299	4	sporen coupes
2012-200-0705	300	4	sporen coupes
2012-200-0706	270	4	sporen coupes
2012-200-0707	305	4	sporen coupes
2012-200-0708	304	4	sporen coupes
2012-200-0709	306	4	sporen coupes
2012-200-0710	261	4	sporen coupes
2012-200-0711	265	4	sporen coupes
2012-200-0712	293	4	sporen coupes
2012-200-0713	219	4	sporen coupes
2012-200-0714	222	4	sporen coupes
2012-200-0715	295	4	sporen coupes
2012-200-0716	292	4	sporen coupes
2012-200-0717	292	4	sporen coupes

Fotonummer	Spoor	WP	Aard
2012-200-0718	266	4	sporen coupes
2012-200-0719	266	4	sporen coupes
2012-200-0720	223	4	sporen coupes
2012-200-0721	296,292	4	sporen coupes
2012-200-0722	269	4	sporen coupes
2012-200-0723	292	4	sporen coupes
2012-200-0724	266	4	sporen coupes
2012-200-0725	235	4	sporen coupes
2012-200-0726	238	4	sporen coupes
2012-200-0727	237	4	sporen coupes
2012-200-0728	236	4	sporen coupes
2012-200-0729	271	4	sporen coupes
2012-200-0730	310	4	sporen coupes
2012-200-0731	289	4	sporen coupes
2012-200-0732	-	4	werk
2012-200-0733	-	4	werk
2012-200-0734	-	4	werk
2012-200-0735	288	4	sporen coupes
2012-200-0736	313	4	sporen coupes
2012-200-0737	314	4	sporen coupes
2012-200-0738	312	4	sporen coupes
2012-200-0739	311	4	sporen coupes
2012-200-0740	309	4	sporen coupes
2012-200-0741	287	4	sporen coupes
2012-200-0742	283	4	sporen coupes
2012-200-0743	225	4	sporen coupes
2012-200-0744	272	4	sporen coupes
2012-200-0745	228	4	sporen coupes
2012-200-0746	229	4	sporen coupes
2012-200-0747	224	4	sporen coupes
2012-200-0748	226	4	sporen coupes
2012-200-0749	227	4	sporen coupes
2012-200-0750	230	4	sporen coupes
2012-200-0751	231	4	sporen coupes
2012-200-0752	273	4	sporen coupes
2012-200-0753	-	4	werk
2012-200-0754	281	4	sporen coupes
2012-200-0755	282	4	sporen coupes
2012-200-0756	280	4	sporen coupes
2012-200-0757	274	4	sporen coupes

Fotonummer	Spoor	WP	Aard
2012-200-0758	286	4	sporen coupes
2012-200-0759	308	4	sporen coupes
2012-200-0760	284	4	sporen coupes
2012-200-0761	285	4	sporen coupes
2012-200-0762	233	4	sporen coupes
2012-200-0763	234	4	sporen coupes
2012-200-0764	275	4	sporen coupes
2012-200-0765	279	4	sporen coupes
2012-200-0766	277	4	sporen coupes
2012-200-0767	307	4	sporen coupes
2012-200-0768	315	4	sporen coupes
2012-200-0769	276	4	sporen coupes
2012-200-0770	278	4	sporen coupes
2012-200-0771	324	4	sporen vlak
2012-200-0772	323	4	sporen vlak
2012-200-0773	322	4	sporen vlak
2012-200-0774	321	4	sporen vlak
2012-200-0775	325	4	sporen vlak
2012-200-0776	-	5	werk
2012-200-0777	321-325	4	overzicht
2012-200-0778	321-325	4	overzicht
2012-200-0779	326	5	sporen vlak
2012-200-0780	-	5	werk
2012-200-0781	328-342	5	overzicht
2012-200-0782	328-342	5	overzicht
2012-200-0783	328-342	5	overzicht
2012-200-0784	328-342	5	overzicht
2012-200-0785	329	5	sporen vlak
2012-200-0786	330	5	sporen vlak
2012-200-0787	331	5	sporen vlak
2012-200-0788	332	5	sporen vlak
2012-200-0789	333	5	sporen vlak
2012-200-0790	334	5	sporen vlak
2012-200-0791	335	5	sporen vlak
2012-200-0792	336	5	sporen vlak
2012-200-0793	337	5	sporen vlak
2012-200-0794	338	5	sporen vlak
2012-200-0795	339	5	sporen vlak
2012-200-0796	340	5	sporen vlak
2012-200-0797	341	5	sporen vlak

Fotonummer	Spoor	WP	Aard
2012-200-0798	343	5	sporen vlak
2012-200-0799	344	5	sporen vlak
2012-200-0800	345	5	sporen vlak
2012-200-0801	342	5	sporen vlak
2012-200-0802	336-360	5	overzicht
2012-200-0803	336-360	5	overzicht
2012-200-0804	336-360	5	overzicht
2012-200-0805	336-360	5	overzicht
2012-200-0806	346	5	sporen vlak
2012-200-0807	347	5	sporen vlak
2012-200-0808	348	5	sporen vlak
2012-200-0809	349	5	sporen vlak
2012-200-0810	350	5	sporen vlak
2012-200-0811	351	5	sporen vlak
2012-200-0812	352	5	sporen vlak
2012-200-0813	353	5	sporen vlak
2012-200-0814	354	5	sporen vlak
2012-200-0815	355	5	sporen vlak
2012-200-0816	356	5	sporen vlak
2012-200-0817	357	5	sporen vlak
2012-200-0818	358	5	sporen vlak
2012-200-0819	359	5	sporen vlak
2012-200-0820	360	5	sporen vlak
2012-200-0821	361	5	sporen vlak
2012-200-0822	362	5	sporen vlak
2012-200-0823	363	5	sporen vlak
2012-200-0824	364	5	sporen vlak
2012-200-0825	365	5	sporen vlak
2012-200-0826	366,367	5	sporen vlak
2012-200-0827	368	5	sporen vlak
2012-200-0828	369	5	sporen vlak
2012-200-0829	370	5	sporen vlak
2012-200-0830	328-348	5	overzicht
2012-200-0831	367-370	5	overzicht
2012-200-0832	371	5	sporen vlak
2012-200-0833	372	5	sporen vlak
2012-200-0834	376	5	sporen vlak
2012-200-0835	377	5	sporen vlak
2012-200-0836	378	5	sporen vlak
2012-200-0837	379	5	sporen vlak

Fotonummer	Spoor	WP	Aard
2012-200-0838	373	5	sporen vlak
2012-200-0839	375	5	sporen vlak
2012-200-0840	374	5	sporen vlak
2012-200-0841	338	5	sporen coupes
2012-200-0842	338	5	sporen coupes
2012-200-0843	342	5	sporen coupes
2012-200-0844	342	5	sporen coupes
2012-200-0845	333	5	sporen coupes
2012-200-0846	332	5	sporen coupes
2012-200-0847	328	5	sporen coupes
2012-200-0848	327	5	sporen coupes
2012-200-0849	329	5	sporen coupes
2012-200-0850	334	5	sporen coupes
2012-200-0851	330	5	sporen coupes
2012-200-0852	347	5	sporen coupes
2012-200-0853	348	5	sporen coupes
2012-200-0854	346	5	sporen coupes
2012-200-0855	352	5	sporen coupes
2012-200-0856	337	5	sporen coupes
2012-200-0857	340	5	sporen coupes
2012-200-0858	343	5	sporen coupes
2012-200-0859	365	5	sporen coupes
2012-200-0860	362	5	sporen coupes
2012-200-0861	341	5	sporen coupes
2012-200-0862	344	5	sporen coupes
2012-200-0863	354	5	sporen coupes
2012-200-0864	355	5	sporen coupes
2012-200-0865	356	5	sporen coupes
2012-200-0866	358	5	sporen coupes
2012-200-0867	359	5	sporen coupes
2012-200-0868	328	5	sporen coupes
2012-200-0869	328	5	sporen coupes
2012-200-0870	349	5	sporen coupes
2012-200-0871	351	5	sporen coupes
2012-200-0872	353	5	sporen coupes
2012-200-0873	350	5	sporen coupes
2012-200-0874	359	5	sporen coupes
2012-200-0875	360	5	sporen coupes
2012-200-0876	361	5	sporen coupes
2012-200-0877	364	5	sporen coupes

Fotonummer	Spoor	WP	Aard
2012-200-0878	355	5	sporen coupes
2012-200-0879	354	5	sporen coupes
2012-200-0880	341	5	sporen coupes
2012-200-0881	336	5	sporen coupes
2012-200-0882	361	5	sporen coupes
2012-200-0883	363	5	sporen coupes
2012-200-0884	366,367	5	sporen coupes
2012-200-0885	357	5	sporen coupes
2012-200-0886	370	5	sporen coupes
2012-200-0887	369	5	sporen coupes
2012-200-0888	368	5	sporen coupes
2012-200-0889	335	5	sporen coupes
2012-200-0890	345	5	sporen coupes
2012-200-0891	376	5	sporen coupes
2012-200-0892	378	5	sporen coupes
2012-200-0893	339	5	sporen coupes
2012-200-0894	377	5	sporen coupes
2012-200-0895	371	5	sporen coupes
2012-200-0896	326	5	sporen coupes
2012-200-0897	379	5	sporen coupes
2012-200-0898	356	5	sporen coupes
2012-200-0899	-	5	werk
2012-200-0900	-	5	bodemprofielen
2012-200-0901	-	5	bodemprofielen
2012-200-0902	366,367	5	sporen coupes
2012-200-0903	380	6	sporen vlak
2012-200-0904	381	6	sporen vlak
2012-200-0905	382	6	sporen vlak
2012-200-0906	383	6	sporen vlak
2012-200-0907	385	6	sporen vlak
2012-200-0908	386	6	sporen vlak
2012-200-0909	387	6	sporen vlak
2012-200-0910	388	6	sporen vlak
2012-200-0911	389	6	sporen vlak
2012-200-0912	390	6	sporen vlak
2012-200-0913	392-391	6	sporen vlak
2012-200-0914	393	6	sporen vlak
2012-200-0915	394	6	sporen vlak
2012-200-0916	384	6	sporen vlak
2012-200-0917	380-384	6	overzicht

Fotonummer	Spoor	WP	Aard
2012-200-0918	381-385	6	overzicht
2012-200-0919	386-392	6	overzicht
2012-200-0920	393-395	6	overzicht
2012-200-0921	395	6	sporen vlak
2012-200-0922	396	6	sporen vlak
2012-200-0923	398	6	sporen vlak
2012-200-0924	399	6	sporen vlak
2012-200-0925	400	6	sporen vlak
2012-200-0926	401	6	sporen vlak
2012-200-0927	402	6	sporen vlak
2012-200-0928	397	6	sporen vlak
2012-200-0929	397	6	overzicht
2012-200-0930	396-397	6	overzicht
2012-200-0931	397-398	6	overzicht
2012-200-0932	399-402	6	overzicht
2012-200-0933	380-395	6	overzicht
2012-200-0934	388	6	sporen coupes
2012-200-0935	387	6	sporen coupes
2012-200-0936	393	6	sporen coupes
2012-200-0937	380	6	sporen coupes
2012-200-0938	382	6	sporen coupes
2012-200-0939	380-405	6	overzicht
2012-200-0940	380-405	6	overzicht
2012-200-0941	403	6	sporen vlak
2012-200-0942	404	6	sporen vlak
2012-200-0943	405	6	sporen vlak
2012-200-0944	384	6	sporen coupes
2012-200-0945	384,381	6	sporen coupes
2012-200-0946	394	6	sporen coupes
2012-200-0947	395	6	sporen coupes
2012-200-0948	386	6	sporen coupes
2012-200-0949	390	6	sporen coupes
2012-200-0950	383	6	sporen coupes
2012-200-0951	389	6	sporen coupes
2012-200-0952	389	6	sporen coupes
2012-200-0953	391,392	6	sporen coupes
2012-200-0954	391,392	6	sporen coupes
2012-200-0955	391,392	6	sporen coupes
2012-200-0956	385	6	sporen coupes
2012-200-0957	405	6	sporen coupes

Fotonummer	Spoor	WP	Aard
2012-200-0958	405	6	sporen coupes
2012-200-0959	404	6	sporen coupes
2012-200-0960	403	6	sporen coupes
2012-200-0961	391,392	6	sporen coupes
2012-200-0962	391,392	6	sporen coupes
2012-200-0963	396	6	sporen coupes
2012-200-0964	397	6	sporen coupes
2012-200-0965	401	6	sporen coupes
2012-200-0966	400	6	sporen coupes
2012-200-0967	399	6	sporen coupes
2012-200-0968	402	6	sporen coupes
2012-200-0969	391,392	6	sporen coupes
2012-200-0970	-	6	werk
2012-200-0971	408	6	sporen vlak
2012-200-0972	406	6	sporen vlak
2012-200-0973	407	6	sporen vlak
2012-200-0974	409	6	sporen vlak
2012-200-0975	410	6	sporen vlak
2012-200-0976	411	6	sporen vlak
2012-200-0977	-	6	overzicht
2012-200-0978	406-408	6	overzicht
2012-200-0979	409-411	6	overzicht
2012-200-0980	413	6	overzicht
2012-200-0981	412	6	sporen vlak
2012-200-0982	391,392	6	sporen coupes
2012-200-0983	391,392	6	sporen coupes
2012-200-0984	389	6	sporen coupes
2012-200-0985	380-405	6	overzicht
2012-200-0986	380-405	6	overzicht
2012-200-0987	413	6	sporen vlak
2012-200-0988	414	6	sporen vlak
2012-200-0989	415	6	sporen vlak
2012-200-0990	416	6	sporen vlak
2012-200-0991	417	6	sporen vlak
2012-200-0992	418	6	sporen vlak
2012-200-0993	419	6	sporen vlak
2012-200-0994	419	6	sporen vlak
2012-200-0995	420	6	sporen vlak
2012-200-0996	421	6	sporen vlak
2012-200-0997	422	6	sporen vlak

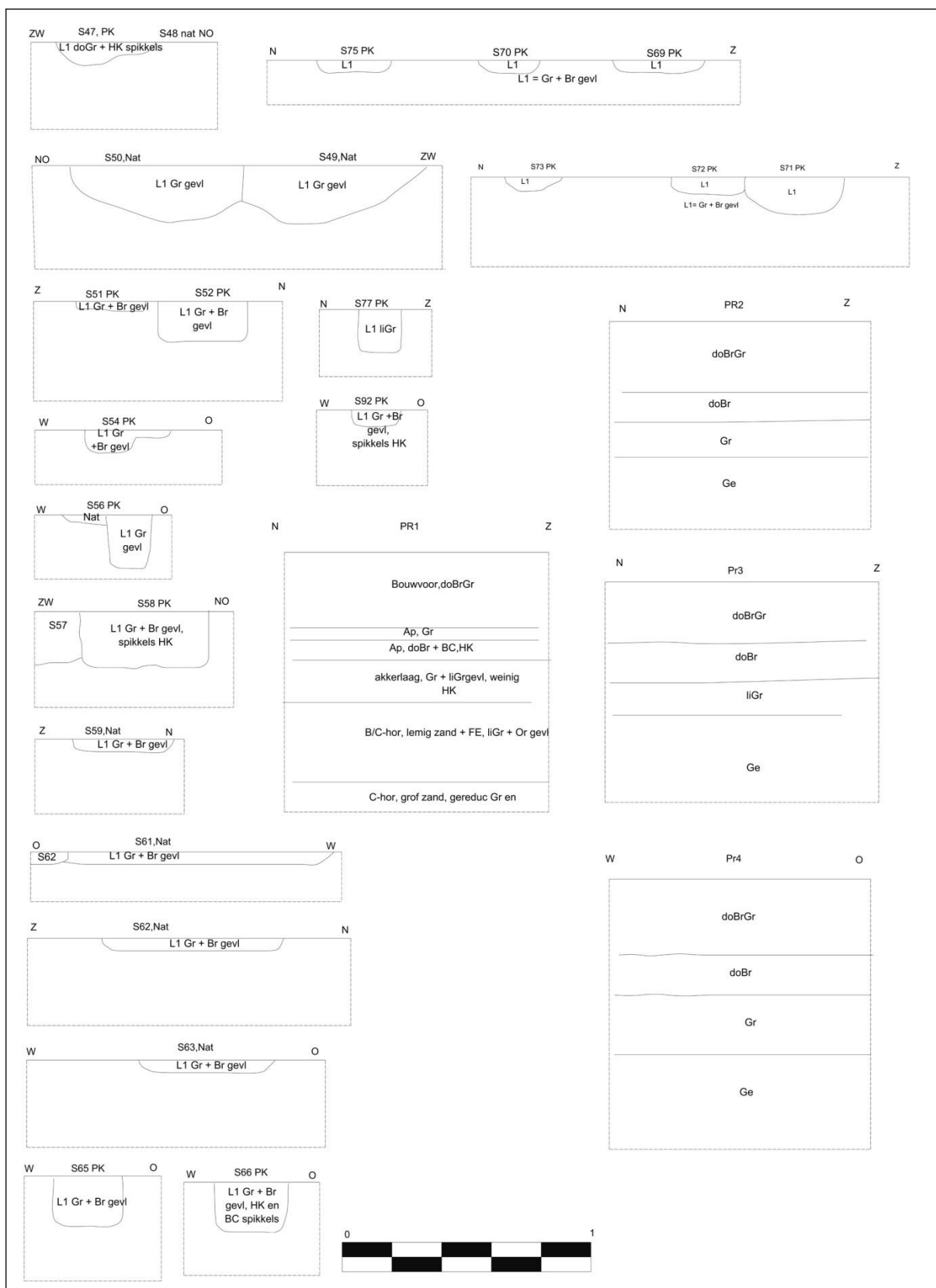
Fotonummer	Spoor	WP	Aard
2012-200-0998	423	6	sporen vlak
2012-200-0999	421-423	6	overzicht
2012-200-1000	400-418	6	overzicht
2012-200-1001	400-418	6	overzicht
2012-200-1002	400-418	6	overzicht
2012-200-1003	406	6	sporen coupes
2012-200-1004	407	6	sporen coupes
2012-200-1005	408	6	sporen coupes
2012-200-1006	409	6	sporen coupes
2012-200-1007	410	6	sporen coupes
2012-200-1008	411	6	sporen coupes
2012-200-1009	418	6	sporen coupes
2012-200-1010	418	6	sporen coupes
2012-200-1011	420	6	sporen coupes
2012-200-1012	417,416	6	sporen coupes
2012-200-1013	412	6	sporen coupes
2012-200-1014	415	6	sporen coupes
2012-200-1015	409	6	sporen coupes
2012-200-1016	415	6	sporen coupes
2012-200-1017	414	6	sporen coupes
2012-200-1018	424	7	sporen vlak
2012-200-1019	425	7	sporen vlak
2012-200-1020	426	7	sporen vlak
2012-200-1021	427	7	sporen vlak
2012-200-1022	428	7	sporen vlak
2012-200-1023	429	7	sporen vlak
2012-200-1024	430	7	sporen vlak
2012-200-1025	431	7	sporen vlak
2012-200-1026	432	7	sporen vlak
2012-200-1027	433	7	sporen vlak
2012-200-1028	434	7	sporen vlak
2012-200-1029	435	7	sporen vlak
2012-200-1030	436	7	sporen vlak
2012-200-1031	437	7	sporen vlak
2012-200-1032	-	7	overzicht
2012-200-1033	-	7	overzicht
2012-200-1034	-	7	overzicht
2012-200-1035	-	7	overzicht
2012-200-1036	432-436	7	overzicht
2012-200-1037	-	7	overzicht

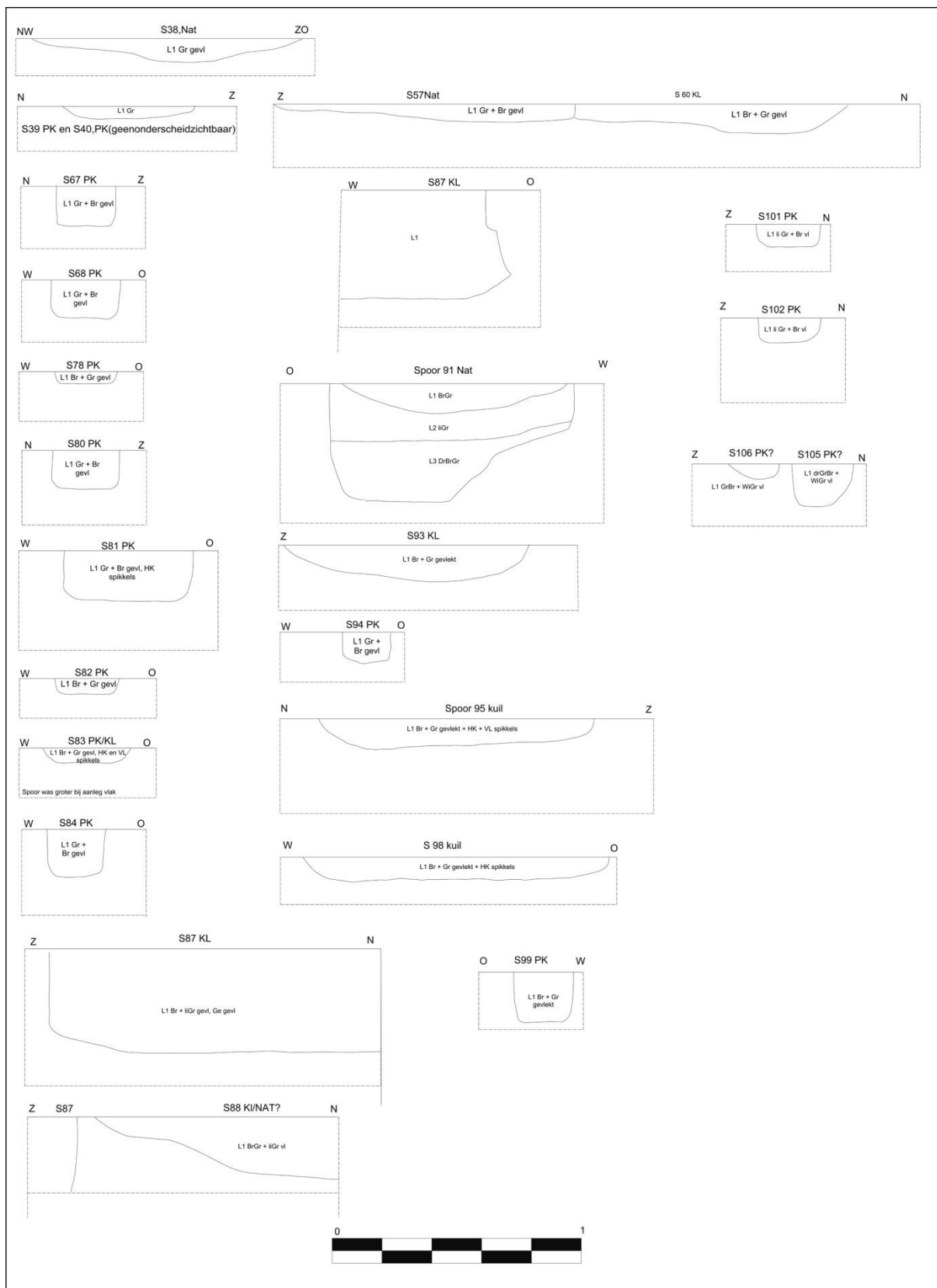
Fotonummer	Spoor	WP	Aard
2012-200-1038	431	7	overzicht
2012-200-1039	430	7	overzicht
2012-200-1040	-	7	overzicht
2012-200-1041	-	7	overzicht
2012-200-1042	-	7	overzicht
2012-200-1043	429	7	overzicht
2012-200-1044	424-427	7	overzicht
2012-200-1045	424	7	overzicht
2012-200-1046	414	6	sporen coupes
2012-200-1047	160	2	werk
2012-200-1048	160	2	sporen vlak
2012-200-1049	160	2	sporen vlak
2012-200-1050	421	6	sporen coupes
2012-200-1051	423	6	sporen coupes
2012-200-1052	422	6	sporen coupes
2012-200-1053	414	6	sporen coupes
2012-200-1054	160	2	sporen vlak
2012-200-1055	160	2	sporen vlak
2012-200-1056	160	2	sporen vlak
2012-200-1057	160	2	sporen vlak
2012-200-1058	-	7	overzicht
2012-200-1059	438	7	overzicht
2012-200-1060	439	7	overzicht
2012-200-1061	440	7	overzicht
2012-200-1062	441	7	overzicht
2012-200-1063	-	7	overzicht
2012-200-1064	441	7	sporen vlak
2012-200-1065	440	7	sporen vlak
2012-200-1066	439	7	sporen vlak
2012-200-1067	438	7	sporen vlak
2012-200-1068	424	7	sporen coupes
2012-200-1069	424	7	sporen coupes
2012-200-1070	424	7	sporen coupes
2012-200-1071	424	7	sporen coupes
2012-200-1072	424	7	sporen coupes
2012-200-1073	425	7	sporen coupes
2012-200-1074	431	7	sporen coupes
2012-200-1075	432	7	sporen coupes
2012-200-1076	433	7	sporen coupes

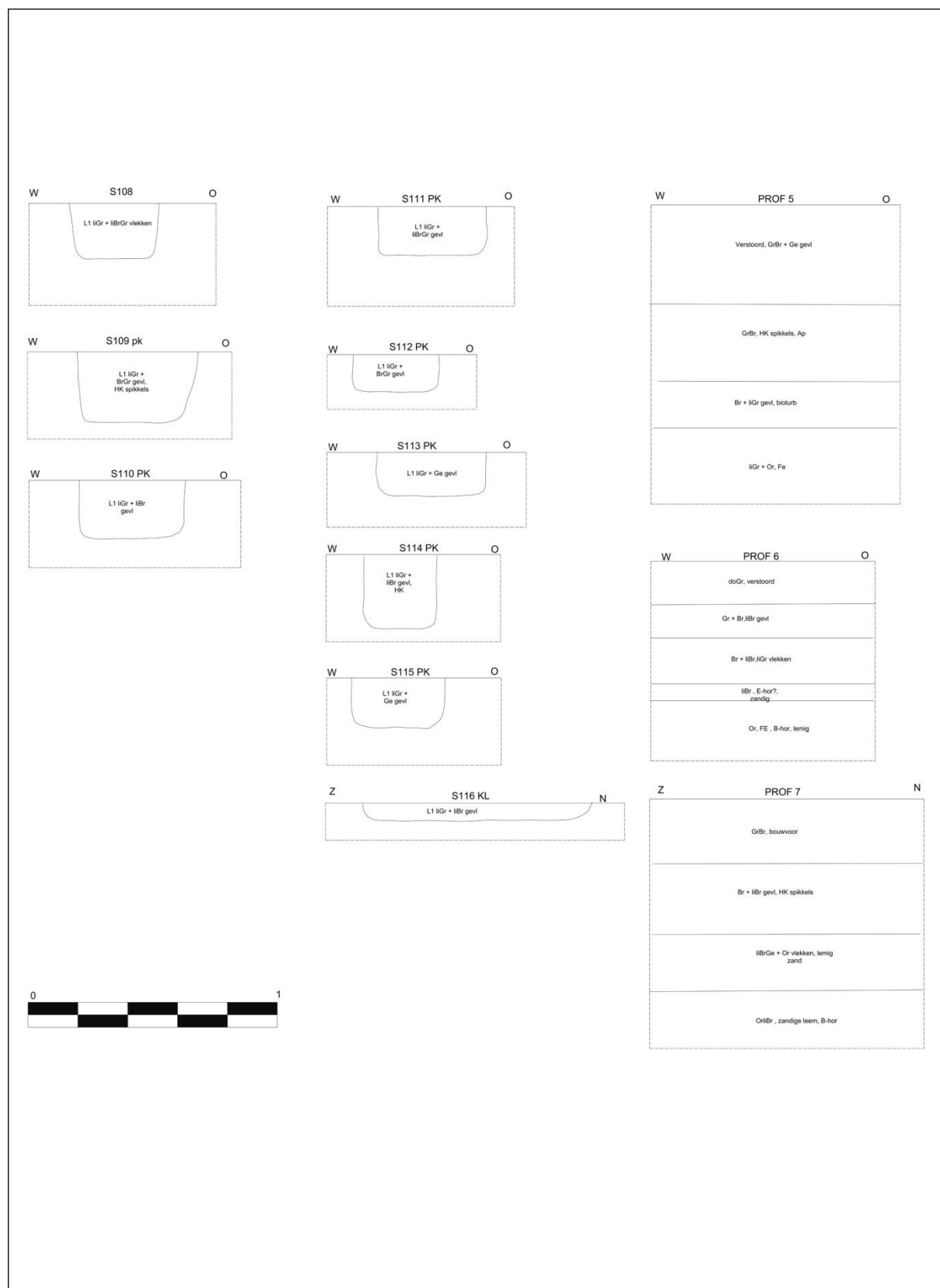
Fotonummer	Spoor	WP	Aard
2012-200-1077	434	7	sporen coupes
2012-200-1078	435	7	sporen coupes
2012-200-1079	436	7	sporen coupes
2012-200-1080	437	7	sporen coupes
2012-200-1081	-	7	bodemprofielen
2012-200-1082	-	7	bodemprofielen
2012-200-1083	424	7	sporen coupes
2012-200-1084	424	7	sporen coupes
2012-200-1085	160	2	werk
2012-200-1086	160	2	sporen vlak
2012-200-1087	160	2	sporen vlak
2012-200-1088	160	2	sporen vlak
2012-200-1089	160	2	sporen vlak
2012-200-1090	160	2	sporen vlak
2012-200-1091	160	2	sporen vlak
2012-200-1092	160	2	sporen vlak
2012-200-1093	160	2	sporen vlak
2012-200-1094	160	2	sporen vlak
2012-200-1095	160	2	sporen vlak
2012-200-1096	160	2	sporen vlak
2012-200-1097	160	2	sporen coupes
2012-200-1098	160	2	sporen coupes
2012-200-1099	160	2	sporen coupes
2012-200-1100	160	2	sporen coupes
2012-200-1101	160	2	sporen coupes
2012-200-1102	160	2	sporen coupes
2012-200-1103	441	7	sporen coupes
2012-200-1104	439	7	sporen coupes
2012-200-1105	438	7	sporen coupes
2012-200-1106	440	7	sporen coupes
2012-200-1107	-	7	werk
2012-200-1108	-	7	werk
2012-200-1109	-	7	werk
2012-200-1110	429	7	sporen coupes
2012-200-1111	426	7	sporen coupes
2012-200-1112	427	7	sporen coupes
2012-200-1113	430	7	sporen coupes

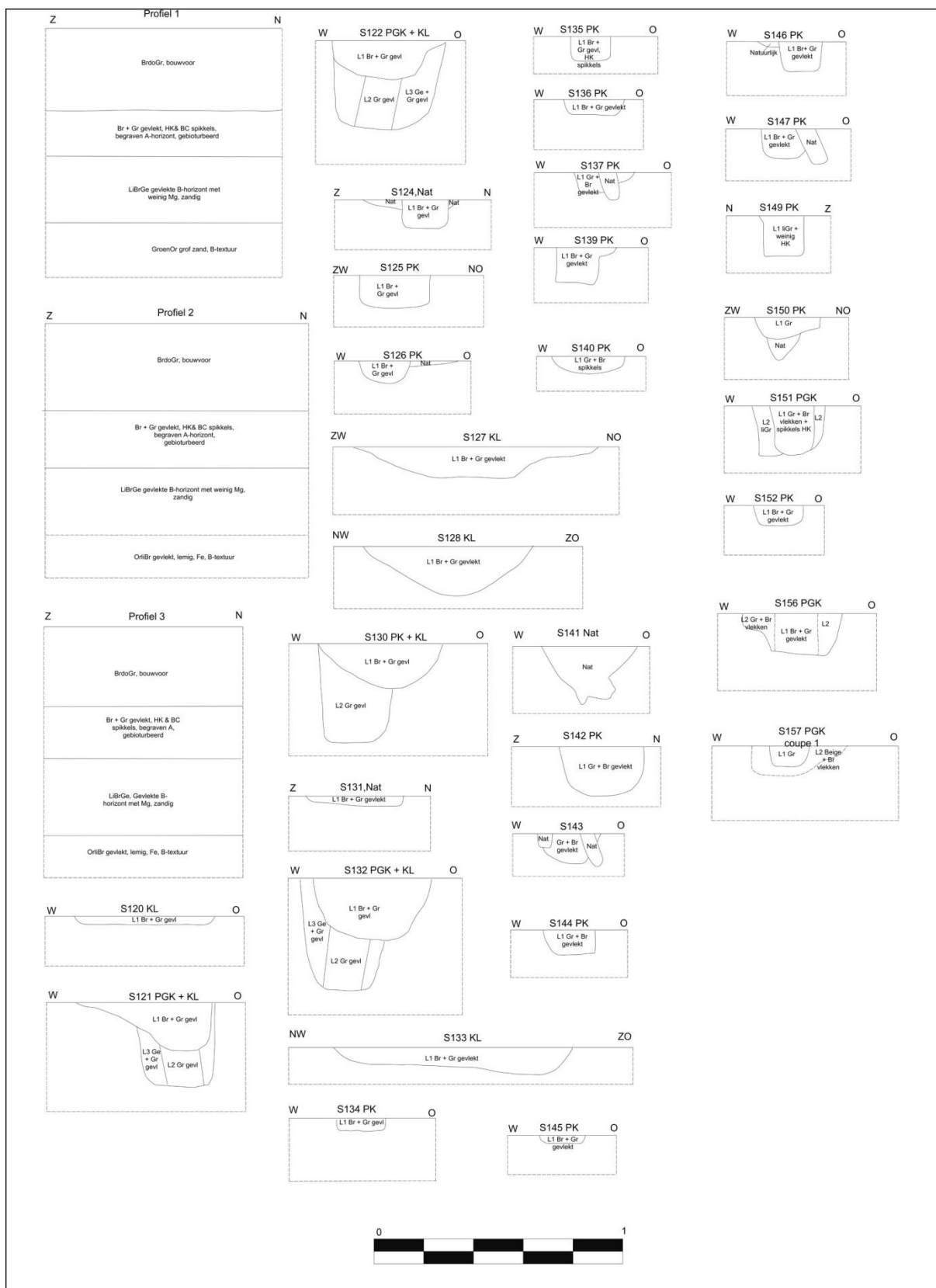
Bijlage 4 Coupetekeningen





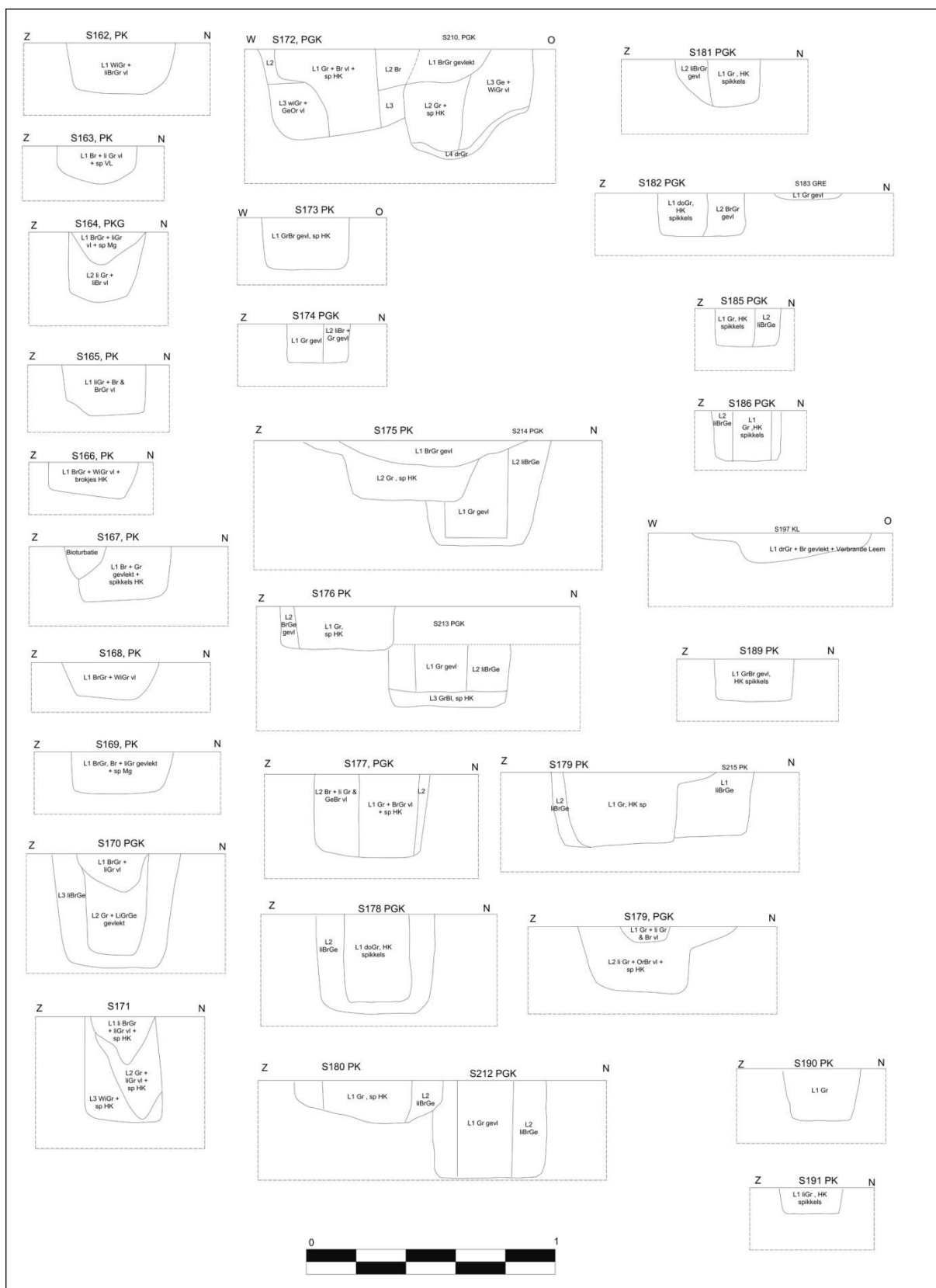


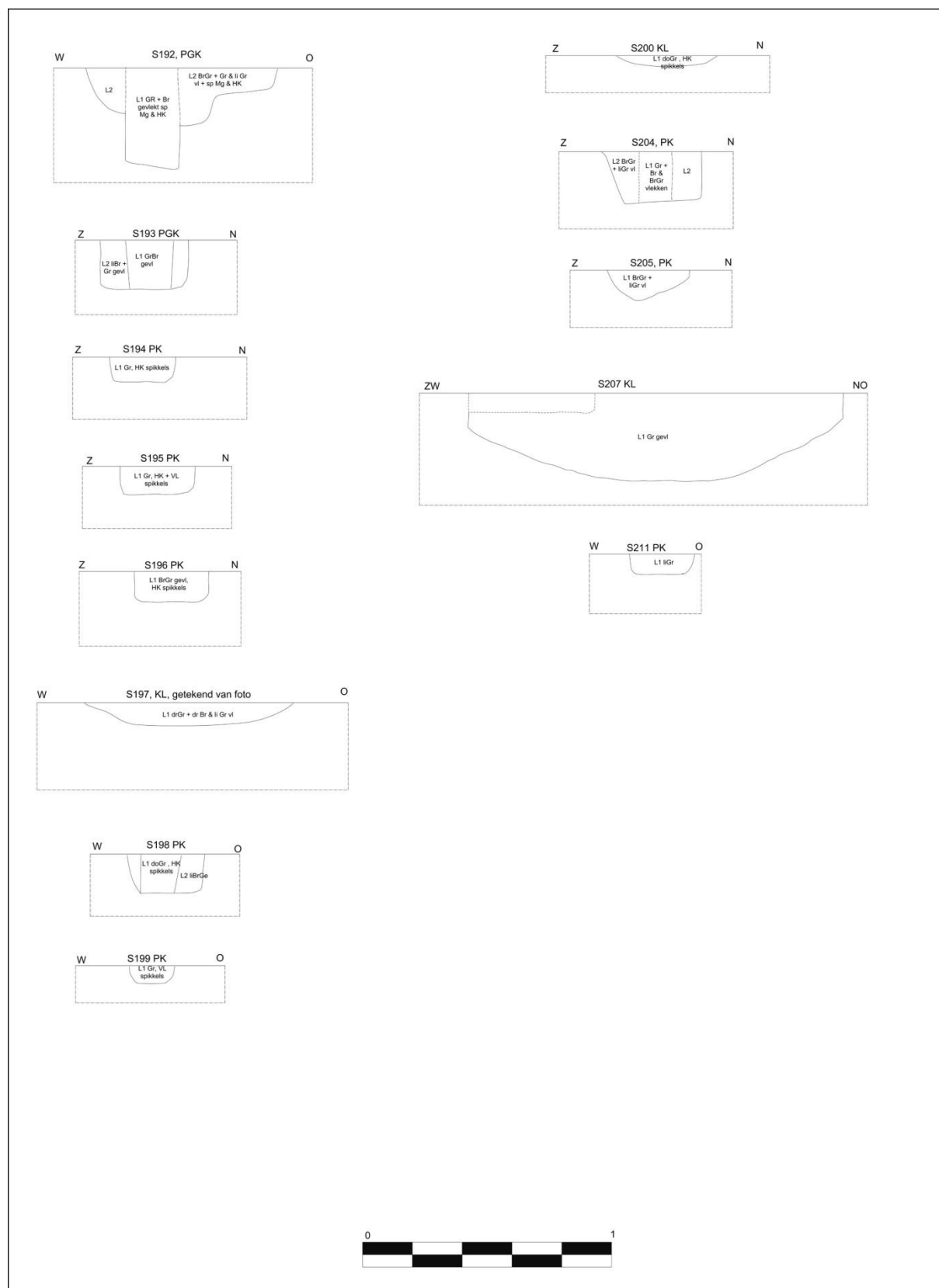


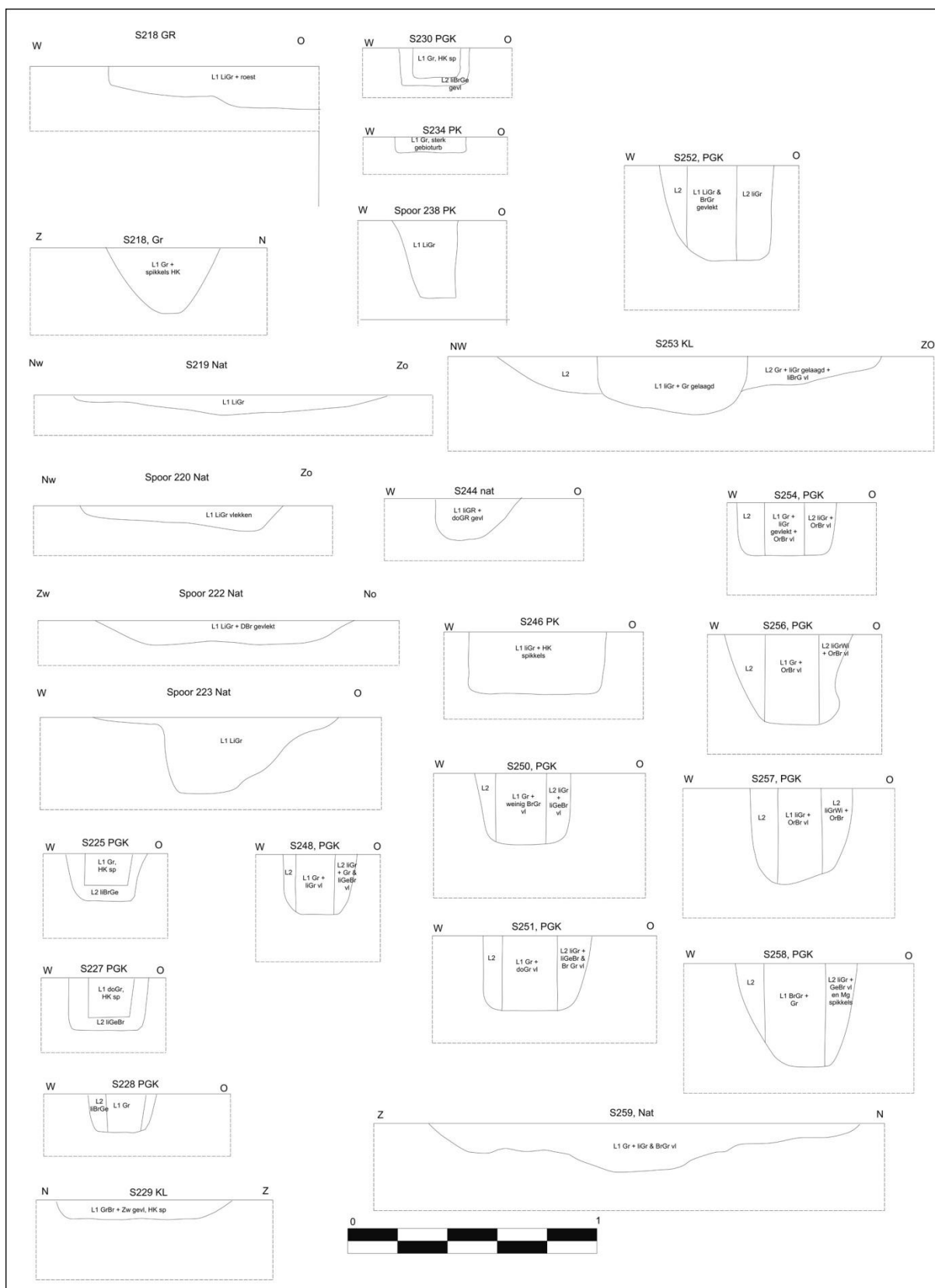


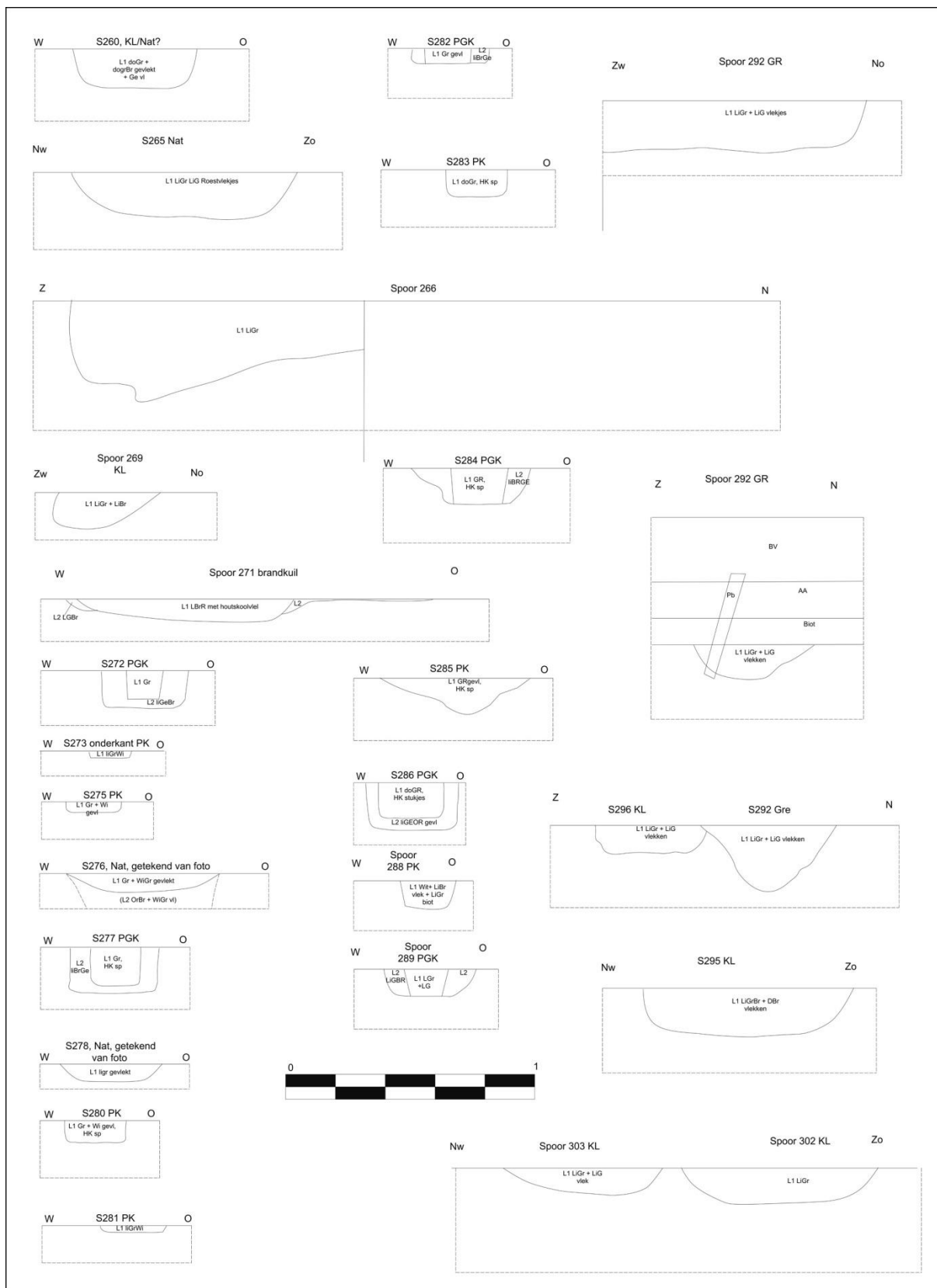


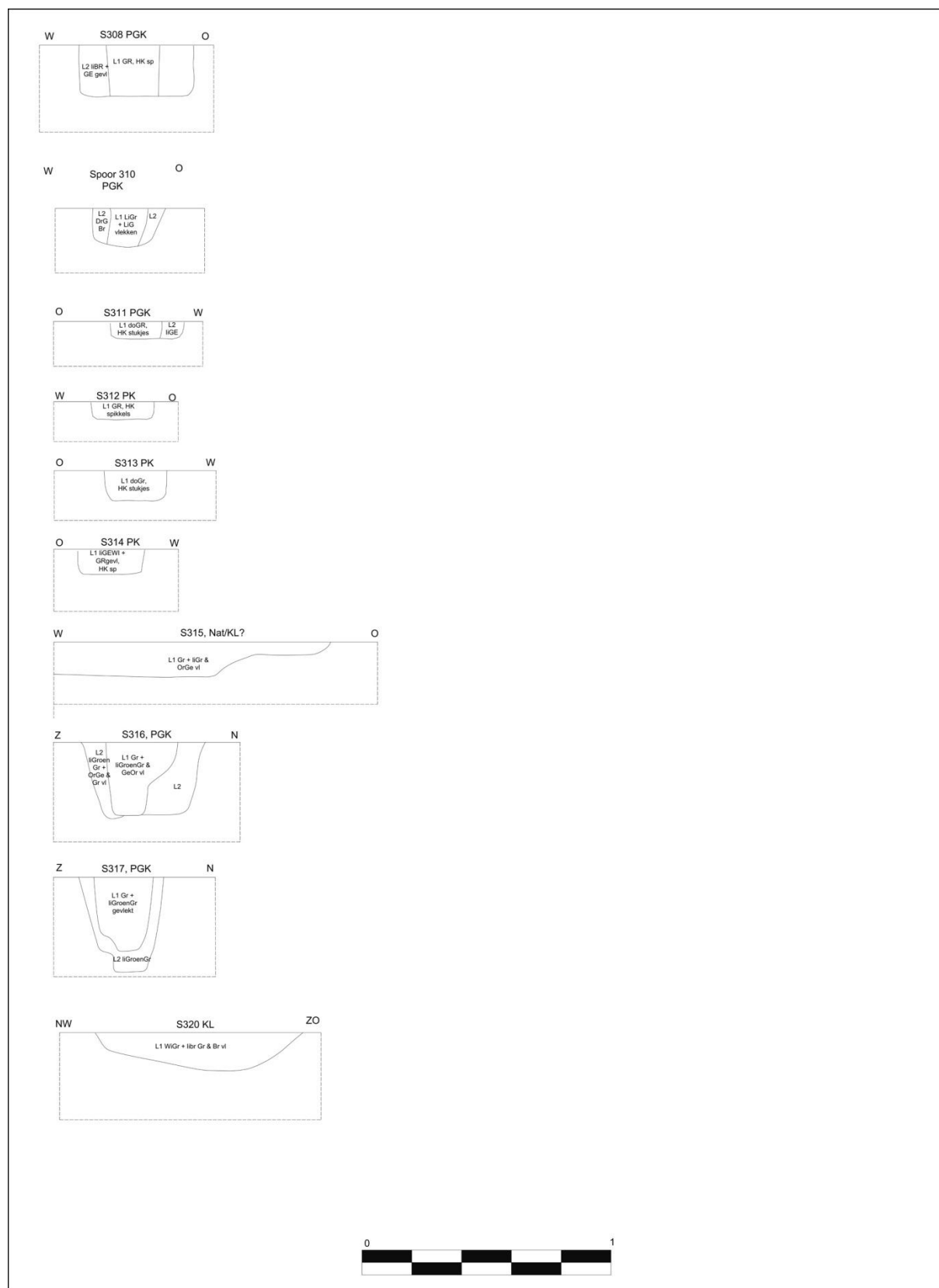
Het archeologisch onderzoek aan het Molenveld te Elewijt



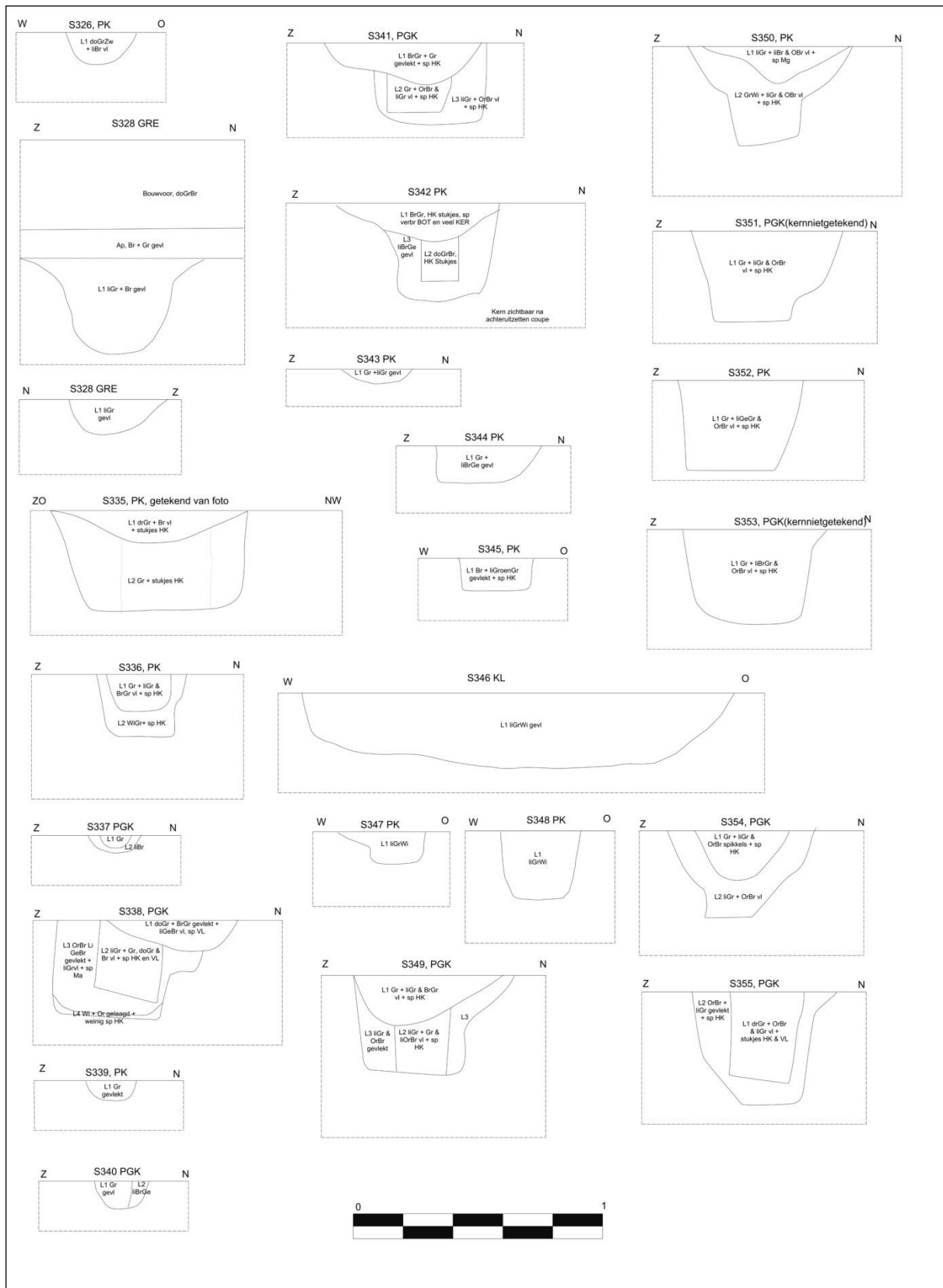


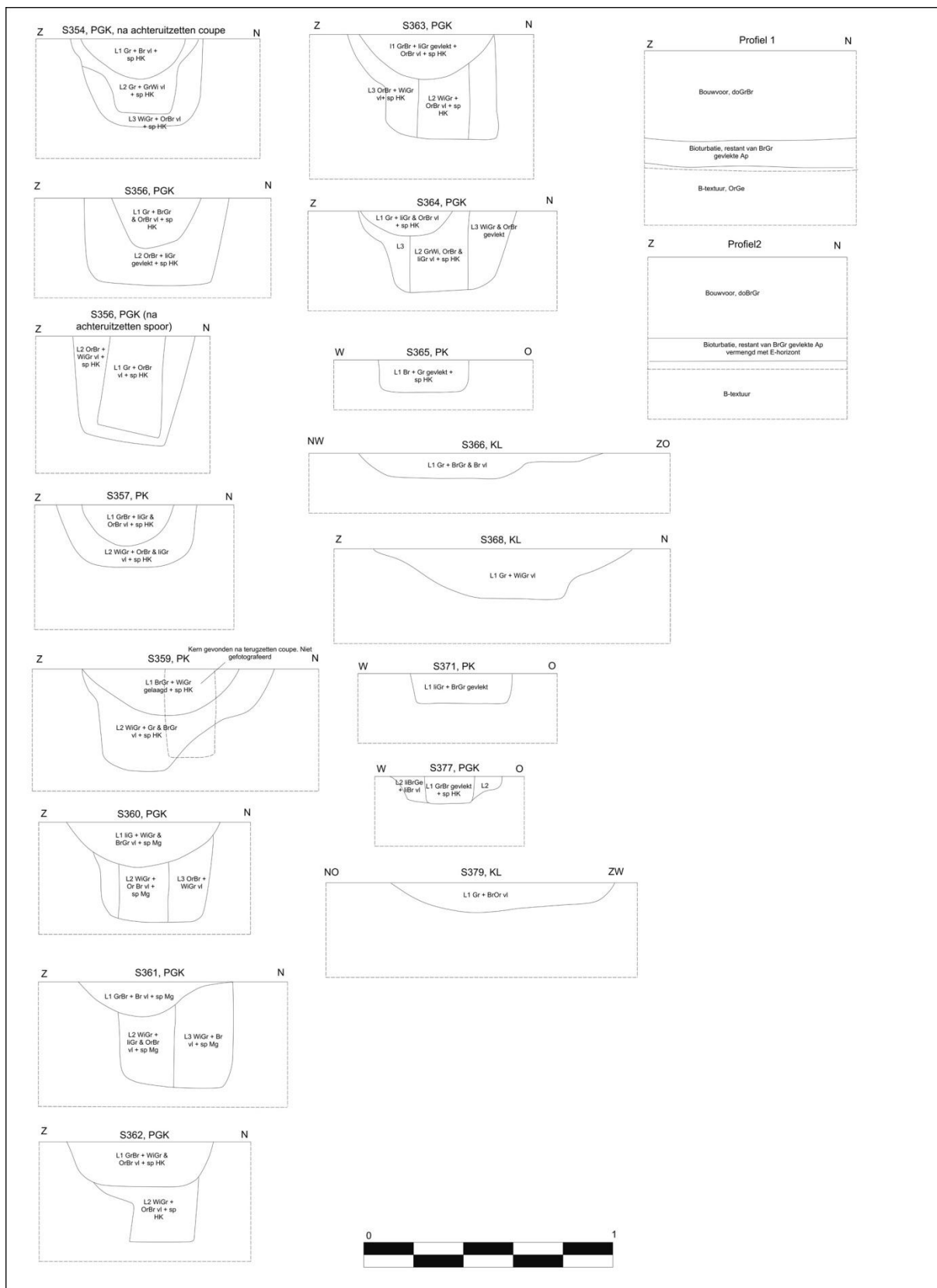


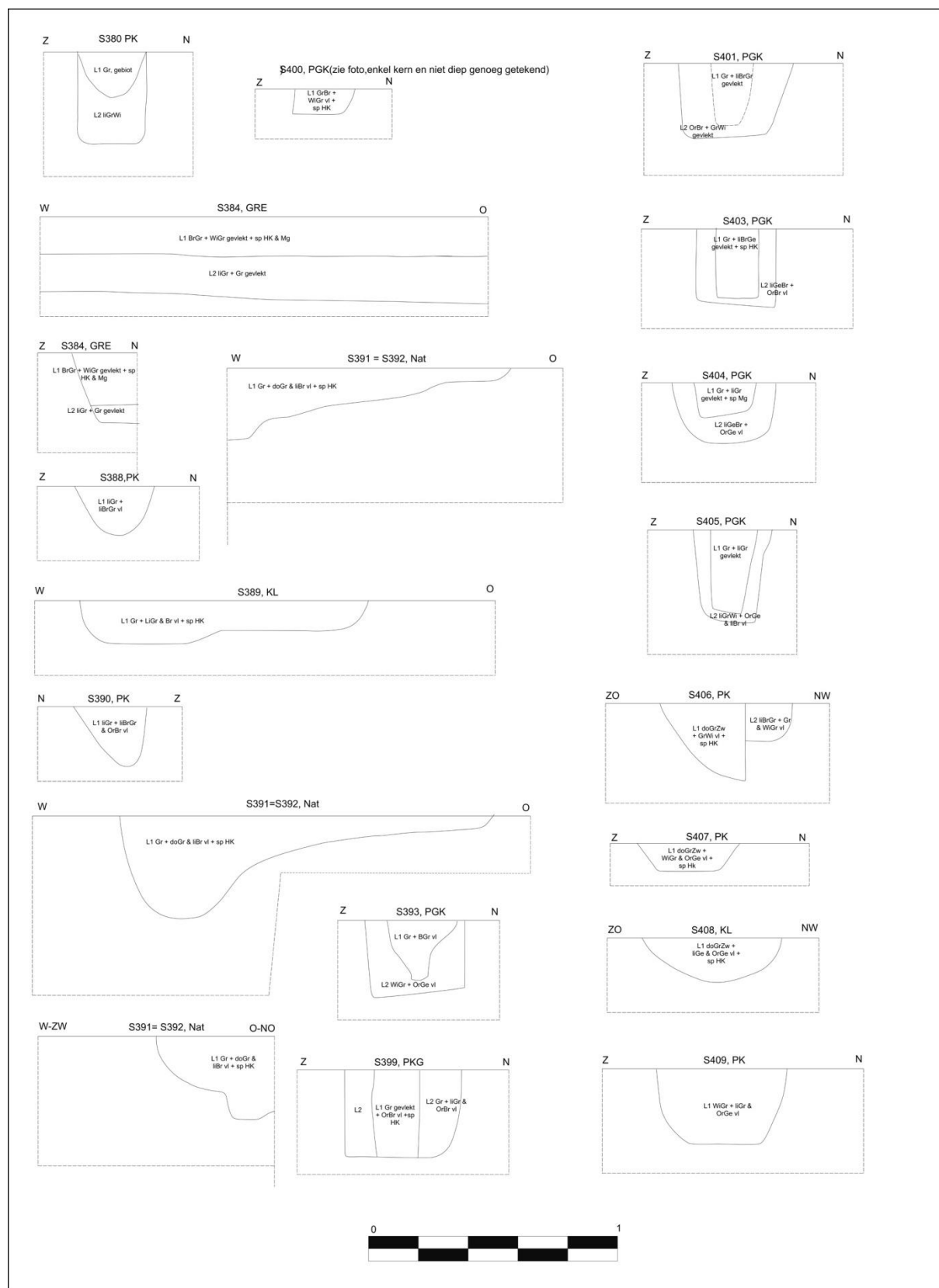


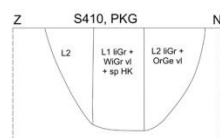
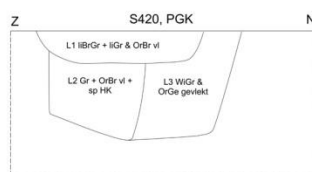
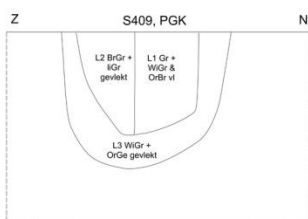


Het archeologisch onderzoek aan het Molenveld te Elewijt

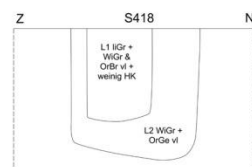
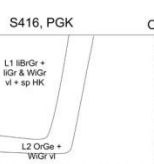
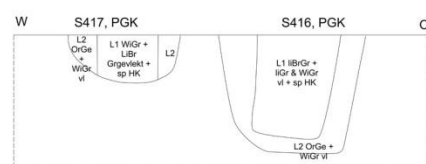
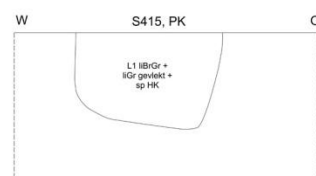
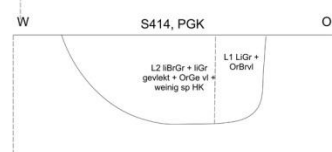
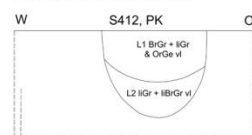
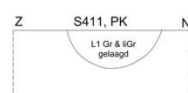
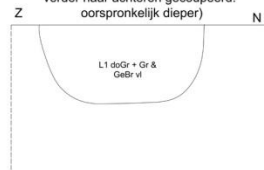


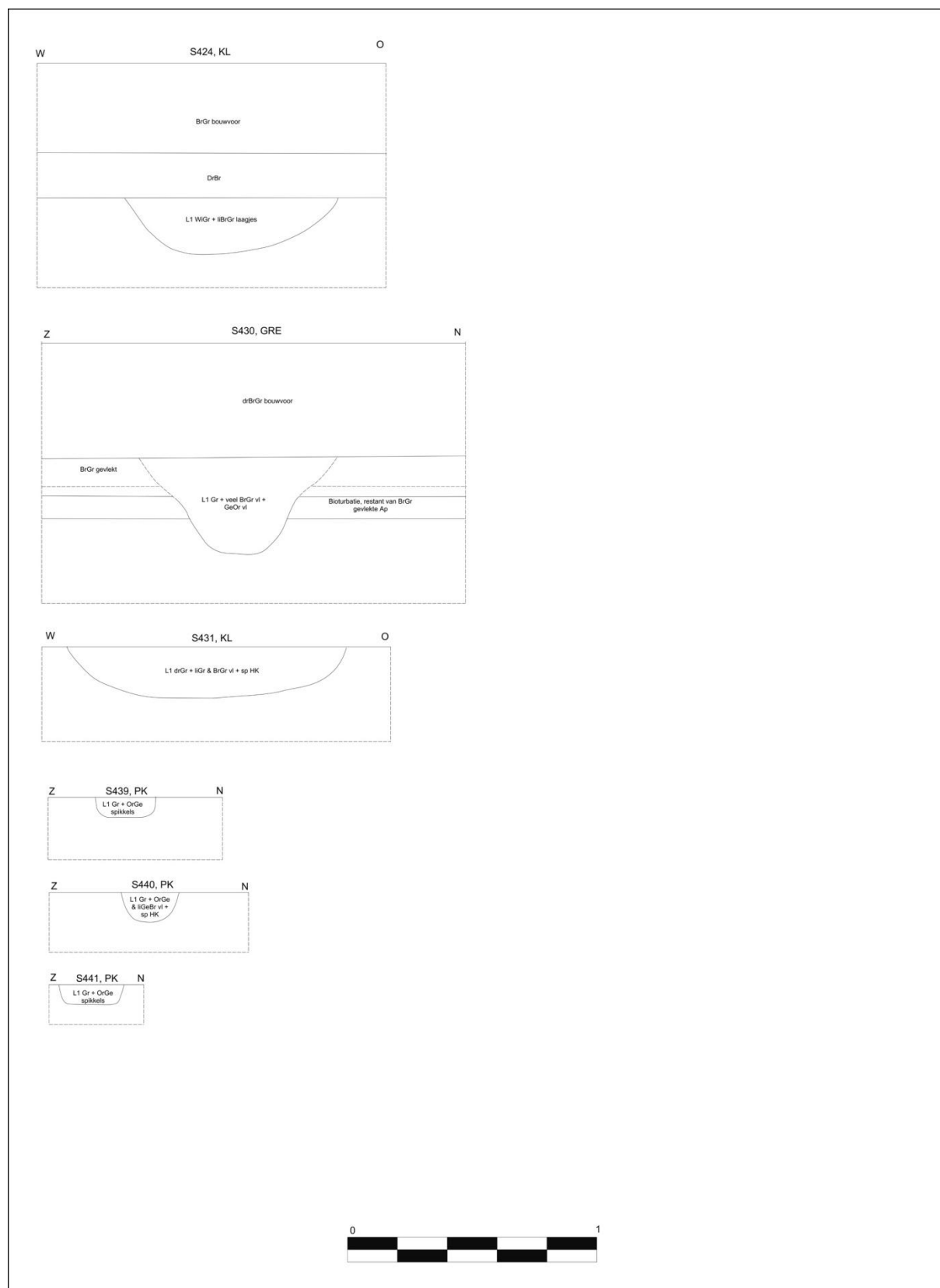






S421, Nat (spoor gedeeltelijk ingezakt dus verder naar achteren gecoupeerd. oorspronkelijk dieper)





Bijlage 5 Profielbeschrijving

A. Profiel 1

1. Algemene gegevens

- | | |
|------------------------------|-----------------------------------------------------------------------------------------------------------------------------|
| 1. Beschrijver: | Ludo Fockedeij, Studiebureau Archeologie. |
| 2. Soort onderzoek: | Archeologisch: vlakdekkend. |
| 3. Plaats: | Elewijt - Molenveld. |
| 4. Hoogteligging: | 7 m TAW. |
| 5. Coördinaten: | 50°57'35.01"N ; 4°30'9.52"O. |
| 6. Datum: | Vrijdag, 22.06.2011. |
| 7. Tijdstip: | 15: 30 u. |
| 8. Landgebruik en vegetatie: | braak, gras. |
| 9. Weersomstandigheden: | Zonnig, bewolkt, regenachtig met buien, 20 °C. |
| 10. Oriëntatie: | W. |
| 11. Bodemeenheid: | Pccz: matig droge licht-zandleemgronden met verbrokkelde textuur B horizont. Variante (...z): grover wordend in de diepte.. |

2. Profielbeschrijving

H1

0-33 cm: Ap1: licht zandleem; grijsachtig donkerbruin (10YR 4/2); massief; veel plantenwortels; scherpe, rechte Ondergrens,

H2

33-52 cm: Ap2: licht zandleem; bruin (10YR 4/3); massief; veel grote bioturbaties; diffuse, onregelmatige ondergrens,

H3

52-65 cm: Ap2/E: licht zandleem; geelachtig bruin (10YR 4-5/4); massief; veel grote bioturbaties; diffuse; onregelmatige ondergrens,

H4

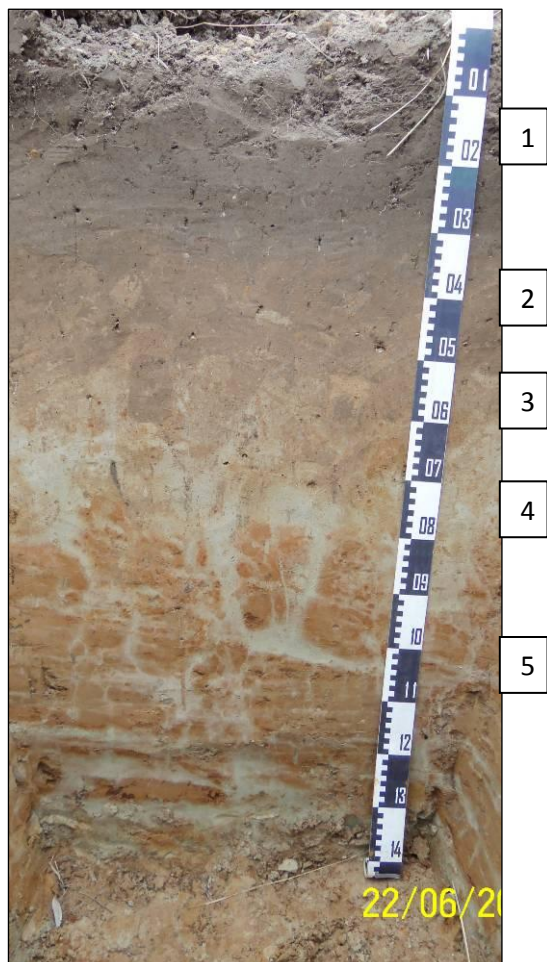
65-80 cm: E: lichtzandleem; geelachtig lichtbruin (2,5Y 6/4); massief; scherpe, rechte ondergrens,

H5

80-140 cm: Bt: leem tot licht zandleem; sterk bruin (7,5YR 5/8 tot 4/6); licht blokkig hoekig; gescheiden door verticale en horizontale spleten (licht zandleem; geelachtig lichtbruin tot olijf lichtbruin 2,5Y 5-6/4).

Opmerkingen: enkele meter van het profiel zat een halve pot met de hals naar beneden, in H2. Volgens Google Earth ligt dit profiel lager dan profiel 2 terwijl dit het dichtst bij de beek ligt.

3. Foto



4. Bijzonderheden

Op 80 cm diepte zijn op het grondvlak barsten zichtbaar in de Bt, zie foto hieronder. Zijn dit barsten die te vergelijken zijn met de polygonen zichtbaar in de leembodems onder bos?

Opmerkelijk zijn de gelijkenissen met profielen in de zandige Kempen waarin ook op 80 cm een verdichting waarneembaar is (relict van een actieve laag?).



B. Profiel 2

1. Algemene gegevens

- | | |
|---------------------|------------------------------------------|
| 1. Beschrijver: | Ludo Fockedey, Studiebureau Archeologie. |
| 2. Soort onderzoek: | Archeologisch: vlakdekkend. |
| 3. Plaats: | Elewijt - Molenveld. |

- | | |
|------------------------------|----------------------------------------------------------------------------------------------------------------------------|
| 4. Hoogteligging: | 7 m TAW. |
| 5. Coördinaten: | 50°57'32.81"N ; 4°30'13.24"O. |
| 6. Datum: | Vrijdag, 22.06.2011. |
| 7. Tijdstip: | 13:31 u. |
| 8. Landgebruik en vegetatie: | braak, gras. |
| 9. Weersomstandigheden: | Zonnig, bewolkt, regenachtig met buien, 20 °C. |
| 10. Oriëntatie: | Z. |
| 11. Bodemeenheid: | Pdcz: matig natte licht-zandleemgronden met verbrokkelde textuur B horizont. Variante (...z): grover wordend in de diepte. |

2. Profielbeschrijving

H1

0-31cm: Ap1: licht zandleem; donker grijs tot grijsachtig donkerbruin (10YR 4/1 tot 4/2); massief tot platig, lensvormig; veel baksteenfragmenten en houtskoolfragmenten; veel oxidatiespikkels; scherpe, rechte ondergrens,

H2

31-52 cm: Ap2: lichtzandleem; zeer grijsachtig donkerbruin (10YR 3/2); massief; sterk gebioturbeerd (groot) met materiaal van horizonten boven en beneden; diffuse, onregelmatige ondergrens,

H3

52-65 cm: Ap2/3: licht zandleem; grijsachtig donkerbruin (10YR 4/2); massief; sterk gebioturbeerd (groot) met materiaal van horizonten boven en beneden; diffuse tot scherpe, rechte ondergrens,

H4

65-73 cm: Ap3: lichtzandleem; olijf lichtgrijs (5Y 6/2); massief; roestvlekken; scherpe, rechte ondergrens;

H5

73-95 cm: E: licht zandleem; bruinachtig lichtgrijs (2,5Y 6/2); hard; massief; veel kleine bioturbaties tot ca. 5 cm onder de ondergrens van H4, met materiaal van H4; diffuse, onregelmatige ondergrens,

H6

95-120 cm: Bfe/ir; (grof) zand; olijf (5Y 5/3) tot sterk bruin (7,5YR 4/6); loskorrelig.

Opmerking : Op de weg 10 cm baksteenverharding, vrij continu.

3. Foto



4. Bijzonderheden

Er is een plotse textuurwijziging van H5 naar H6.

Bijlage 6 Resultaten ¹⁴C-dateringen

ZEMST-Molenveld

KIA-48549 (S399) : 3210±25BP

68.2% probability

1500BC (68.2%) 1445BC

95.4% probability

1520BC (95.4%) 1425BC

KIA-48550 (S194) : 2460±40BP

68.2% probability

760BC (22.0%) 680BC

670BC (11.9%) 610BC

600BC (27.0%) 500BC

460BC (1.9%) 450BC

440BC (5.4%) 410BC

95.4% probability

760BC (24.8%) 680BC

670BC (70.6%) 410BC

KIA-48547 (S355) : 2415±30BP

68.2% probability

530BC (68.2%) 400BC

95.4% probability

750BC (13.8%) 680BC

670BC (3.2%) 640BC

560BC (78.4%) 390BC

KIA-48551 (S288) : 2410±30BP

68.2% probability

520BC (68.2%) 400BC

95.4% probability

740BC (11.7%) 680BC

670BC (2.6%) 640BC

550BC (81.2%) 390BC

KIA-48554 (S172) : 2360±30BP

68.2% probability

510BC (17.3%) 460BC

450BC (5.5%) 430BC

420BC (45.4%) 380BC

95.4% probability

530BC (95.4%) 380BC

KIA-48570 (S114) : 2300±25BP

68.2% probability

400BC (68.2%) 370BC

95.4% probability

410BC (83.9%) 350BC

290BC (11.5%) 230BC

KIA-48552 (S160) : 2200±25BP

68.2% probability

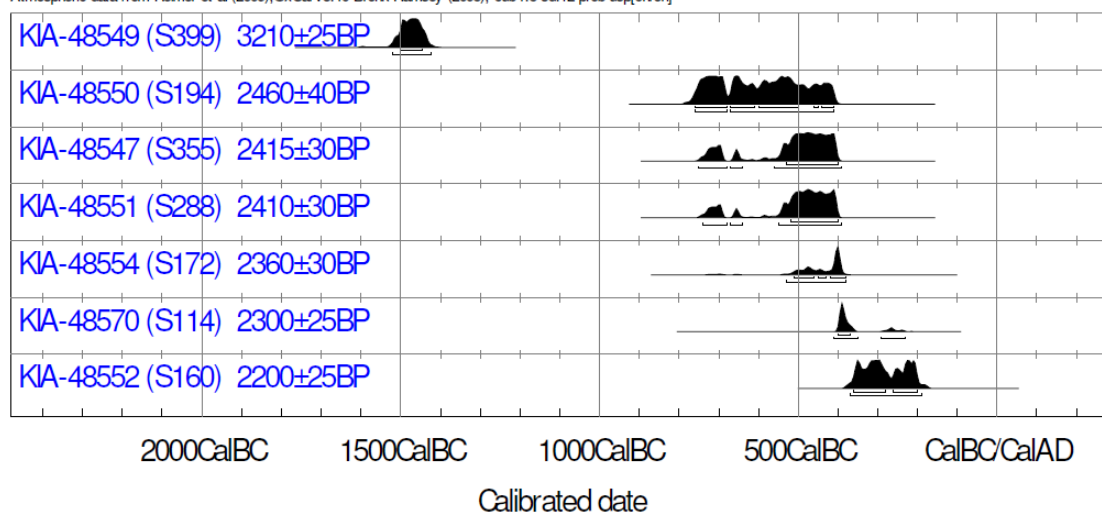
360BC (44.2%) 280BC

260BC (24.0%) 200BC

95.4% probability

370BC (95.4%) 190BC

Atmospheric data from Reimer et al (2009); OxCal v3.10 Bronk Ramsey (2005); cub r:5 sd:12 prob usp[chron]



Bijlage 7 Opgravingsplan



Administratieve gegevens

Naam site:	Molenveld
Provincie:	Vlaams-Brabant
Gemeente:	Zemst
Deelgemeente:	Elewijt
Adres:	Molenveld 36
Kadastrale gegevens:	Afdeling 4, Sectie D, percelen 136, 138e, 138f en 139h (alle partim)
Opdrachtgevers:	Gemeente Zemst, De Griet 1, 1980 Zemst
Vergunningsnummer:	2012-200
Naam aanvrager:	Gerben Bervoets
Aanvraagdatum:	20 april 2012

